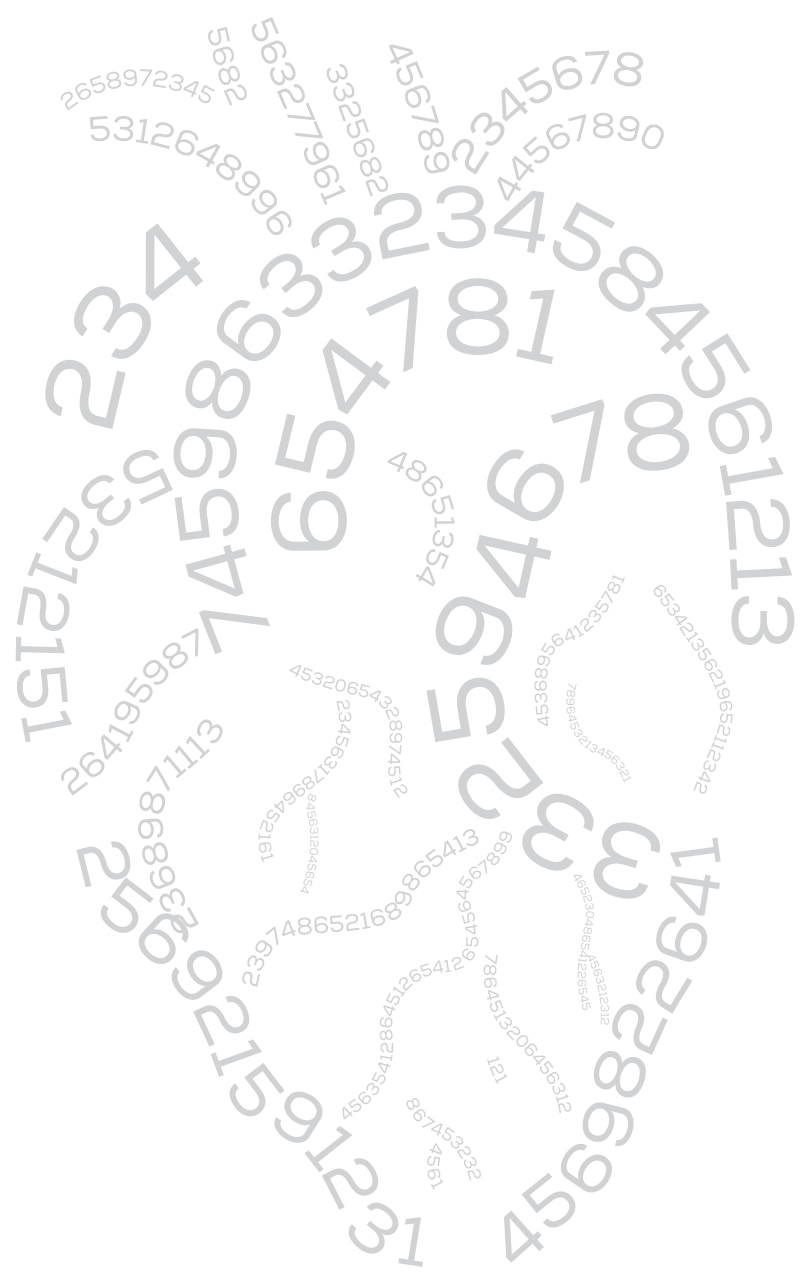




Delovna skupina za slikovne preiskave v kardiologiji

EHOKARDIOGRAFIJA v številkah



Urednica: Katja Ažman Juvan

Založnik: Združenje kardiologov Slovenije, Delovna skupina za slikovne preiskave v kardiologiji

Št. izvodov: 275

Pri nastanku so sodelovali (po abecednem redu):

Ambrožič Jana

Ažman Juvan Katja

Berlot Boštjan

Bervar Mojca

Cvijič Marta

Černič Šuligoj Nataša

Keber Tajda

Kogoj Polonca

Makuc Jana

Ružič Medvešček Nadja

Toplišek Janez

Tretjak Martin

Zugwitz Daša

Zupan Mežnar Anja

Žohar Petra

Lektor: Borut Jug

Oblikovanje: Leticia Slapnik Yebuah

Tisk: Tiskarna aiP Praprotnik d.o.o.

Ljubljana, 2018

CIP – Kataložni zapis o publikaciji
Narodna in univerzitetna knjižnica, Ljubljana

616.12-073.4-8(035)

EHOKARDIOGRAFIJA v številkah / [sodelovali Ambrožič Jana ... [et al.] ; urednica Katja Ažman Juvan]. - Ljubljana : Združenje kardiologov Slovenije, Delovna skupina za slikovne preiskave v kardiologiji, 2018

ISBN 978-961-6786-20-1

1. Ambrožič, Jana, kardiologinja 2. Ažman-Juvan, Katja
293139200

Ehokardiografija je temeljna preiskava v kardiologiji in je v zadnjih dveh desetletjih doživela neverjeten razvoj. Različni slikovni prikazi in številne meritve omogočajo oblikovanje mnenja, od katerega je odvisno nadaljnje ukrepanje in zdravljenje, pogosto odloča o usodi bolnika. Poznavanje bolezni srca in hemodinamike, stalno učenje in predanost ter sodoben ultrazvočni aparat so ključni za dober ehokardiografski izvid in tehtno mnenje.

V Delovni skupini za slikovne preiskave v kardiologiji pri Združenju kardiologov Slovenije si prizadevamo za kakovost ehokardiografije v slovenskem prostoru.

Pred nami je tako že tretja izdaja »Ehokardiografije v številkah«, v kateri so zbrane številne meritve in območja, ki ločijo normalno od patološkega, vse je usklajeno z najnovejšimi evropskimi priporočili. Na koncu je še predlog za sodoben ehokardiografski izvid.

Verjamem, da bo priročnik v veliko pomoč pri vsakdanjem delu.

prim. Nataša Černič Šuligoj, dr. med.

Predsedujoča delovne skupine za slikovne preiskave v kardiologiji

KRATICE IN POGOSTEJE UPORABLJANI IZRAZI V EHOKARDIOGRAFIJI:

2D – dvodimenzionalen

3D – tridimenzionalen

A (angl. *transmitral A wave velocity*) – hitrost vala A toka skozi mitralno zaklopko

Adur (angl. *transmitral A wave duration*) – trajanje vala A toka skozi mitralno zaklopko

A4CH (angl. *apical four chamber*) – apikalni presek štirih votlin

ALAX (angl. *apical long axis*) – apikalni vzdolžni presek

A2CH (angl. *apical two chamber*) – apikalni presek dveh votlin

AF (angl. *atrial fibrillation*) – atrijska fibrilacija

annulus (angl. *annulus*) – obroč

Ao (angl. *aorta*) – aorta

A-PEP (angl. *aortic pre-ejection period*) – prediztisni čas na aortni zaklopki

AR (angl. *aortic regurgitation*) – aortna regurgitacija

arch (angl. *arch*) – aortni lok

Ardur (angl. *transpulmonary atrial flow reversal duration*) – trajanje vala A preddvornega toka v pljučni veni

Ar (angl. *transpulmonary atrial flow reversal velocity*) – hitrost vala A preddvornega toka v pljučni veni

AR vol (angl. *aortic regurgitation volume*) – aortni regurgitacijski volumen

AS (angl. *aortic stenosis*) – aortna stenoza

asc (angl. *ascending*) – ascendenten

AT (angl. *acceleration time*) – akceleracijski čas

AVA (angl. *aortic valve area*) – površina ustja aortne zaklopke

AV (angl. *aortic valve*) – aortna zaklopka

BSA (angl. *body surface area*) – telesna površina

CI (angl. *cardiac index*) – srčni indeks (indeksirani minutni volumen srca)

Cleft (angl.) – poka

CO (angl. *cardiac output*) – minutni volumen srca

CRT (angl. *cardiac resynchronization therapy*) – resinhronizacijsko zdravljenje

CSA (angl. *cross sectional area*) – površina preseka

CVP (angl. *central venous pressure*) – centralni venski tlak

CW (angl. *continuous wave doppler*) – kontinuirani dopler

D (angl. *transpulmonary D wave velocity*) – hitrost vala D vtoka skozi pljučne vene

DBP (angl. *diastolic blood pressure*) – diastolični arterijski tlak

desc (angl. *descending*) – descendenten

dist (angl. *distal*) – distalno

dPAP (angl. *diastolic pulmonary artery pressure*) – diastolični tlak v pljučni arteriji

dP/dT – sprememba tlaka s časom

DT (angl. *deceleration time*) – deceleracijski čas

DVI (angl. *doppler velocity index*) – indeks doplerskih hitrosti

E (angl. *transmitral E wave velocity*) – hitrost vala E toka skozi mitralno zaklopko

E/A (angl. *transmitral E/A wave velocity ratio*) – razmerje hitrosti valov E in A

e' (angl. *tissue doppler e wave velocity*) – hitrost vala e v tkivnem doplerju

e' avg – $(e' \text{ lat} + e' \text{ sept}) / 2$ – povprečna hitrost valov e' lat in e' sept v tkivnem doplerju

E/e' (angl. *transmitral E wave velocity/tissue doppler e wave velocity ratio*) – razmerje hitrosti valov E in e'

E/e' avg – $(E/(e' \text{ sept} + e' \text{ lat})) = E/e' \text{ povpr}$ – razmerje hitrosti vala E in povprečne hitrosti valov e' lat in e' sept v tkivnem doplerju

E/e' povpr – $(E/(e' \text{ sept} + e' \text{ lat})) = E/e' \text{ avg}$ – razmerje hitrosti vala E in povprečne hitrosti valov e' lat in e' sept v tkivnem doplerju

e' lat (angl. tissue doppler velocity of lateral mitral annulus) – e' na lateralnem robu mitralnega obroča
e' sept (angl. tissue doppler velocity of septal mitral annulus) – e' na septalnem robu mitralnega obroča
e't (angl. tissue doppler velocity of septal tricuspid annulus) = RV e' – e' na lateralnem robu trikuspidalnega obroča
EF (angl. ejection fraction) – iztisni delež
EOA (angl. effective orifice area) – efektivna površina ustja
EOAi (angl. effective orifice area index) – indeksirana efektivna površina ustja
EDD (angl. end-diastolic diameter) – končni diastolični premer
EDV (angl. end-diastolic volume) – končni diastolični volumen
EROA (angl. effective regurgitant orifice area) – efektivna površina regurgitacijskega ustja
ESD (angl. end-systolic diameter) – končni sistolični premer
ESV (angl. end-systolic volume) – končni sistolični volumen
ET (angl. ejection time) – iztisni čas
FAC (angl. fractional area change) – delež spremembe površine
Flail – opletajoč
GLS (angl. global longitudinal strain) – globalna vzdolžna sistolična deformacija
HR (angl. heart rate) – srčna frekvence
INF LAT (angl. inferolateral wall) – inferolateralna ali zadnja ali posteriorna stena
ITM – indeks telesne mase
IVCT (angl. isovolumic contraction time) – čas izovolumetričnega krčenja
IVMD (angl. interventricular motion delay) – časovna razlika v krčenju prekatov
IVRT (angl. isovolumic relaxation time) – čas izovolumetrične relaksacije
IVS (angl. interventricular septum) – medprekatni pretin
LA (angl. left atrium) – levi preddvor
LAD (angl. left anterior descending artery) – leva sprednja descendenta koronarna arterija
LAP (angl. left atrial pressure) – tlak v levem preddvoru
LAVI (angl. left atrial volume index) – indeksirani volumen levega preddvora
LCX (angl. left circumflex artery) – leva cirkumfleksna koronarna arterija
Leak (angl.) – zatekanje
LF LG AS (angl. low flow low gradient aortic stenosis) – aortna stenoza z majhnim pretokom in nizkim gradientom
LV (angl. left ventricle) – levi prekat
LVEDP (angl. left ventricular end-diastolic pressure) – končni diastolični tlak v levem prekatu
LV EF (angl. left ventricular ejection fraction) – iztisni delež levega prekata
LVH (angl. left ventricular hypertrophy) – hipertrofija levega prekata
LVMI (angl. left ventricular mass index) – indeksirana masa levega prekata
LV EDVI (angl. end-diastolic volume index) – indeksirani končni diastolični volumen levega prekata
LVOT (angl. left ventricular outflow tract) – iztočni trakt levega prekata
MA (angl. mitral annulus) – mitralni obroč
MAPSE (angl. mitral annular plane systolic excursion) – longitudinalno gibanje mitralnega obroča
max gr (angl. maximal/peak pressure gradient) = PG_{\max} – največji tlačni gradient
mean (angl. mean) – srednji
mean gr (angl. mean pressure gradient) = PG_{mean} – srednji tlačni gradient
M-mode (angl.) – M-prikaz
mPAP (angl. mean pulmonary artery pressure) – srednji tlak v pljučni arteriji
MR (angl. mitral regurgitation) – mitralna regurgitacija
MR vol (angl. mitral regurgitation volume) – mitralni regurgitacijski volumen
MVA (angl. mitral valve area) – površina ustja mitralne zaklopke
MV (angl. mitral valve) – mitralna zaklopka
PA (angl. pulmonary artery) – pljučna arterija
PAH (angl. pulmonary artery hypertension) – pljučna arterijska hipertenzija

PAWP (angl. *pulmonary artery wedge pressure*) – pljučni zagozditveni tlak
PEP (angl. *pre-ejection period*) – prediztisni čas
PG (angl. *pressure gradient*) – tlačni gradient
PG_{max} (angl. *maximal pressure gradient*) = max gr – največji tlačni gradient
PG_{mean} (angl. *mean pressure gradient*) = mean gr – srednji tlačni gradient
PH (angl. *pulmonary hypertension*) – pljučna hipertenzija
PHT (angl. *pressure half time*) – tlačni razpolovni čas
PISA (angl. *proximal isovelocity surface area*) – proksimalna površina toka enake hitrosti
PLAX (angl. *parasternal long axis*) – parasternalni vzdolžni presek
planim (angl. *planimetric*) – planimetrično
P-PEP (angl. *pulmonary pre-ejection period*) – prediztisni čas na pulmonalni zaklopki
PPM (angl. *patient prostesis mismatch*) – neujemanje zaklopke z bolnikom
PR (angl. *pulmonary regurgitation*) – pulmonalna regurgitacija
prox (angl. *proximal*) – proksimalno
PS (angl. *pulmonary stenosis*) – pulmonalna stenoza
PSAX (angl. *parasternal short axis*) – parasternalni prečni presek
PV (angl. *pulmonary valve*) – pulmonalna zaklopka
PVR (angl. *pulmonary vascular resistance*) – pljučni žilni upor
PW (angl. *pulse wave doppler*) – pulzni dopler
r (angl. *radius*) – polmer
RA (angl. *right atrium*) – desni preddvor
RAA (angl. *right atrial area*) – površina desnega preddvora
RAP (angl. *right atrial pressure*) – tlak v desnem preddvoru
RAVI (angl. *right atrial volume index*) – indeksirani volumen desnega preddvora
RCA (angl. *right coronary artery*) – desna koronarna arterija
RegV (angl. *regurgitation volume*) – regurgitacijski volumen
RF (angl. *regurgitation fraction*) – regurgitacijski delež
RIMP (angl. *right ventricular index of myocardial performance*) = RV MPI – indeks zmogljivosti desnega prekata
RV (angl. *right ventricle*) – desni prekat
RV a' (angl. *tissue doppler a wave velocity of septal tricuspid annulus*) – hitrost vala a v tkivnem doplerju na lateralnem robu trikuspidalnega obroča
RV e' (angl. *tissue doppler e wave velocity of septal tricuspid annulus*) – hitrost vala e v tkivnem doplerju na lateralnem robu trikuspidalnega obroča
RV EF (angl. *right ventricular ejection fraction*) – iztisni delež desnega prekata
RV EDA (angl. *right ventricular end diastolic area*) – končna diastolična površina desnega prekata
RV ESA (angl. *right ventricular end systolic area*) – končna sistolična površina desnega prekata
RV FAC (angl. *right ventricular fractional area change*) – delež spremembe površine desnega prekata
RVID basal (angl. *right ventricular inflow diameter basal*) – premer vtočnega bazalnega dela desnega prekata
RV s' (angl. *tissue doppler velocity of septal tricuspid annulus*) = s' t – s' na lateralnem robu trikuspidalnega obroča
RVID mid (angl. *right ventricular inflow cavity diameter mid*) – premer vtočnega srednjega dela desnega prekata
RV MPI (angl. *right ventricular myocardial performance index*) = RIMP – indeks zmogljivosti desnega prekata
RVOT (angl. *right ventricular outflow tract*) – iztočni trakt desnega prekata
RVSP (angl. *right ventricular systolic pressure*) – sistolični tlak v desnem prekatu
RWT (angl. *relative wall thickness*) – relativna debelina stene
S (angl. *transpulmonary S wave velocity*) – hitrost vala S vtoka skozi pljučne vene
s' (angl. *tissue doppler s wave velocity*) – hitrost vala s v tkivnem doplerju
s' lat (angl. *tissue doppler velocity of lateral mitral annulus*) – s' na lateralnem robu mitralnega obroča
s' sept (angl. *tissue doppler velocity of septal mitral annulus*) – s' na septalnem robu mitralnega obroča

s' t (angl. *tissue doppler velocity of lateral tricuspid annulus*) = RV s' – s' na lateralnem robu trikuspidalnega obroča

SBP (angl. *systolic blood pressure*) – sistolični arterijski tlak

sPAP (angl. *systolic pulmonary artery pressure*) – sistolični tlak v pljučni arteriji

SD (angl. *standard deviation*) – standardni odklon

SE (angl. *standard error*) – standardna napaka

SF (angl. *systolic fraction*) – sistolični delež

SPWMD (angl. *septal to posterior wall motion delay*) – časovna razlika med krčenjem medprekatnega pretina in inferolateralne/zadnje stene levega prekata

STJ (angl. *sinotubular junction*) – sinotubularni stik aorte

SV (angl. *stroke volume*) – utripni volumen

SVi (angl. *stroke volume index*) – indeksirani utripni volumen

TAM (angl. *tricuspid annular motion*) – gibanje trikuspidalnega obroča

TAPSE (angl. *tricuspid annular plane systolic excursion*) – longitudinalno gibanje trikuspidalnega obroča

TCO (angl. *tricuspid (valve) closure to opening time*) – čas med zaprtjem in odprtjem trikuspidalne zaklopke

TDI (angl. *tissue doppler imaging*) – tkivni dopler

Tenting – bočenje

Tenting area – površina bočenja

Tenting height – višina bočenja = koaptacijska globina

Tenting volume – volumen bočenja

Tethering – vlek

TR (angl. *tricuspid regurgitation*) – trikuspidalna regurgitacija

TS (angl. *tricuspid stenosis*) – trikuspidalna stenoza

TV (angl. *tricuspid valve*) – trikuspidalna zaklopka

TVA (angl. *tricuspid valve area*) – površina trikuspidalne zaklopke

v (angl. *velocity*) – hitrost

Val ΔE – spremembra hitrosti vala E ob Valsalvinem manevru

VC (angl. *vena contracta*) – vena kontrakta

VCI (angl. *vena cava inferior*) – spodnja votla vena

VCle (angl. *vena cava inferior expirium*) – premer spodnje votle vene v izdihu

v_a (angl. *aliasing velocity*) – hitrost barvnega obrata

v_{ed} (angl. *end-diastolic velocity*) – končna diastolična hitrost

v_{max} (angl. *maximal velocity*) – največja hitrost

v_{mean} (angl. *mean velocity*) – srednja hitrost

v_p (angl. *propagation velocity*) – hitrost širjenja (z barvnim M-prikazom)

VSD (angl. *ventricular septal defect*) – defekt medprekatnega pretina

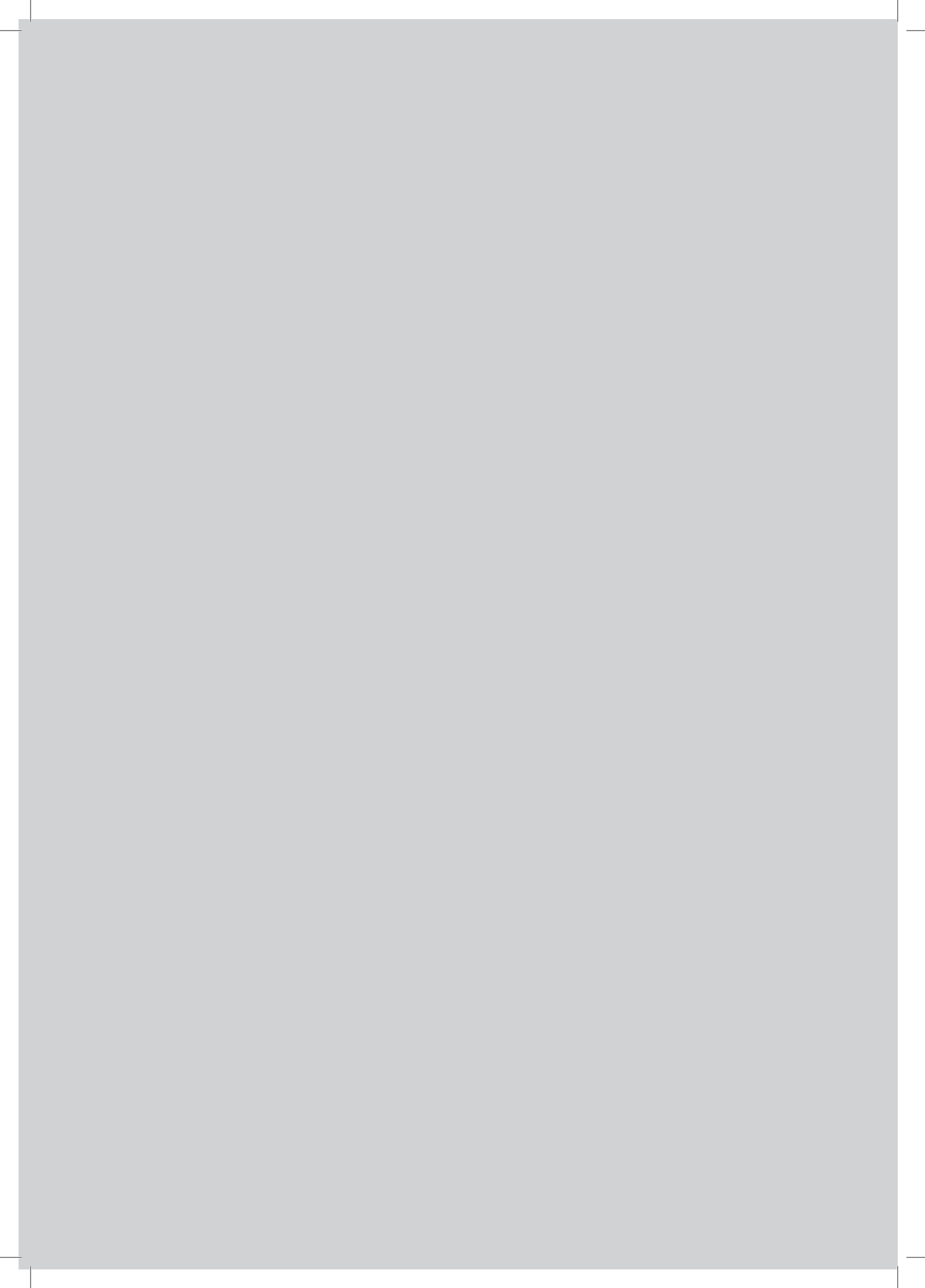
VTI (angl. *velocity time integral*) – integral hitrosti po času

WMSI (angl. *Wall Motion Score Index*) – točkovni indeks segmentnega krčenja

WU (angl. *Wood units*) – Woodove enote (mmHg x min/L)

KAZALO

| | |
|--|----|
| Kratice in pogosteje uporabljeni izrazi v ehokardiografiji | 5 |
| Srčne votline | |
| Levi prekat | 11 |
| Desni prekat | 17 |
| Preddvora | 21 |
| Aorta | 23 |
| Zaklopke | |
| Aortna zaklopka | 25 |
| Mitralna zaklopka | 29 |
| Trikuspidalna zaklopka | 33 |
| Pulmonalna zaklopka | 34 |
| Umetne zaklopke | 35 |
| Perikard | 49 |
| Hemodinamika | 51 |
| Celostna transtorakalna ehokardiografska preiskava | |
| Nabor standardnih presekov in meritov..... | 55 |
| Obvezne in opcijске meritve..... | 64 |
| Minimalen nabor posnetkov..... | 65 |
| Primer normalnega izvida..... | 66 |
| Priporočena literatura | 68 |



SRČNE VOTLINE

LEVI PREKAT

Dimenzijske in volumni levega prekata (LV)

| | Ženske (2D) | | | (3D) | | Moški (2D) | | (3D) | |
|-------------------|-------------|----------|-------------------------------------|-------------------------------------|----------|------------|-------------------------------------|-------------------------------------|--|
| | EDD (cm) | EDV (mL) | EDV/ BSA (mL/m ²) | EDV/ BSA (mL/m ²) | EDD (cm) | EDV (mL) | EDV/ BSA (mL/m ²) | EDV/ BSA (mL/m ²) | |
| Normalna velikost | 3,8–5,2 | 46–106 | 29–61 | do 71 | 4,2–5,8 | 62–150 | 34–74 | do 79 | |
| Blago povečan | 5,3–5,6 | 107–120 | 62–70 | | 5,9–6,3 | 151–174 | 75–89 | | |
| Zmerno povečan | 5,7–6,1 | 121–130 | 71–80 | | 6,4–6,8 | 175–200 | 90–100 | | |
| Močno povečan | >6,1 | >130 | >80 | | >6,8 | >200 | >100 | | |

Opomnik

Dimenzijske LV merimo v PLAX, pravokotno na dolgo os LV, v višini vrhov lističev mitralne zaklopke ali tik pod njimi z 2D vodenim M-prikazom ali iz 2D posnetkov (priporočena metoda).

Priporočena metoda za merjenje 2D volumnov LV je dvoravninska metoda diskov (po Simpsonu).

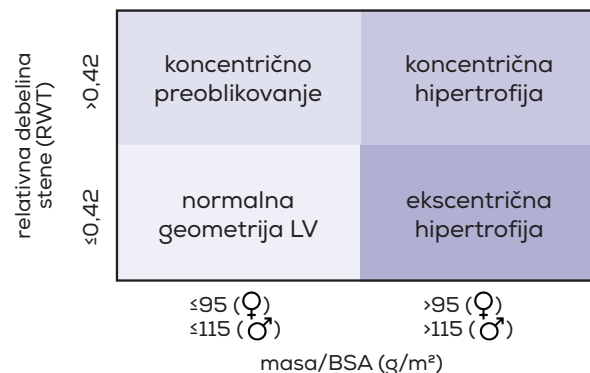
Merila za hipertrofijo levega prekata glede na debelino sten levega prekata

| IVS ali INF LAT (cm) | Ženske | Moški |
|----------------------|---------|---------|
| Normalno | 0,6–0,9 | 0,6–1,0 |
| Blaga hipertrofija | 1,0–1,2 | 1,1–1,3 |
| Zmerna hipertrofija | 1,3–1,5 | 1,4–1,6 |
| Huda hipertrofija | >1,5 | >1,6 |

Merila za hipertrofijo levega prekata glede na maso levega prekata

| Enodimenzionalna metoda | Ženske | Moški |
|-------------------------|---------|---------|
| Normalno | 67–162 | 43–95 |
| Blaga hipertrofija | 163–186 | 225–258 |
| Zmerna hipertrofija | 187–210 | 259–292 |
| Huda hipertrofija | >210 | >292 |
| Dvodimenzionalna metoda | Ženske | Moški |
| Normalno | 66–150 | 96–200 |
| Blaga hipertrofija | 151–171 | 201–227 |
| Zmerna hipertrofija | 172–193 | 228–254 |
| Huda hipertrofija | >193 | >254 |

Geometrija levega prekata



SISTOLIČNA FUNKCIJA LEVEGA PREKATA

Iztisni delež

| | Normalen | Blago znižan | Zmerno znižan | Močno znižan |
|--------|-----------|--------------|---------------|--------------|
| Ženske | 54 - 74 % | 41 - 53 % | 30 - 40 % | <30 % |
| Moški | 52 - 72 % | 41 - 51 % | 30 - 40 % | <30 % |

$$EF = (EDV-ESV)/EDV$$

Globalna sistolična deformacija ('peak systolic strain')

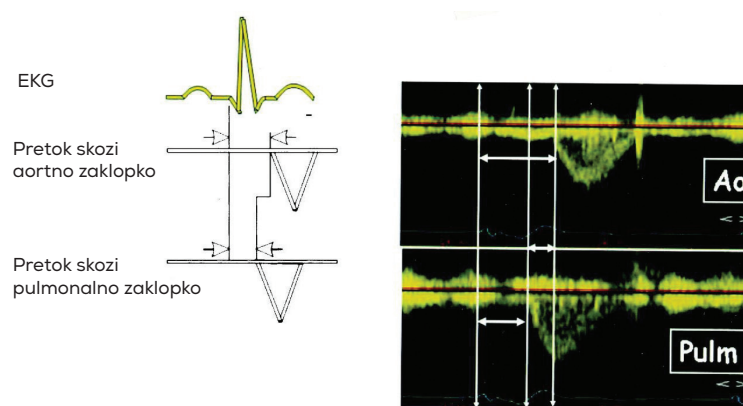
| | Longitudinalna | Radialna | Cirkumferenčna |
|--------------------|----------------|-----------|----------------|
| Normalne vrednosti | pod -18 % | nad +40 % | pod -20 % |

Normalne vrednosti globalne sistolične deformacije se pri različnih ultrazvočnih aparatih nekoliko razlikujejo.

Merila sinhronosti krčenja

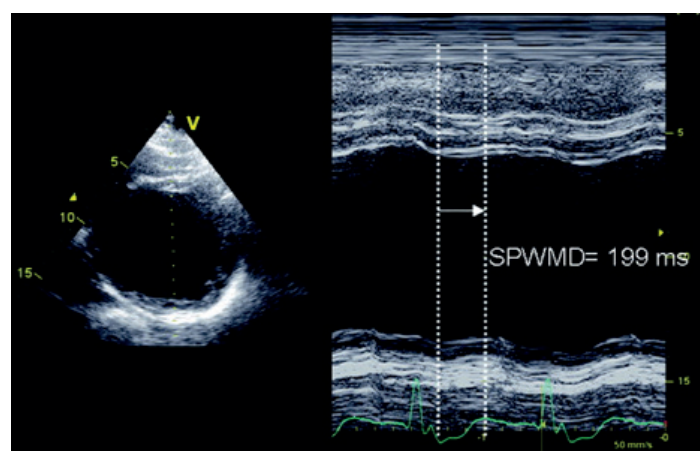
Interventrikularna dissinhronija

IVMD = predizpisni čas na aortni zaklopki (A-PEP, merjeno v ALAX) – predizpisni čas na pulmonalni zaklopki (P-PEP, merjeno v PSAX) >40 ms

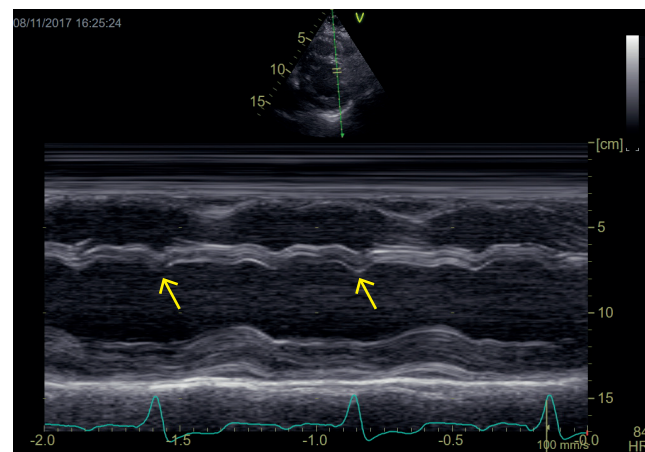


Intraventrikularna dissinhronija

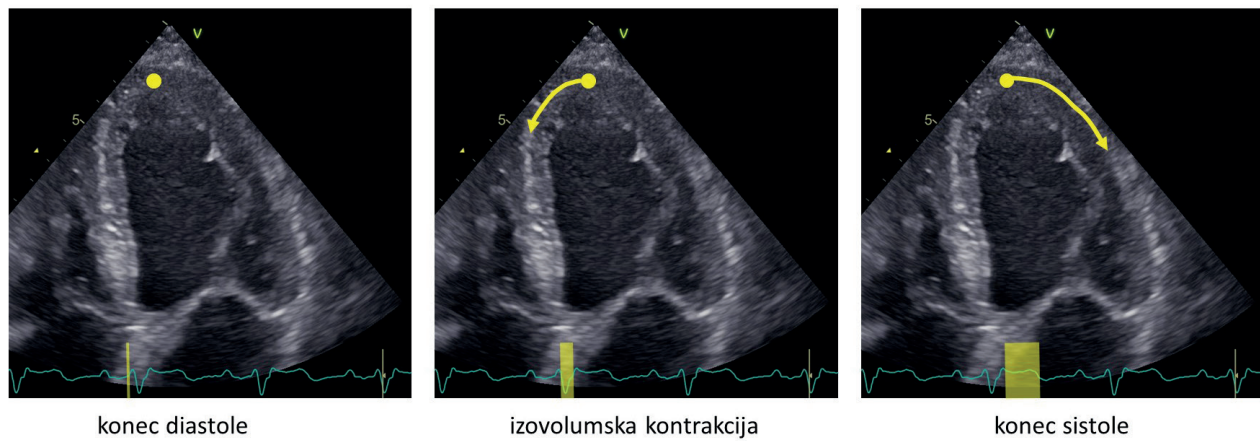
SPWMD = časovna razlika med krčenjem septuma in inferolateralne/zadnje stene (M-prikaz ali anatomska M-prikaz, PLAX ali PSAX) ≥130 ms.



'Septal flash' je kratkotrajno skrčenje IVS v času izovolumske kontrakcije, ki povzroči hitro, kratkotrajno gibanje IVS proti votlini levega prekata. Prisotnost 'septal flash-a' lahko vidimo v parasternalnih presekih (PLAX ali PSAX) (lahko uporabimo M-prikaz) ali v preseku štirih votlin.



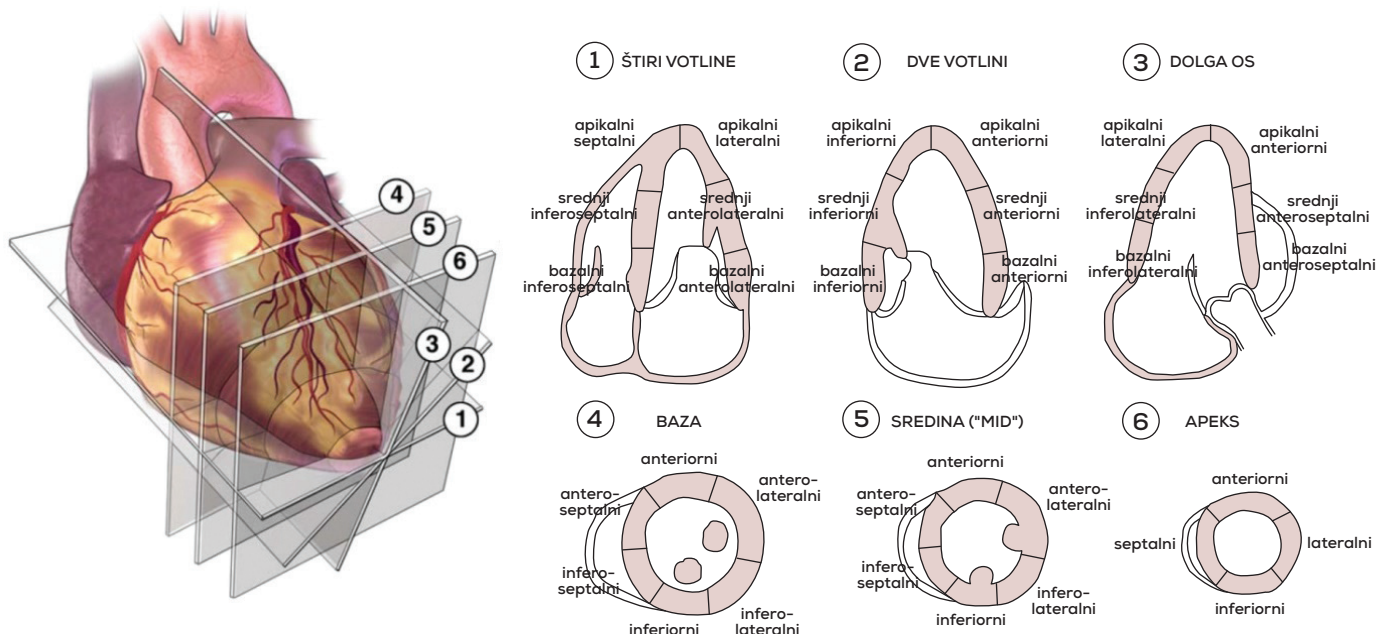
'Apical rocking' označuje kratkotrajno gibanje srčne konice v smeri proti IVS v prvem delu sistole (v fazi izovolumske kontrakcije) in proti lateralni steni v drugem delu sistole (zaradi zakasnitve mehanične aktivacije lateralne stene).



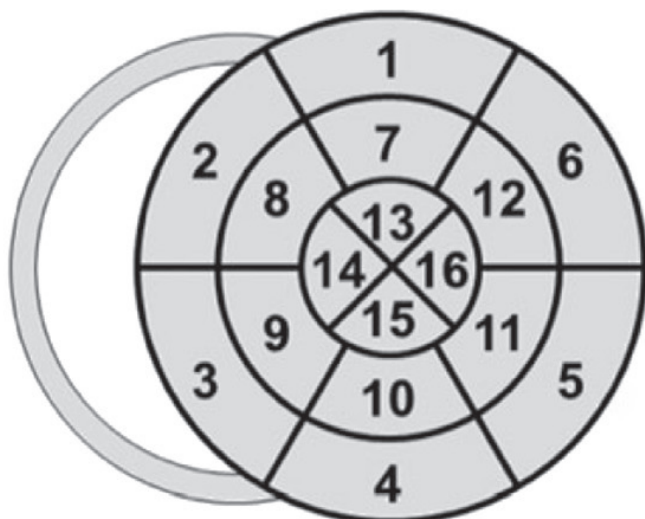
Ocena segmentnega krčenja

Za oceno perfuzije uporabljamo 17-segmentni model, za oceno segmentnega krčenja pa 16-segmentni model, saj sta premik endokarda in zadebelitev srčne mišice v konici praktično nezaznavna.

16-segmentni model



Prikaz polarne mape ('Bull's eye')



SEGMENTI:

- 1 – bazalni anteriorni
- 2 – bazalni anteroseptalni
- 3 – bazalni inferoseptalni
- 4 – bazalni inferiorni
- 5 – bazalni inferolateralni
- 6 – bazalni anterolateralni
- 7 – srednji anteriorni
- 8 – srednji anteroseptalni
- 9 – srednji inferoseptalni
- 10 – srednji inferiorni
- 11 – srednji inferolateralni
- 12 – srednji anterolateralni
- 13 – apikalni anteriorni
- 14 – apikalni septalni
- 15 – apikalni inferiorni
- 16 – apikalni lateralni

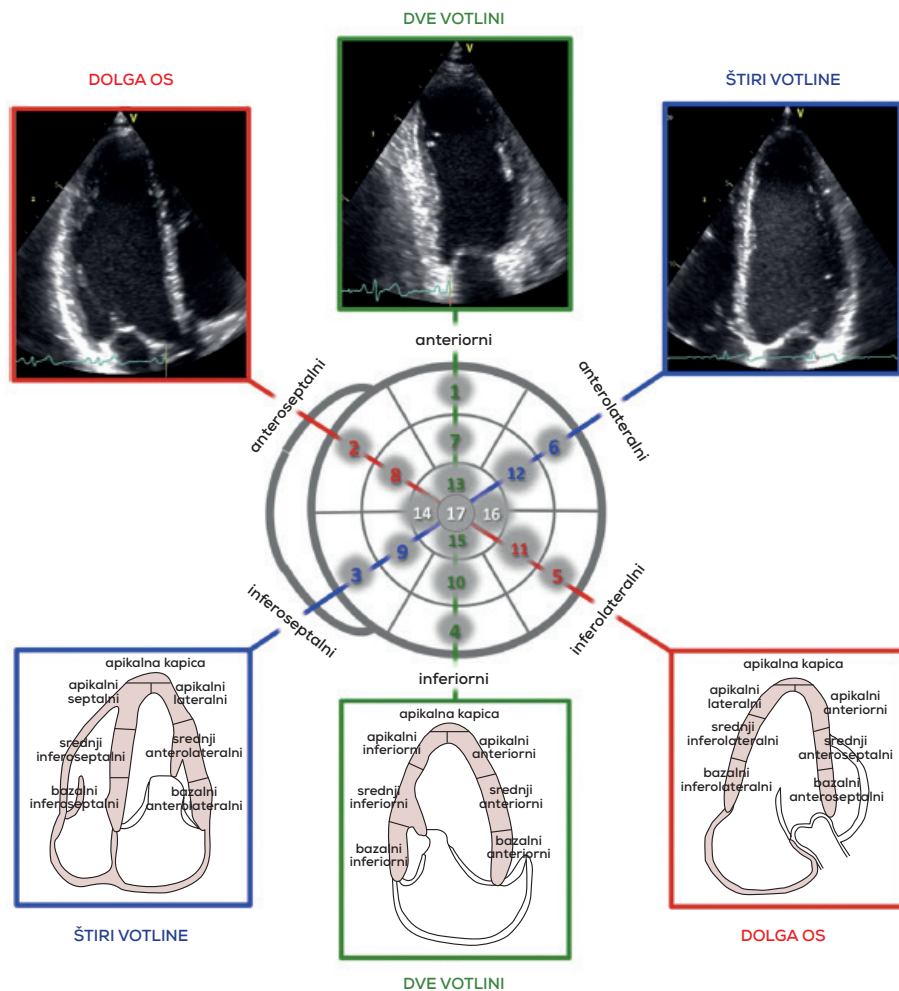
Ocena krčenja posameznega segmenta:

1 = normalno, 2 = hipokinetično, 3 = akinetično, 4 = diskinetično (tudi anevrizma)

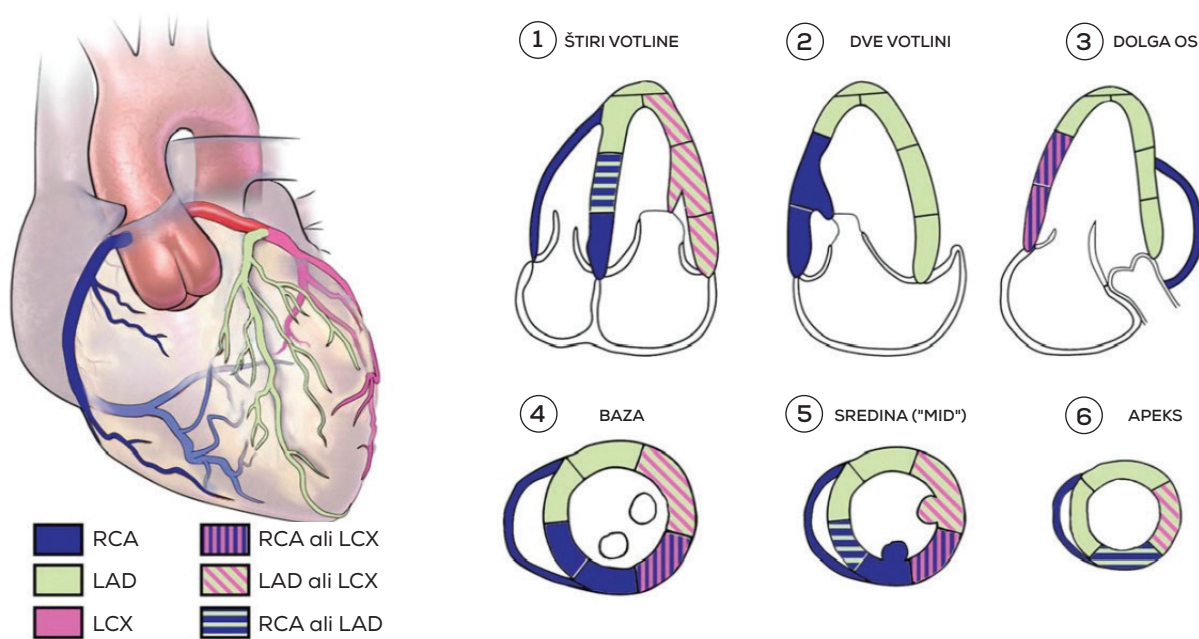
Točkovni indeks segmentnega krčenja ('Wall motion score index' – WMSI)

$$WMSI = \frac{\text{vsota ocen krčenja segmentov}}{\text{število segmentov}}$$

17-segmentni model

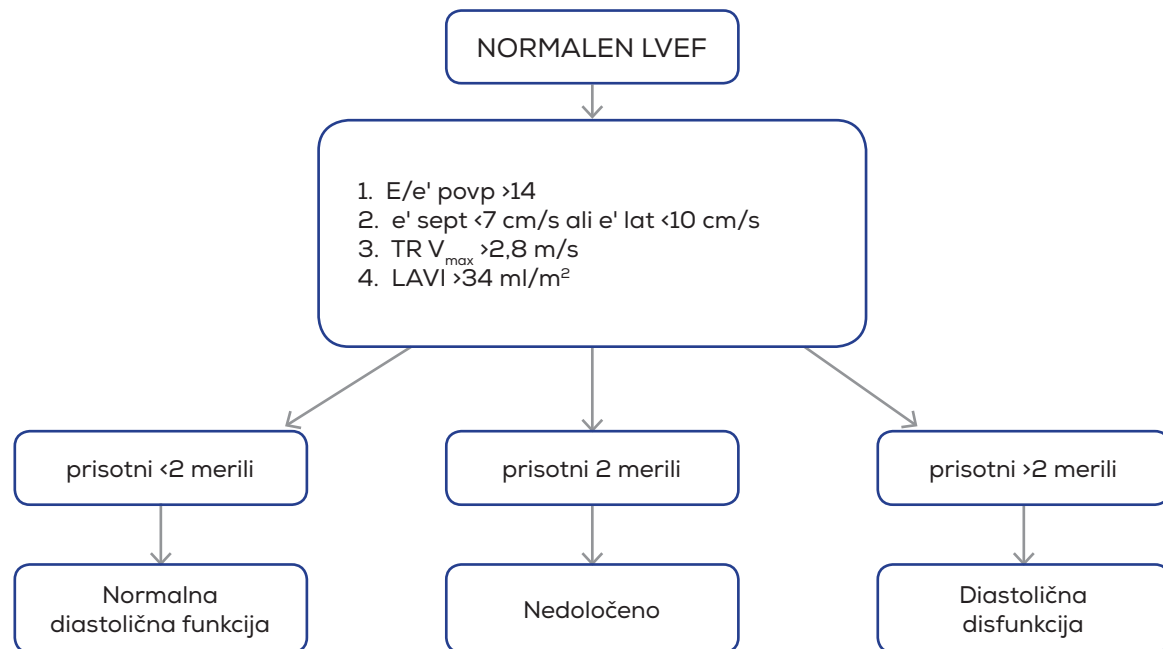


Povirja koronarnih arterij

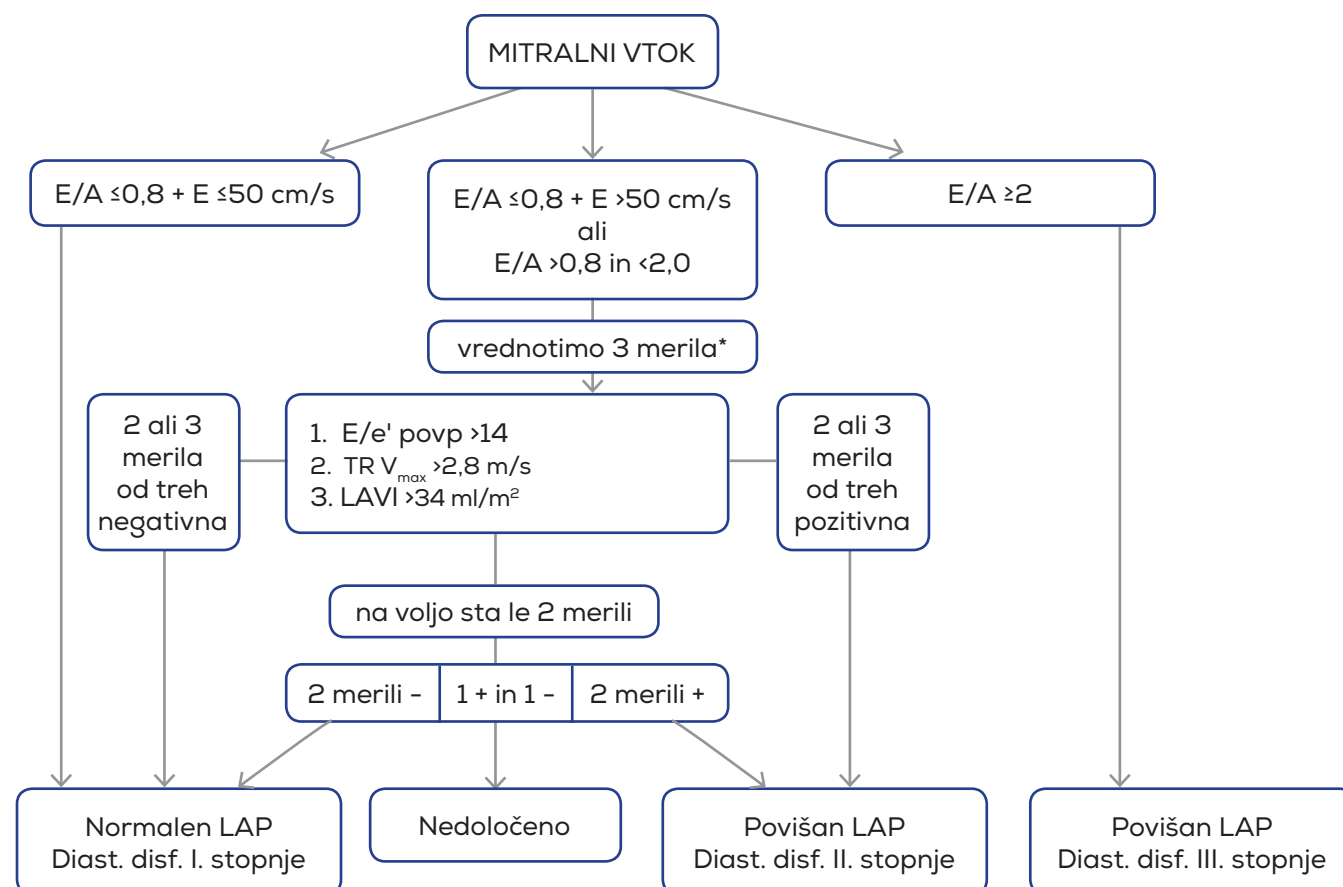


DIASTOLIČNA FUNKCIJA LEVEGA PREKATA

Algoritem za diagnozo diastolične disfunkcije levega prekata pri bolnikih z normalnim iztisnim deležem levega prekata



Algoritem za oceno polnilnega tlaka LV (LAP) in stopnje diastolične disfunkcije LV pri bolnikih z znižanim iztisnim deležem LV in bolezni miokarda z ohranjenim iztisnim deležem levega prekata



Opomnik

*če je na voljo le eno merilo, je LAP nedoločen.

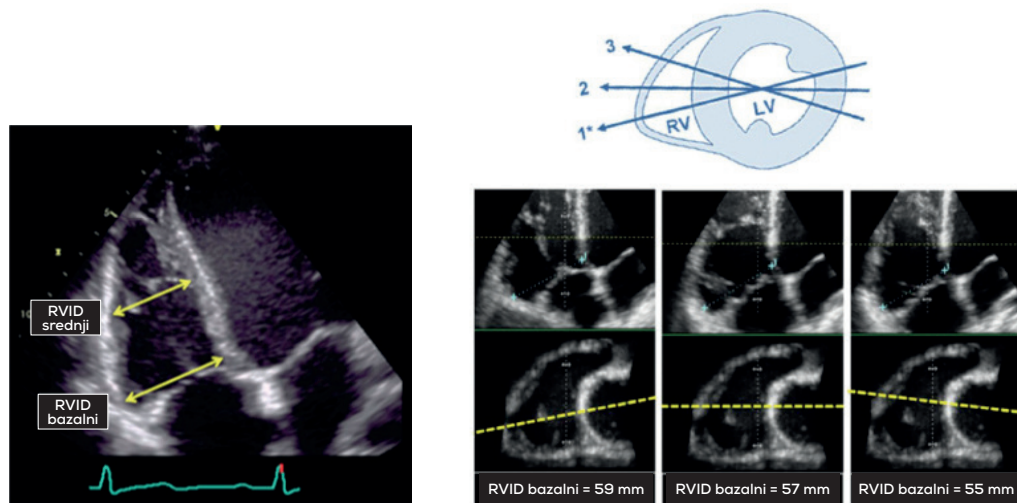
V tem primeru lahko uporabimo za potrditev zvišanega polnilnega tlaka LV dodatna merila:

val $\Delta E/A < 0,5$ in Adur - ARdur < 30 ms, le pri okrnjenem iztisnem deležu pa tudi: $E/Vp > 2,5$, $S/D < 1$ in $DT < 150$ ms.

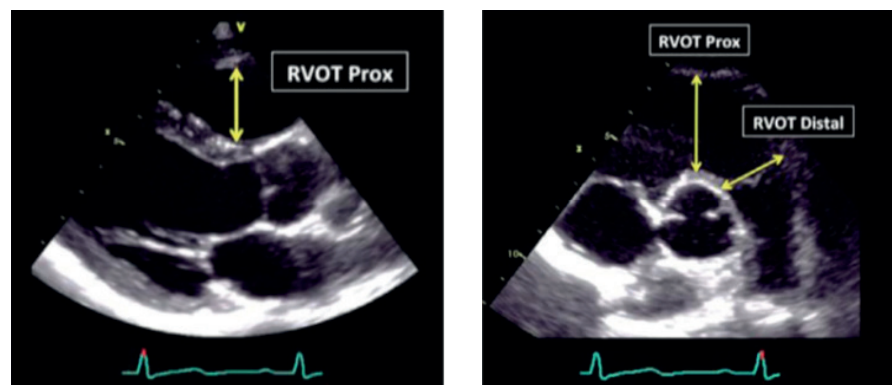
DESNI PREKAT

DIMENZIJE DESNEGA PREKATA

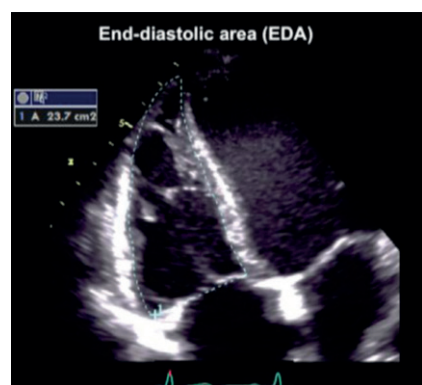
Meritve premerov vtočnega trakta desnega prekata opravimo v prilagojenemu preseku štirih votlin, ki je usmerjen na desni prekat. Apeks levega prekata naj bo v centru UZ prikaza, desni prekat pa ob tem prikazan tako, da je bazalni premer (RVID bazalni), ki ga izmerimo v bazalni tretjini desnega prekata ob koncu diastole, največji (pravilen je presek 1*). Srednji premer (RVID srednji) izmerimo na sredini med bazo in apeksom desnega prekata.



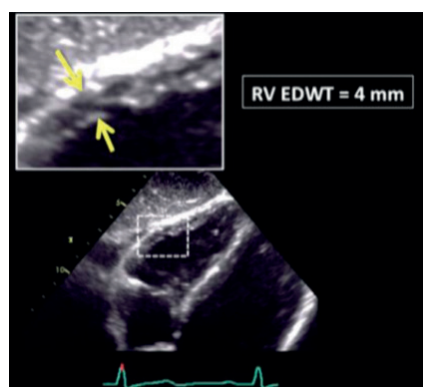
Meritve premerov iztočnega trakta desnega prekata opravimo v parasternalnih presekih.



Tudi meritev površine desnega prekata opravimo v zgoraj opisanemu usmerjenemu preseku štirih votlin. Trabekulacije, papilarne mišice in moderatorska mišica so del votline desnega prekata.



Meritev debeline proste stene desnega prekata opravimo v subkostalnem preseku štirih votlin (na povečanem posnetku) približno za dolžino sprednjega lističa trikuspidalne zaklopke pod trikuspidalnim obročem.



| Dimenzijs desnega prekata | Normalna velikost desnega prekata | | Povečan desni prekat | |
|---------------------------------------|-----------------------------------|----------|----------------------|--------|
| | moški | ženske | moški | ženske |
| Bazalni premer RV (RVID bazalni) (mm) | 25–41 | | >41 | |
| Srednji premer RV (RVID srednji) (mm) | 19–35 | | >35 | |
| Vzdolžni premer RV (mm) | 59–83 | | >83 | |
| Premer RVOT PLAX (mm) | 20–30 | | >30 | |
| Prox RVOT PSAX (mm) | 21–35 | | >35 | |
| Dist RVOT PSAX (mm) | 17–27 | | >27 | |
| RV EDA (cm^2) | 10–24 | 8–20 | >24 | >20 |
| RV EDAi (cm^2/m^2) | 5–12,6 | 4,5–11,5 | >12,6 | >11,5 |
| RV ESA (cm^2) | 3–15 | 3–11 | >15 | >11 |
| RV ESAi (cm^2/m^2) | 2,0–7,4 | 1,6–6,4 | >7,4 | >6,4 |
| RV EDVi (ml/m^2) | 35–87 | 32–74 | >87 | >74 |
| RV ESVi (ml/m^2) | 10–44 | 8–36 | >44 | >36 |
| Debelina proste stene RV (mm) | 1–5 | | >5 | |

SISTOLIČNA FUNKCIJA DESNEGA PREKATA

| Merila sistolične funkcije RV | Povprečje ± SD | Oslabljena sistolična funkcija RV |
|-------------------------------|----------------|-----------------------------------|
| TAPSE (mm) | 24 ± 3,5 | <17 |
| RV FAC (%) | 49 ± 7 | <35 |
| RV s' (cm/s) TDI PW | 14,1 ± 2,3 | <9,5 |
| RV 3D EF (%) | 58 ± 6,5 | <45 |
| RV MPI (PW) | 0,26 ± 0,085 | >0,43 |
| RV MPI (TDI) | 0,38 ± 0,08 | >0,54 |

Opomnik

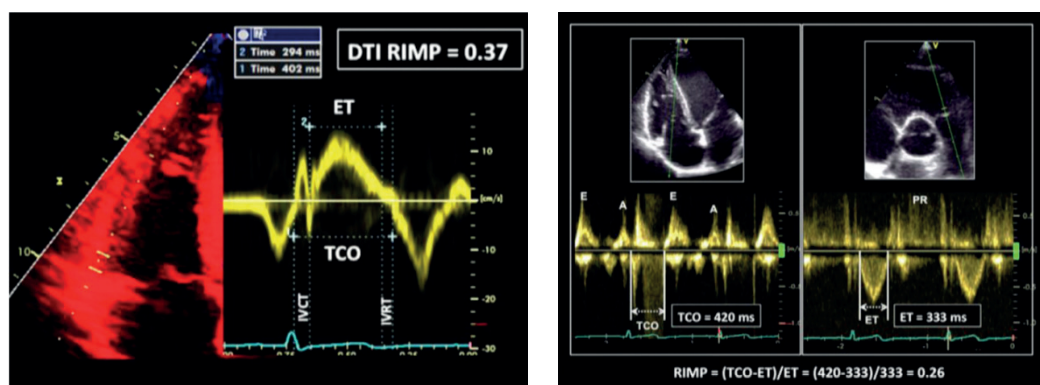
$$\text{RV FAC} = \frac{\text{RV EDA} - \text{RV ESA}}{\text{RV EDA}} \times 100$$

Merimo iz prilagojenega preseka štirih votlin, ki je usmerjen na desni prekat.

$$\text{RV MPI} = \frac{\text{TCO} - \text{ET}}{\text{ET}}$$

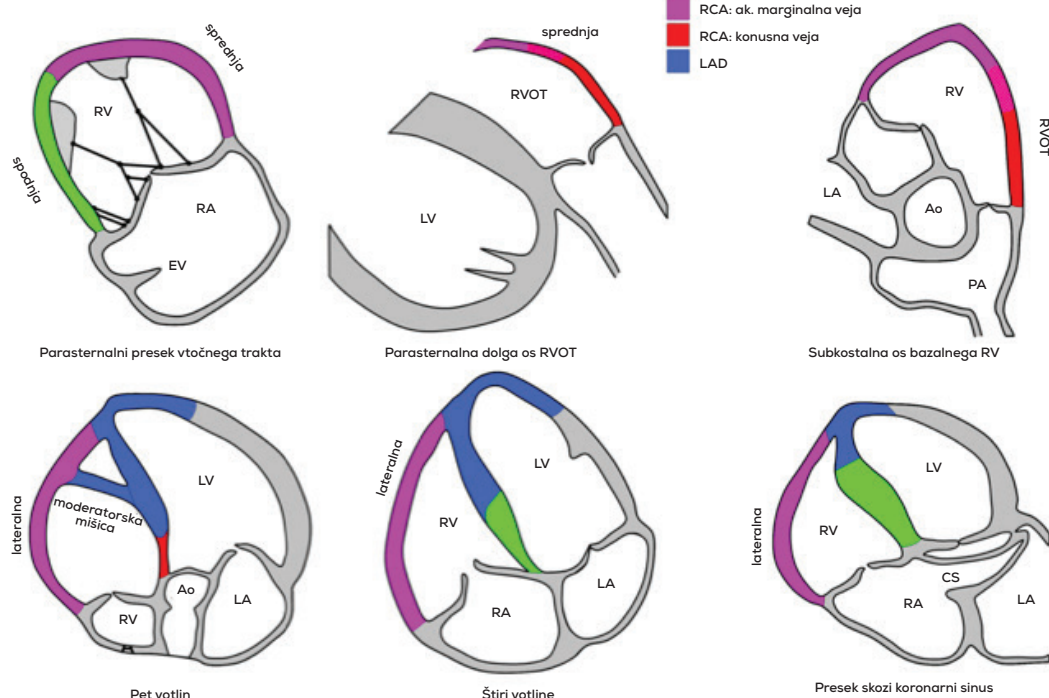
Merimo s PW na TV in PV ali s TDI na lateralnem robu trikuspidalnega obroča.

Indeks zmogljivosti desnega prekata (RV MPI ali RIMP ali indeks Tei) izračunamo iz tkivnega doplerja lateralnega roba trikuspidalnega obroča ali iz pulznega doplerja toka skozi trikuspidalno in pulmonalno zaklopko.



Stene desnega prekata in povirja koronarnih arterij

Usmerjeni preseki desnega prekata

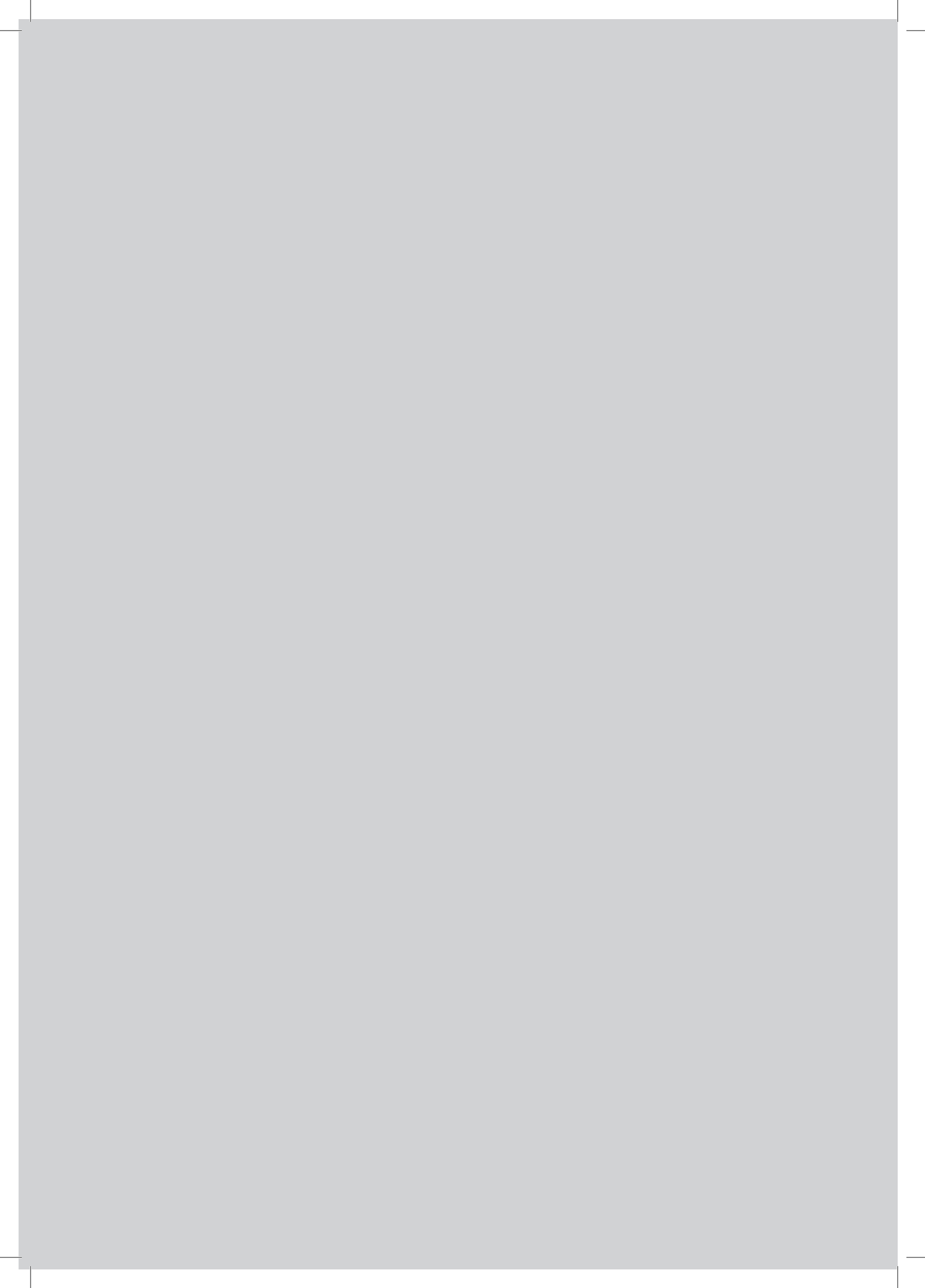


DIASTOLIČNA FUNKCIJA DESNEGA PREKATA

| Merila diastolične funkcije RV | Normalna diastolična funkcija RV | Diastolična disfunkcija RV | | |
|--------------------------------|----------------------------------|----------------------------|---------------------|---------------------------------------|
| | | blaga | zmerna | huda |
| E_{TV}/A_{TV} | 0,8–2,1 | <0,8 | 0,8–2,1 | >2,1 |
| DT (ms) | >120 | >120 | >120 | <120 |
| $E_{TV}/RV e'$ | <6 | <6 | >6 | >6 |
| RV e' (cm/s) | 14,0 ± 3,1 | | <7,8 | |
| RV e'/RV a' | 1,18 ± 0,33 | | <0,52 | |
| Tok skozi jetrne vene | | pretežno v sistoli | pretežno v diastoli | pretežno v diastoli |
| Tok skozi pljučno arterijo | | | | pozni diastolični anterogradni pretok |

Opomnik

Meritve opravimo ob koncu izdiha med normalnim dihanjem. Podamo povprečje meritev petih zaporednih srčnih ciklov.



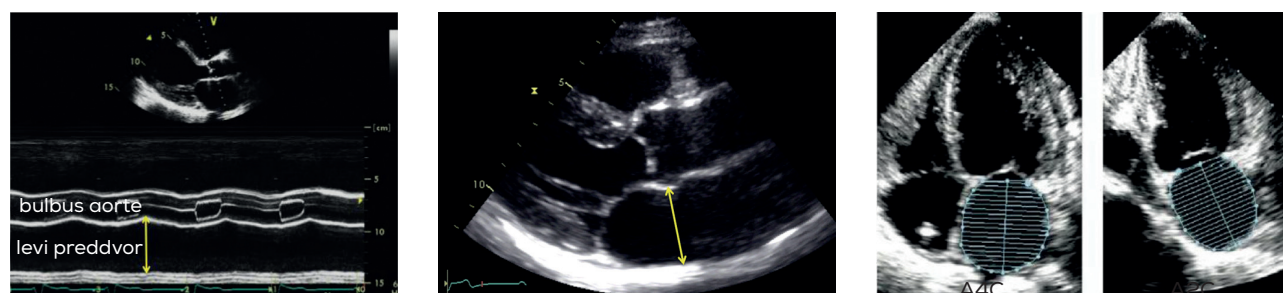
PREDDVORA

LEVI PREDDVOR

| Dimenzijs levega preddvora | Ženske | | | | Moški | | | |
|--|--------------------|---------------|----------------|---------------|--------------------|---------------|----------------|---------------|
| | normalne vrednosti | blago povečan | zmerno povečan | močno povečan | normalne vrednosti | blago povečan | zmerno povečan | močno povečan |
| Premer (M-prikaz PLAX) (cm) | 2,7–3,8 | 3,9–4,2 | 4,3–4,6 | ≥4,7 | 3,0–4,0 | 4,1–4,6 | 4,7–5,2 | ≥5,3 |
| Premer/BSA (cm/m ²) | 1,5–2,3 | 2,4–2,6 | 2,7–2,9 | ≥3,0 | 1,5–2,3 | 2,4–2,6 | 2,7–2,9 | ≥3,0 |
| Površina (cm ²) | >20 | 20–30 | 30–40 | >40 | >20 | 20–30 | 30–40 | >40 |
| Prostornina (mL) | 22–52 | 53–62 | 63–72 | ≥73 | 18–58 | 59–68 | 69–78 | ≥79 |
| Indeksirana prostornina (mL/m ²) | 16–34 | 35–41 | 42–48 | >48 | 16–34 | 35–41 | 42–48 | >48 |

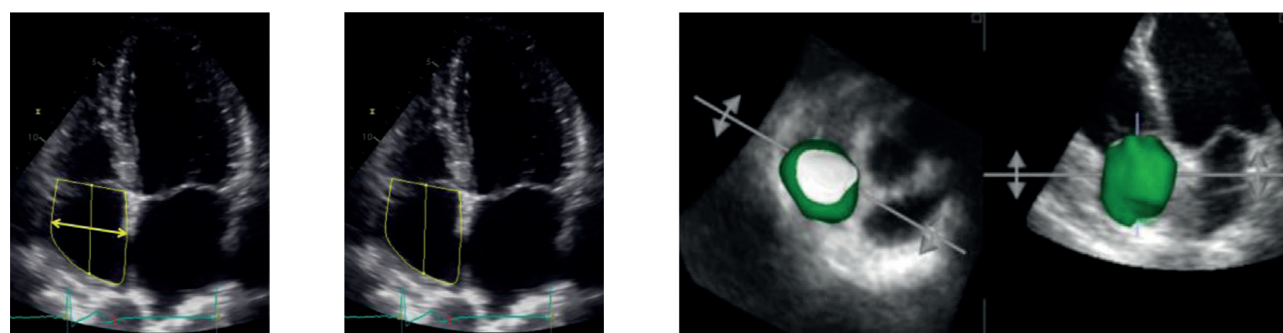
Opomnik

Premer levega preddvora (anteroposteriorni) izmerimo v PLAX z 2D vodenim M-prikazom ali iz 2D posnetka (priporočena metoda). Za oceno dimenzijs levega preddvora je sicer priporočena uporaba indeksirane prostornine levega preddvora, ki jo določimo s pomočjo dvoravninske metode diskov (po Simpsonu), podobno kot pri LV (da je izračun prostornine zanesljiv, naj se dolžina LA v prikazu štirih votlin ne razlikuje za več kot 5 mm od dolžine LA v prikazu dveh votlin).



DESNI PREDDVOR

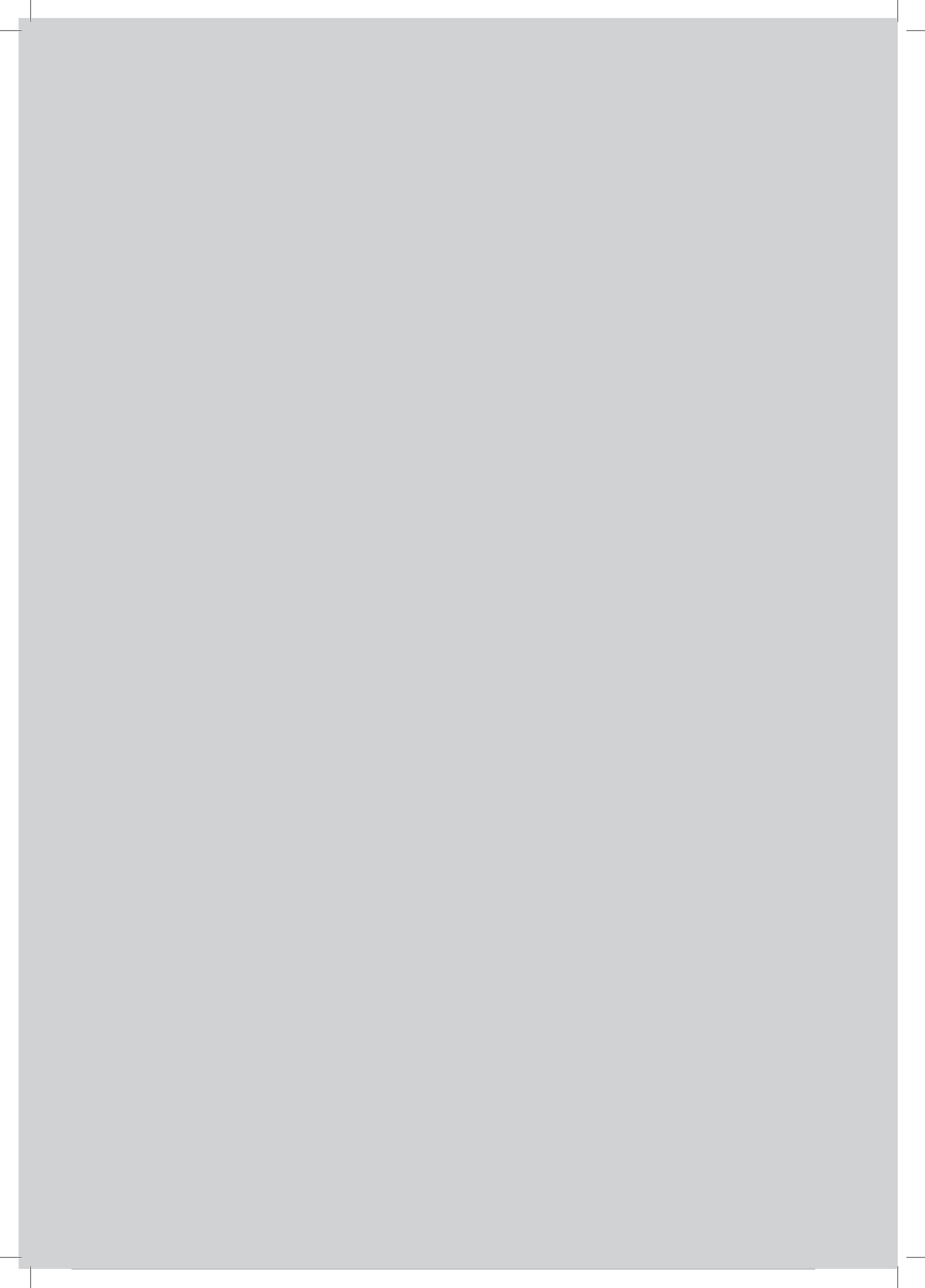
| Dimenzijs desnega preddvora | Normalna velikost | | Povečan desni preddvor | |
|--|-------------------|---------|------------------------|--------|
| | moški | ženske | moški | ženske |
| Indeks. vzdolžni premer (cm/m ²) | 2,5±0,3 | 2,4±0,3 | >3,1 | >3,0 |
| Indeks. prečni premer (cm/m ²) | 1,9±0,3 | 1,9±0,3 | >2,5 | >2,5 |
| Indeks. prostornina (mL/m ²) | 25±7 | 21±6 | >39 | >33 |



| | Blago povečan | Zmerno povečan | Močno povečan |
|---|---------------|----------------|---------------|
| Končna sistolična površina (cm ²) | 20–30 | 30–45 | >45 |

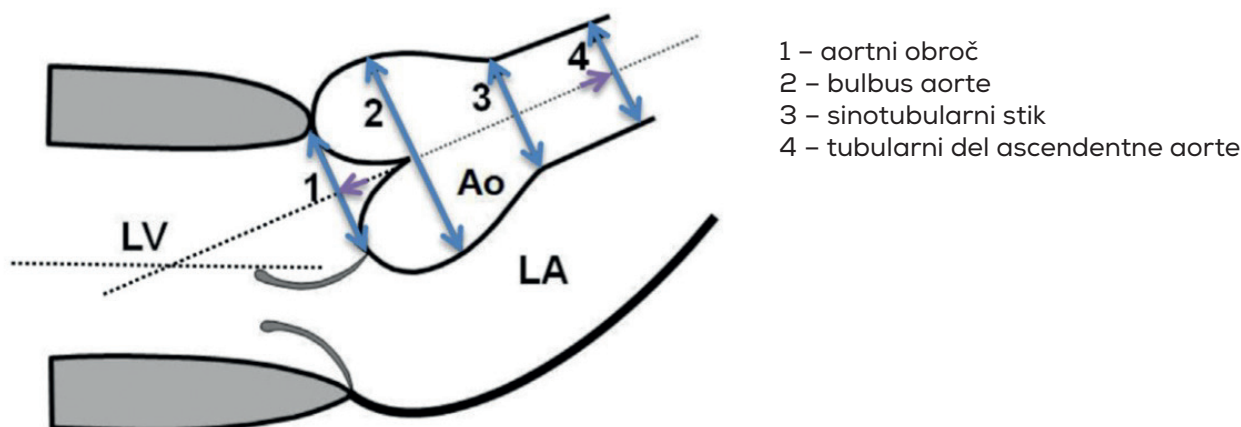
Opomnik

Priporočena je uporaba indeksirane prostornine desnega preddvora, ki jo določimo s pomočjo enoravninske metode diskov ali metode površina-dolžina ('area - length').



AORTA

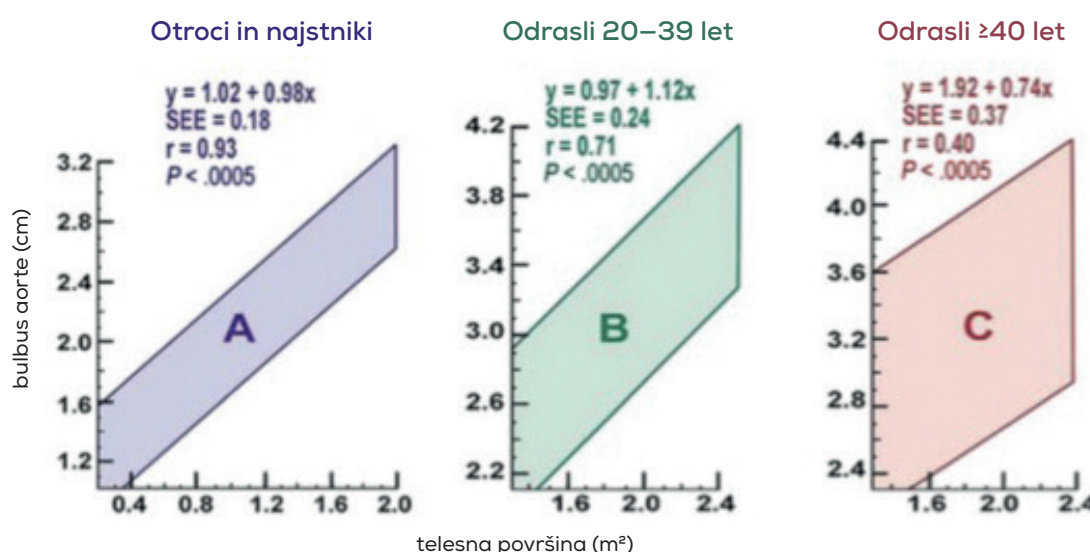
Meritve ascendentne aorte opravimo v PLAX ob koncu diastole na priporočenih mestih, ki so prikazana na sliki. Upoštevamo pravilo vodilnega roba. Izjema je aortni obroč, kjer izmerimo notranji premer med sistolo. Ob meritvi tubularnega dela ascendentne aorte navedemo tudi razdaljo med mestom meritve in ravnino aortnega obroča (vijolični puščici).



Normalni premeri ascendentne aorte

| | Absolutne vrednosti (cm) | | Indeksirane vrednosti (cm/m ²) | |
|------------------------|--------------------------|-----------|--|-----------|
| | moški | ženske | moški | ženske |
| 1 - aortni obroč | 2,6 ± 0,3 | 2,3 ± 0,2 | 1,3 ± 0,1 | 1,3 ± 0,1 |
| 2 - bulbus aorte | 3,4 ± 0,3 | 3,0 ± 0,3 | 1,7 ± 0,2 | 1,8 ± 0,2 |
| 3 - sinotubularni stik | 2,9 ± 0,3 | 2,6 ± 0,3 | 1,5 ± 0,2 | 1,5 ± 0,2 |
| 4 - tubularni del | 3,0 ± 0,4 | 2,7 ± 0,4 | 1,5 ± 0,2 | 1,6 ± 0,3 |

Širino bulbusa aorte primerjamo z vrednostmi v nomogramih. Razširitev je prisotna, če premer presega zgornjo mejo 95 % intervala zaupanja.



Normalni premeri preostalega dela aorte

| | |
|--------------------|----------|
| Aortni lok | 22-36 mm |
| Descendentna aorta | 20-30 mm |

Ateroskleroza

Aterom ali aterosklerotični plak opredelimo kot hiperehogeno nepravilno zadebelitev intime 2 mm ali več. Plak je *kompleksen*, če je debelejši od 4 mm, se boči v svetlico arterije, če so na njem gibljive komponente ali če je razjeden; v nasprotnem primeru je plak *enostaven*. Razvrstitev plakov je prikazana v tabeli.

| Stopnja | Opis |
|---------|---|
| 1 | brez zadebelitve intime |
| 2 | zadebelitev intime ≥ 2 mm brez nepravilnosti |
| 3 | sesilni aterom < 5 mm |
| 4 | sesilni aterom ≥ 5 mm |
| 5 | aterom z gibljivo komponento ali razjedo |

ZAKLOPKA

AORTNA ZAKLOPKA

AORTNA STENOZA

Aortna stenoza z visokim gradientom

| Merila | Aortna skleroza | Blaga stenoza | Zmerna stenoza | Huda stenoza |
|--|-----------------|---------------|----------------|--------------|
| Največja hitrost (m/s) | ≤2,5 | 2,6–2,9 | 3–4 | >4 |
| Srednji gradient (mmHg) | / | <20 | 20–39 | ≥40 |
| AVA (cm ²) | / | 1,5–2,5 | 1–1,4 | <1 |
| *AVA/BSA cm ² /m ² | / | >0,85 | 0,60–0,85 | <0,60 |
| DVI (razmerje VTI _{LVOT} /VTI _{AV}) | / | >0,50 | 0,25–0,50 | <0,25 |

*Indeksirano AVA obvezno uporabljamo, če je višina <135 cm, BSA <1,5 m², BMI <22.

Aortna stenoza z nizkim gradientom

| Merila | Klasična LF LG AS z znižanim iztisnim deležem | Paradoksna LF LG AS z ohranjenim iztisnim deležem |
|--------------------------|--|---|
| LVEF (%) | <50 | ≥50 |
| SVI (mL/m ²) | ≤35 | ≤35 |
| Največja hitrost (m/s) | <4 | <4 |
| Srednji gradient (mmHg) | <40 | <40 |
| AVA (cm ²) | <1,0 | <1,0 |
| Dodatne značilnosti | Odgovor na obremenitveno ehokardiografijo z dobutaminom | Izračun valvulo-arterijske impedance (Zva) |
| | Huda stenoza AVA ne glede na pretok ostane <1 cm ² največja hitrost se poveča ≥4 m/s srednji grad. se poveča >30–40 mmHg | Huda stenoza, znaki povečane poobremenitve LV Zva >4,5 mmHg x mL ⁻¹ x m ² |
| | Psevdo-huda stenoza AVA se ob normalizaciji pretoka poveča na >1 cm ² | Psevdo-huda stenoza, znaki intrinzične bolezni miokarda Zva <4,5 mmHg x mL ⁻¹ x m ² |

LF LG AS (angl. low flow low gradient aortic stenosis) – aortna stenoza z majhnim pretokom in nizkim gradientom

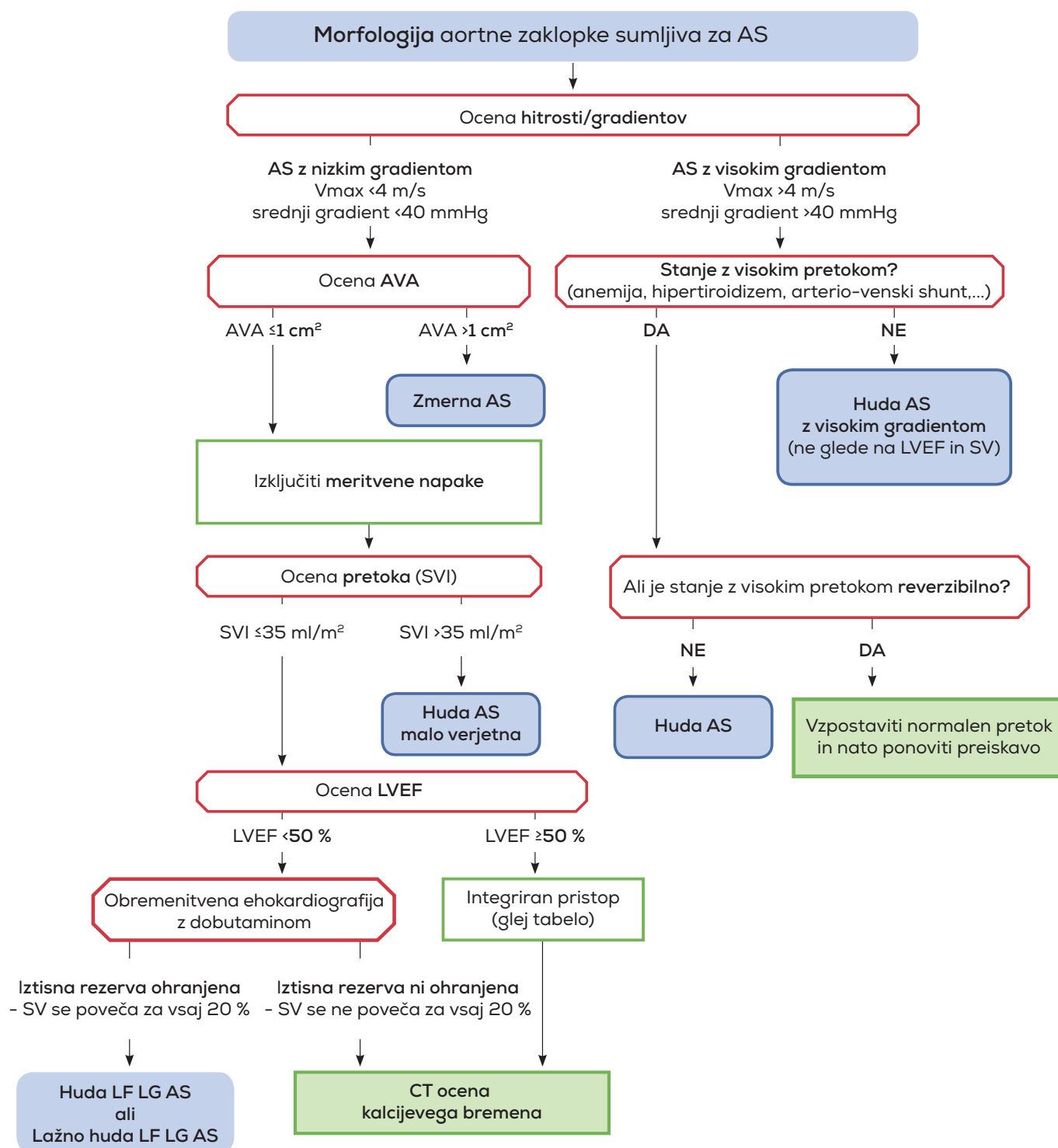
Opomnik

Zva (valvulo-arterijska impedance) = (SBP + srednji gradient skozi AV)/SVi

Bolniki z LF LG AS z ohranjenim iztisnim deležem imajo običajno povečano valvulo-arterijsko impedance (Zva >4,5 mmHg x mL⁻¹x m²). Votlina levega prekata je majhna, diastolična funkcija je pomembno motena, pogosto je prisotna AF. Izključiti pa je potrebno druge vzroke znižanega utripnega volumna, npr. hudo MR, hudo MS, hudo TR, oslabljeno funkcijo desnega prekata, konstriktivni perikarditis.

Kadar Zva ni povečana, je nizek pretok predvsem posledica intrinzične bolezni miokarda (npr. napredovale ishemične bolezni srca) in manj posledica povečane poobremenitve levega prekata.

Stopenjski pristop k opredelitvi stopnje aortne stenoze



Merila, ki povečajo verjetnost, da gre pri bolnikih z ohranjenim iztisnim deležem in z AVA <1,0 cm² in srednjim gradientom <40 mmHg za hudo AS

| | |
|----------------------|---|
| Klinična merila | tipični simptomi brez drugega vzroka starejši bolnik (>70 let) |
| Kvalitativna merila | hipertrofija LV (preveriti je potrebno anamnezo AH) zmanjšana longitudinalna funkcija LV brez druge razlage |
| Kvantitativna merila | srednji gradient skozi AV 30–40 mmHg AVA ≤0,85 cm ² |
| | nizek pretok (SVI <35 mL/m ²), potrjen tudi z drugimi načini poleg dopplerskega (meritev LVOT s 3D, CT ali MR; invazivna meritev) kalcijsko breme (CT, Aga-T-stonove enote): huda AS zelo verjetna pri ≥3000 za moške in ≥1600 za ženske, huda AS verjetna pri ≥2000 za moške in ≥1300 za ženske, huda AS malo verjetna pri <1600 za moške in <800 za ženske. |

Opomnik

Premer LVOT merimo v parasternalnem vzdolžnem preseku, v povečanem prikazu, v sredini sistole, od endokarda septuma do sprednjega lističa mitralne zaklopke (notranji rob do notranji rob), vzporedno z ravnilo aortne zaklopke. Meritev opravimo na področju obroča do največ 1 cm od aortne zaklopke.



Preiskavo opravimo ob urejenem krvnem tlaku (sistolični tlak <150 mmHg). Pri atrijski fibrilaciji podamo povprečno meritev petih srčnih ciklov. V primeru $V_{maxLVOT} > 1,5 \text{ m/s}$ uporabimo za izračun največjega gradienca skozi aortno zaklopko formulo: $PG_{max} = 4 \times (V_{maxAZ}^2 - V_{maxLVOT}^2)$. Za natančno oceno SV primerjamo vrednosti, pridobljene iz doplerskih meritev v LVOT, in 2D/3D volumnov LV. Meritve iz 2D in 3D volumnov precenijo SV pri več kot zmerni MR.

AORTNA REGURGITACIJA

Ocena stopnje aortne regurgitacije

| Merila | Blaga | Zmerna | Huda |
|---|------------------------------------|---------------------------|---|
| Kvalitativna | | | |
| Morfologija AV | normalna/spremenjena | normalna/spremenjena | spremenjena/opletajoča ('flail')/velik koaptacijski defekt |
| Širina barvnega dopplerskega curka ^a | majhna pri centralni regurgitaciji | različna | velika pri centralni regurgitaciji, različna pri ekscentrični |
| Gostota reg. curka (CW) | šibek/nepopoln prikaz | jasen/gost prikaz | jasen/gost prikaz |
| Diastolični retrogradni tok krvi v descendantni aorti | kratek, protodiastolični | različen | holodiastolični (hitrost ob koncu diastole >20 cm/s) |
| Semikvantitativna | | | |
| Širina VC (mm) | <3 | 3–6 | >6 |
| PHT (ms) ^b | >500 | 200–500 | <200 |
| Kvantitativna | | | |
| EROA (mm ²) | <10 | 10–19; 20–29 ^c | >30 |
| RegV (mL) | <30 | 30–44; 45–59 ^c | >60 |

^a Pri Nyquistovi meji 50–60 cm/s.

^b S PHT lahko nepravilno ocenimo stopnjo AR (glej opomnik).

^c Zmerno AR dodatno delimo na blago do zmerno in zmerno do hudo.

^d Velikost levega prekata ob blagi AR in hudi akutni AR je ponavadi normalna, pri hudi kronični AR pa je levi prekat povečan.

Opomnik

Razmerje širina curka AR in širina LVOT >65 % kaže na hudo AR (parasternalni vzdolžni presek).

PHT je skrajšan (precenimo napako) pri povišanem končnem diastoličnem tlaku v LV (npr. zmanjšana podajnost LV), zdravljenju z vazodilatatorji, pri razširjeni in podajni aorti; lažno je podaljšan (podcenimo napako) pri kronični AR.

Merila za popravo aortne zaklopke: primerna sta tip 1 in tip 2 po El Khouryjevi klasifikaciji: normalno gibljivi lističi, razširjen aortni koren, prolaps enega ali več lističev, fenestriran prosti rob lističa. Močno spremenjena, kalcinirana ali deformirana zaklopka ni primerna za popravo.

MITRALNA ZAKLOPKA

MITRALNA STENOZA

Ocena stopnje mitralne stenoze

| Merila | Blaga | Zmerna | Huda |
|-------------------------|---------|---------|------|
| MVA (cm ²) | 1,5–2,5 | 1,1–1,5 | ≤1,0 |
| Srednji gradient (mmHg) | <5 | 5–10 | >10 |

Opomnik

V izvidu vedno navedemo srčno frekvenco in krvni tlak, pri katerih so bile opravljene meritve.

Pri atrijski fibrilaciji podamo povprečje meritve petih srčnih ciklov.

Ocena MVA:

- planimetrična: v PSAX (neodvisna od hemodinamičnih razmer, omejitev je preglednost; bolj zanesljiva je 3D ocena),
- iz PHT: MVA = 220/PHT (PHT lažno ↓ pri AR, ↑ pri višjih polnilnih tlakih LV in LA),
- po kontinuitetni enačbi: slaba korelacija pri MR, AR in AF,
- metoda PISA: tehnično zahtevna.

Kadar nismo prepričani o pomembnosti stenoze, uporabimo obremenitveno ehokardiografijo za oceno porasta gradienata med obremenitvijo in porasta pljučne hipertenzije – pri pomembni stenozi poraste sPAP na več kot 60 mmHg.

Wilkinsov točkovnik anatomskih sprememb mitralne zaklopke za oceno izida perkutane mitralne komisurotomije (PMC).

| Točke | Gibljivost (predvsem sprednjega lističa) | Subvalvularne zadebelitve | Zadebelitve lističev | Kalcinacije |
|-------|--|---|---|--|
| 1 | močno gibljiv listič, omejeno je samo gibanje vrha lističa | drobne zadebelitve tik pod lističi | skoraj normalna debelina lističev (4–5 mm) | eno hiperehogeno področje |
| 2 | ohranjena gibljivost bazalnega in srednjega dela lističa | zadebelitve zajemajo eno tretjino dolžine hord | normalna debelina sredine lističa, zadebelitev robov (5–8 mm) | posamezna hiperehogena področja, omejena na robe lističa |
| 3 | ohranjena gibljivost le basalnega dela lističa | zadebelitve se širijo na distalno tretjino hord | zadebelitev celotnega lističa (5–8 mm) | hiperehogena področja se širijo v srednji del lističa |
| 4 | negibljiv ali minimalno gibljiv listič | obsežne zadebelitve in skrajšanja vseh hord | znatna zadebelitev celotnega lističa (>8–10 mm) | hiperehogena področja v večjem delu lističa |

Opomnik

>8 točk – zaklopka ni primerna za PMC.

MITRALNA REGURGITACIJA

Klasifikacija okvare mitralne zaklopke po Carpentieru

| | | |
|-------|--------------------------------|---|
| Tip 1 | normalna gibljivost lističev | razširjen obroč MV, predrtje, poka ('cleft') |
| Tip 2 | prekomerna gibljivost lističev | prolaps, opletajoč listič ('flail'), podaljšanje hord, raztrganje papilarne mišice |
| Tip 3 | omejena gibljivost lističev | tip 3a v sistoli in diastoli (revmatična okvara) tip 3b v sistoli (zaradi preoblikovanja LV) |

Ocena stopnje organske mitralne regurgitacije

| Merila | Blaga | Zmerna | Huda |
|--------------------------------------|-----------------------------------|--------------------------------|---|
| Kvalitativna | | | |
| Morfologija MV | normalna/spremenjena | normalna/spremenjena | opletajoč listič ('flail'), raztrganje papilarnih mišic |
| Velikost barvnega dopplerskega curka | majhen, centralen | različno velik | zelo velik centralen ali ekscentričen ob steni LA |
| PISA ^a | brez ali majhna | zmera | velika |
| Gostota in oblika reg. curka (CW) | nepopoln/šibek prikaz/paraboličen | jasen/gost prikaz /paraboličen | jasen/gost prikaz /trikoten |
| Semikvantitativna^a | | | |
| Širina VC (mm) | <3 | vmesna | ≥7 (>8 v dveh ravninah ^b) |
| Tok krvi skozi pljučne vene | tok pretežno v sistoli | dušen tok v sistoli | obrnjen tok v sistoli ^c |
| Tok krvi skozi mitralno zaklopko | prevladuje val A ^d | različno | prevladuje val E (>1,5 m/s) ^e |
| VTI _{MV} /VTI _{AV} | <1 | različno | >1,4 |
| Kvantitativna^a | | | |
| EROA (mm ²) | <20 | 20–29; 30–39 ^f | >40 |
| RegV (ml) | <30 | 30–44; 45–59 ^f | >60 |

+ velikost levega prekata in levega preddvora ter sistolični tlak v pljučni arteriji^g

^aPri Nyquistovi meji 20–40 cm/s.

^bPovprečna vrednost meritev iz apikalnega preseka štirih votlin in apikalnega preseka dveh votlin.

^cČe ni drugih razlogov za zmanjšanje toka v sistoli (atrijska fibrilacija, povečan tlak v levem preddvoru).

^dPonavadi po 50. letu starosti.

^eV odsotnosti drugih razlogov za povečanje tlaka v levem preddvoru in mitralne stenoze.

^fZmerno MR delimo na blago do zmerno in zmerno do hudo.

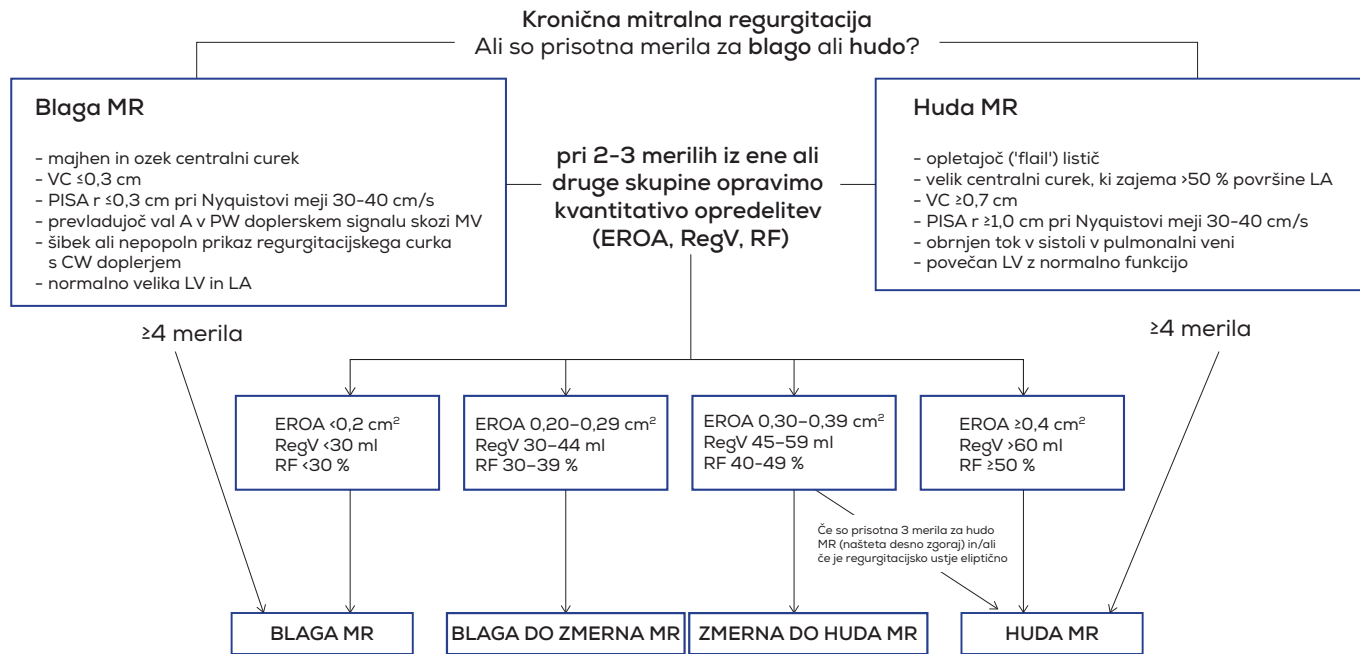
^gV odsotnosti drugih razlogov so pri blagi mitralni regurgitaciji velikost levega prekata, levega preddvora in sistolični tlak v pljučni arteriji normalni. Pri akutni hudi mitralni regurgitaciji je sistolični tlak v pljučni arteriji povečan, levi prekat pa normalno velik. Pri kronični hudi mitralni regurgitaciji je levi prekat povečan.

Opomnik

Merilo za pomembnost ishemične mitralne regurgitacije: EROA >20 mm², RegV >30 ml.

V primeru neskladanja med stopnjo MR in simptomi je smiselna preiskava obremenitvena ehokardiografija; porast sPAP nad 60 mmHg med obremenitvijo je merilo za pomembno MR.

Algoritem za ehokardiografsko oceno kronične mitralne regurgitacije (povzeto po ASE).



Opomnik

Algoritem velja le za kronično MR.

EROA velja le za holosistolično MR.

Pri bolnikih, ki imajo stanja z nizkim pretokom, je RegV lahko manjši.

Napovedniki neuspeha poprave mitralne zaklopke pri funkcijski mitralni regurgitaciji

Spremembe na mitralni zaklopki:

- stična (koaptacijska) globina (= višina bočenja oz. 'tentinga') $\geq 1 \text{ cm}$,
- površina bočenja ('tentinga') $>2,5-3 \text{ cm}^2$,
- kompleksni regurgitacijski curki (centralni ali posteromedialni),
- posterolateralni kot $>45^\circ$.

Lokalno preoblikovanje levega prekata:

- razdalja med papilarnima mišicama $>20 \text{ mm}$,
- razdalja med posteromedialno papilarno mišico in sprednjim delom mitralnega obroča $>40 \text{ mm}$,
- motnje krčenja stranske stene.

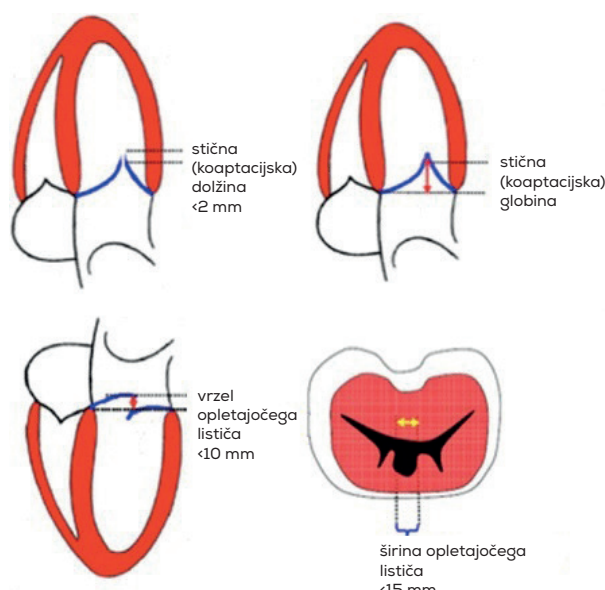
Globalno preoblikovanje levega prekata:

- EDD $>65 \text{ mm}$, ESD $>51 \text{ mm}$, ESV $>140 \text{ mL}$, indeks sferičnosti $>0,7$ (majhna verjetnost obratnega preoblikovanja LV in slaba dolgoročna prognoza).

Ehokardiografska merila, ki napovedujejo uspešno zdravljenje z mitralno sponko ('MitraClip')

| Ehokardiografska merila | Idealna | Manj primerna | Relativno kontraindicirana |
|--|---|--|--|
| Mesto patologije mitralne zaklopke | srednja naborka (A2, P2) | lateralna naborka (A1, P1) ali medialna naborka (A3, P3) | telo lističa (predrtje, poka – 'cleft') |
| Kalcinacije | odsotne | blage, izven prijemališča sponke obsežne kalcinacije obroča | obsežne kalcinacije prijemališča sponke |
| MVA | $\geq 4 \text{ cm}^2$ | 3,5–4 cm^2 (sprejemljivo pri bolnikih, ki imajo nizko BSA) | $<4 \text{ cm}^2$ |
| Srednji gradient | | | $>5 \text{ mmHg}$, še posebej pri obsežnih kalcinacijah obroča |
| Dolžina gibljivega dela lističa | $>10 \text{ mm}$ | 7–10 mm | $<7 \text{ mm}$ |
| Sekundarna (funkcijska) mitralna regurgitacija | normalna debelina in gibljivost lističev stična (koaptacijska) globina $<11 \text{ mm}$ stična (koaptacijska) dolžina $<2 \text{ mm}$ | | |
| Primarna (organska) mitralna regurgitacija | širina opletajočega lističa $<15 \text{ mm}$ vrzel opletajočega lističa $<10 \text{ mm}$ | širina opletajočega lističa $>15 \text{ mm}$ z veliko MVA in možnostjo >1 sponke | tip 3a* (revmatična okvara in restrikcija) endokarditis miksomatozno spremenjena zaklopka ('Mb. Barlow') s pomembno MR v več segmentih |
| Druge patologije | | stanje po popravi MV z zadostno MVA in dolžino lističev HOCM | |

*Razdelitev mitralne regurgitacije po Carpentier-ju; HOCM (angl. *hypertrophic obstructive cardiomyopathy*) = hipertrofična obstruktivna kardiomiopatija.



TRIKUSPIDALNA ZAKLOPKA

TRIKUSPIDALNA STENOZA

Merila, ki nakazujejo hemodinamično pomembno trikuspidalno stenozo

| Merila | |
|--|-----------------|
| Srednji gradient (mmHg) | ≥5 |
| VTI na TV (CW) (cm) | >60 |
| PHT (ms) | ≥190 |
| TVA – kontinuitetna enačba ^a (cm ²) | ≤1 |
| Dodatni podatki | |
| Desni preddvor | ≥zmerno povečan |
| Spodnja votla vena | razširjena |

^a SV ocenimo v iztočnem traktu levega ali desnega prekata. V primeru več kot blage trikuspidalne regurgitacije površino praviloma podcenimo.

Opomnik

Zelo redka okvara zaklopke, zato nobena od metod izračuna ni preverjena v raziskavah.

Meritve opravljamo s CW dopplerjem pri srčni frekvenci pod 100/min (najbolje med 70 in 80/min).

Pri atrijski fibrilaciji podamo povprečje meritev petih srčnih ciklov.

Zaradi respiratornih nihanj merimo povprečje ob vdihu in izdihu.

TVA iz PHT = 190/PHT

S 3D izmerjena površina TZ in meritev EROA s 3D sta dodatni metodi za oceno TS

TRIKUSPIDALNA REGURGITACIJA

Ocena stopnje trikuspidalne regurgitacije

| Merila | Blaga | Zmerna | Huda |
|--|--------------------------------------|----------------------------------|---|
| Kvalitativna | | | |
| Morfologija TV | normalna | normalna ali spremenjena | običajno spremenjena; motena koaptacija, opletajoča ('flail') |
| Velikost barvnega doplerskega curka ^a | majhen, centralen | različno velik | zelo velik centralen ali ekscentričen ob steni RA |
| Gostota in oblika reg. curka (CW) | šibek/nepopoln prikaz paraboličen | jasen/gost prikaz paraboličen | jasen/gost prikaz trikotna oblika z zgodnjim vrhom |
| Semikvantitativna | | | |
| Širina VC (mm) ^a | ni opredeljena | <7 | ≥7 |
| PISA (mm) ^b | ≤5 | 6–9 | >9 |
| Tok skozi TV (m/s) | normalen | normalen | dominanten val E (≥1) ^d |
| Tok v jetrni veni ^c | tok pretežno v sistoli | dušen tok v sistoli | obrnjen tok v sistoli |
| Kvantitativna | | | |
| EROA (mm ²) | ni opredeljena | ni opredeljena | ≥40 |
| RegV (ml) | ni opredeljen | ni opredeljen | ≥45 |

+ velikost desnega preddvora, desnega prekata, spodnje votle vene;

širina obroča trikuspidalne zaklopke >40 mm ali ≥21 mm/m², ki je merilo za odločitev o popravi TV ob operaciji AV in MV.

^a Pri Nyquistovi meji 50–60 cm/s.

^b Pri Nyquistovi meji 28 cm/s.

^c Če ni drugih razlogov za zmanjšanje toka v sistoli (atrijska fibrilacija, povečan tlak v desnem preddvoru).

^d Če ni drugih razlogov za zvišan tlak v desnem preddvoru.

Če ni drugih razlogov, so velikosti RA, RV in VCI pri blagi TR običajno normalne. Pri akutni hudi TR je RV pogosto normalno velik. Pri kronični TR je RV povečan. (Še) nepomembno povečane votline desnega srca (meritve iz A4CH): premer desnega prekata v srednjem delu ≤33 mm, RVEDA ≤28 cm², RVESA ≤16 cm², RVFAC >32 %, volumen RA ≤33 mL/m². Normalen je premer VCI do 2,1 cm.

PULMONALNA ZAKLOPKA

PULMONALNA STENOZA

Ocena stopnje pulmonalne stenoze

| Merila | Blaga | Zmerna | Huda |
|--------------------------|-------|--------|------|
| Največji gradient (mmHg) | <36 | 36–64 | >64 |
| Srednji gradient (mmHg) | <10 | 10–40 | >40 |
| Največja hitrost (m/s) | <3 | 3–4 | >4 |

PULMONALNA REGURGITACIJA

Ocena stopnje pulmonalne regurgitacije

| Merila | Blaga | Zmerna | Huda |
|--|---|----------------------------|--|
| Kvalitativna | | | |
| Morfologija PV | normalna | normalna/spremenjena | spremenjena |
| Širina in dolžina barvnega dopplerskega curka ^a | ozek, običajno <10 mm v dolžino, ozek začetni del | vmesno | širok, širok v začetnem delu, lahko kratkega trajanja |
| Regurgitacijski curek (CW) ^b | šibek/nepopoln prikaz počasna deceleracija | jasen/gost prikaz različno | jasen/gost prikaz strma deceleracija/zgodnja prekinitev diastoličnega toka |
| Razmerje SV v PA in SV v LVOT (PW) | normalno ali blago povečano | vmesno | močno povečano |
| Semikvantitativna | | | |
| Širina VC | ni opredeljena | ni opredeljena | ni opredeljena |
| Kvantitativna | | | |
| EROA (mm ²) | ni opredeljena | ni opredeljena | ni opredeljena |
| RegV (mL) | ni opredeljen | ni opredeljen | ni opredeljen |
| + velikost desnega prekata^c | | | |

^a Pri Nyquistovi meji 50–60 cm/s.

^b Hitra deceleracija ni specifična za hudo PR.

^c Če ni drugih razlogov, je velikost desnega prekata ob blagi PR ponavadi normalna, prav tako je ponavadi normalna pri hudi akutni PR. Pri hudi kronični PR je desni prekat povečan.

Opomnik

Na hudo pulmonalno regurgitacijo kaže:

- hitra izenačitev tlaka v pljučni arteriji in desnem prekatu, kar prikažemo s CW kot hitro zmanjšanje hitrosti regurgitacijskega toka krvi v diastoli (PHT <250 ms). Kratek PHT ni nujno znak hude PR, temveč je lahko posledica povečanja končnega diastoličnega tlaka v RV.
- diastolični obrat toka v pljučni arteriji,
- paradoksno gibanje medprekatnega pretina zaradi volumske obremenitve RV,
- povečanje RV, oslabljena funkcija RV.

Velikost RV: PR ni pomembna, če znaša RVID srednji ≤ 33 mm, RVEDA ≤ 28 cm², RVESA ≤ 16 cm², RVFAC $>32\%$.

| | | | |
|-----------------------------------|-------|------------|-----------|
| | 19 | 9.0± 2.0 | 1.5± 0.3 |
| Cryolife | 21 | 6.6± 2.9 | 1.7± 0.4 |
| <i>Stentless</i> | 23 | 6.0± 2.3 | 2.3± 0.2 |
| | 25 | 6.1± 2.6 | 2.6± 0.2 |
| | 27 | 4.0± 2.4 | 2.8± 0.3 |
| Edwards Duromedics | 21 | 39.0± 13 | |
| <i>Bileaflet</i> | 23 | 32.0± 8.0 | |
| | 25 | 26.0± 10.0 | |
| | 27 | 24.0± 10.0 | |
| Edwards Mira | 19 | 18.2± 5.3 | 1.2± 0.4 |
| <i>Bileaflet</i> | 21 | 13.3± 4.3 | 1.6± 0.4 |
| | 23 | 14.7± 2.8 | 1.6± 0.6 |
| | 25 | 13.1± 3.8 | 1.9 |
| Hancock | 21 | 18.0± 6.0 | 12.0± 2.0 |
| <i>Stented porcine</i> | 23 | 16.0± 2.0 | 11.0± 2.0 |
| | 25 | 15.0± 3.0 | 10.0± 3.0 |
| Hancock II | 21 | 14.8± 4.1 | 1.3± 0.4 |
| <i>Stented porcine</i> | 23 | 34.0± 13.0 | 16.6± 8.5 |
| | 25 | 22.0± 5.3 | 10.8± 2.8 |
| | 29 | 16.2± 1.5 | 8.2± 1.7 |
| Homograft | 17-19 | 9.7± 4.2 | 4.2± 1.8 |
| <i>Homograft valves</i> | 19-21 | | 5.4± 0.9 |
| | 20-21 | 7.9± 4.0 | 3.6± 2.0 |
| | 20-22 | 7.2± 3.0 | 3.5± 1.5 |
| Intact | 22 | 1.7± 0.3 | 5.8± 3.2 |
| <i>Stented porcine</i> | 22-23 | 5.6± 3.1 | 2.6± 1.4 |
| | 22-24 | | 5.6± 1.7 |
| | 24-27 | 6.2± 2.6 | 2.8± 1.1 |
| | 26 | 1.4± 0.6 | 6.8± 2.9 |
| | 25-28 | | 6.2± 2.5 |
| Intact | 19 | 40.4± 15.4 | 24.5± 9.3 |
| <i>Stented porcine</i> | 21 | 40.9± 15.6 | 19.6± 8.1 |
| | 23 | 32.7± 9.6 | 19.0± 6.1 |
| | 25 | 29.7± 15.0 | 17.7± 7.9 |
| | 27 | 25.0± 7.6 | 15.0± 4.5 |
| Ionescu-Shiley | 17 | 23.8± 3.4 | 0.9± 0.1 |
| <i>Stented bovine pericardial</i> | 19 | 19.7± 5.9 | 1.1± 0.1 |
| | 21 | 26.6± 9.0 | |
| | 23 | 15.6± 4.4 | |
| Labcor Santiago | 19 | 18.6± 5.0 | 11.8± 3.3 |
| <i>Stented bovine pericardial</i> | 21 | 17.5± 6.6 | 8.2± 4.5 |
| | 23 | 14.8± 5.2 | 7.8± 2.9 |
| | 25 | 12.3± 3.4 | 6.8± 2.0 |
| Labcor Synergy | 21 | 24.3± 8.1 | 13.3± 4.2 |
| <i>Stented porcine</i> | 23 | 27.3± 13.7 | 15.3± 6.9 |
| | 25 | 22.5± 11.9 | 13.2± 6.4 |
| | 27 | 17.8± 7.0 | 10.6± 4.6 |
| MCRI On-X | 19 | 21.3± 10.8 | 11.8± 3.4 |
| <i>Bileaflet</i> | 21 | 16.4± 5.9 | 9.9± 3.6 |
| | 23 | 15.9± 6.4 | 8.6± 3.4 |
| | 25 | 16.5± 10.2 | 6.9± 4.3 |
| Medtronic Advantage | 23 | 10.4± 3.1 | 2.2± 0.3 |
| <i>Bileaflet</i> | 25 | 9.0± 3.7 | 2.8± 0.6 |
| | 27 | 7.6± 3.6 | 3.3± 0.7 |
| | 29 | 6.1± 3.8 | 3.9± 0.7 |
| Medtronic Freestyle | 19 | 13.0± 3.9 | |
| <i>Stentless</i> | 21 | 9.1± 5.1 | 1.4± 0.3 |
| | 23 | 11.0± 4.0 | 8.1± 4.6 |
| | 25 | 5.3± 3.1 | 1.7± 0.5 |
| | 27 | 4.6± 3.1 | 2.1± 0.5 |
| | | | 2.5± 0.1 |

| | | | | | | | |
|---|--------|----------------|-------|------------------|------|-----------------|--------|
| CryoLife On-X | 19 | e: 22 | l: 16 | e: 12 | l: 9 | e: 1.5 | l: 1.6 |
| <i>Mechanic aortic valve</i> | 21 | e: 16 | l: 15 | e: 9 | l: 8 | e: 1.8 | l: 1.8 |
| e = < 1 year post operation | 23 | e: 15 | l: 13 | e: 8 | l: 6 | e: 2.1 | l: 2.3 |
| l => 1 year post operation | 25 | e: 14 | l: 9 | e: 8 | l: 4 | e: 2.5 | l: 2.7 |
| | 27/29 | e: 13 | l: 12 | e: 7 | l: 6 | e: 2.8 | l: 2.8 |
| TRIFECTA (GT) | 19 | 15.3 | | 10.7 | | 1.41 | |
| | 21 | 11.6 | | 8.1 | | 1.63 | |
| | 23 | 10 | | 7.2 | | 1.81 | |
| | 25 | 8.9 | | 6.2 | | 2.02 | |
| | 27 | 6.8 | | 4.8 | | 2.20 | |
| Carpentier - Edwards MAGNA Ease | 19 | | | 15.2 | | 1.35 | |
| <i>Pericardial aortic bioprosthetic</i> | 21 | | | 10.4 | | 1.75 | |
| | 23 | | | 10.3 | | 2.19 | |
| | 25 | | | 7.8 | | 2.35 | |
| | 27 | | | 10.6 | | 2.03 | |
| CROWN / MITROFLOW PRT | 19 | 18.3 | | 8.6 | | 1.4 | |
| <i>Stented bovine pericardial</i> | 21 | 23.8 | | 10 | | 1.4 | |
| | 23 | 20 | | 8.5 | | 1.8 | |
| | 25 | 15.1 | | 7.5 | | 1.8 | |
| FREEDOM SOLO | 19 | 18.7 | | 9.6 | | 1.29 | |
| <i>Unstented bovine pericardial</i> | 21 | 17 | | 8.7 | | 1.75 | |
| | 23 | 13.8 | | 7.6 | | 1.8 | |
| | 25 | 10.8 | | 5.7 | | 2.03 | |
| | 27 | 9.7 | | 5.2 | | 1.99 | |
| SOLO SMART | 19 | 18.7 | | 9.6 | | 1.29 | |
| <i>Unstented bovine pericardial</i> | 21 | 17 | | 8.7 | | 1.75 | |
| | 23 | 13.8 | | 7.6 | | 1.8 | |
| | 25 | 10.8 | | 5.7 | | 2.03 | |
| | 27 | 9.7 | | 5.2 | | 1.99 | |
| PERCEVAL | 21 | 10.2 ± 5.2 | | 20.7 ± 9.7 | | 1.47 ± 0.37 | |
| <i>Sutureless bovine pericardial</i> | 23 | 8.8 ± 4.9 | | 17.6 ± 7.8 | | 1.56 ± 0.30 | |
| | 25 | 8.2 ± 3.7 | | 15.8 ± 6.3 | | 1.57 ± 0.31 | |
| Edwards INTUITY | 19-27* | | | $10.7 \pm 4.2^*$ | | $1.7 \pm 0.2^*$ | |
| <i>Sutureless pericardial valve</i> | | | | | | | |

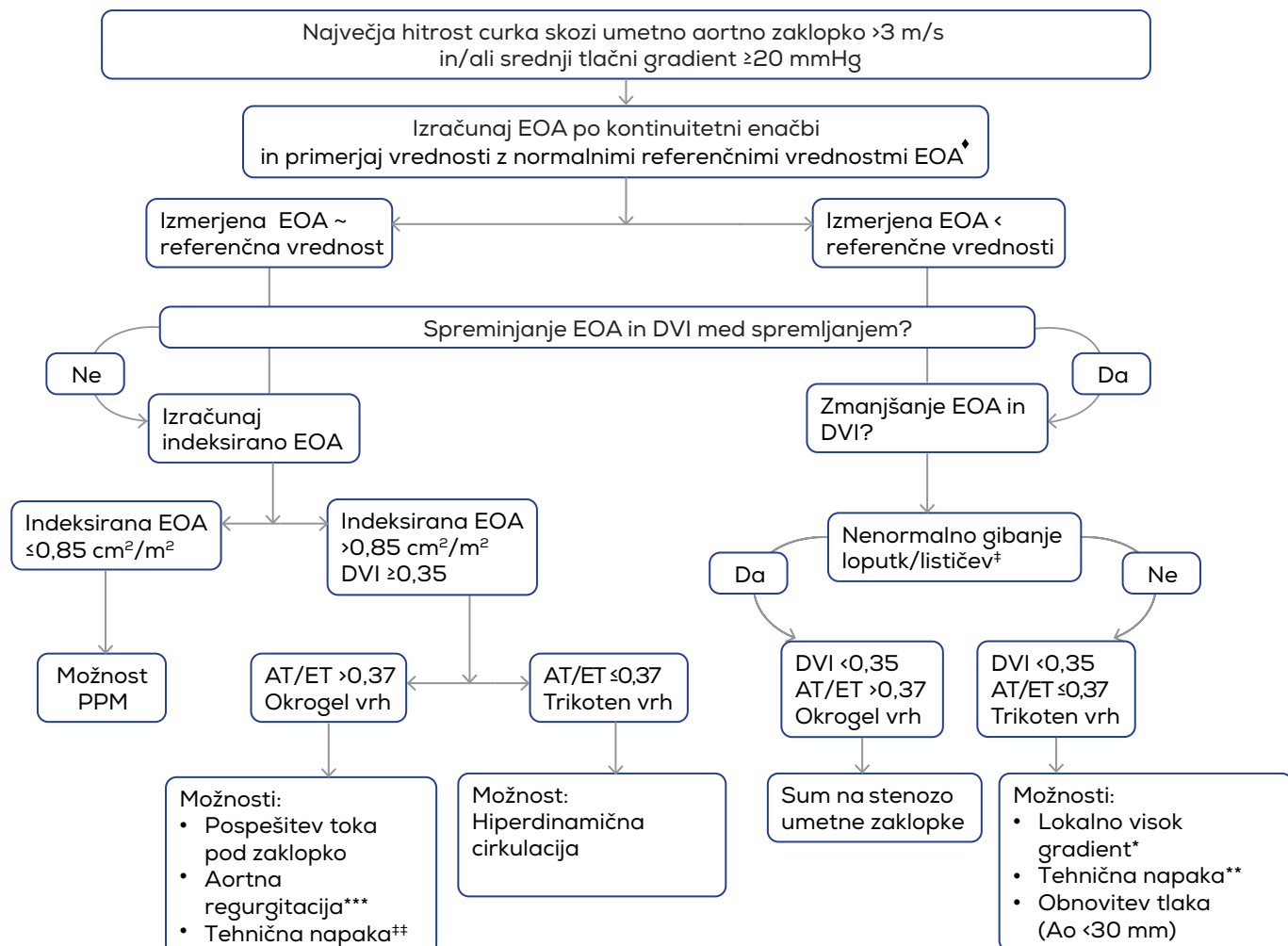
*dostopni so le podatki za vse velikosti skupaj

Normalna dopplerska merila za umetne perkutane aortne zaklopke (podatki so pridobljeni ob odpustu ali po 30. dneh od vstavitve zaklopke, če ni drugače opredeljeno).

| zaklopka | čas po vstavitevi zaklopke | velikost (mm) | Peak gradient (mmHg) | Mean gradient (mmHg) | EOA (cm²) |
|------------------------------------|-----------------------------------|----------------------|-----------------------------|-----------------------------|-----------------------------|
| SAPIEN XT <i>(Edwards)</i> | 1 leto | vse velikosti | 18,64 ± 7,46 | 9,85 ± 4,19 | 1,68 ± 0,41 |
| | | 23 | 19,70 ± 6,5 | 10,36 ± 4,48 | 1,48 ± 0,38 |
| | | 26 | | 8,51 ± 5,33 | 1,86 ± 0,56 |
| | | 29 | 15,40 ± 6,70 | 9,35 ± 4,84 | 2,24 ± 0,79 |
| SAPIEN 3 <i>(Edwards)</i> | 1 leto | vse velikosti | 19,78 ± 7,95 | 10,36 ± 4,77 | 1,85 ± 0,6 |
| | | vse velikosti | 23,13 ± 5,89 | 11,57 ± 4,79 | 1,67 ± 0,40 |
| | | 23 | | 13,00 ± 5,40 | 1,50 ± 0,30 |
| | | 26 | | 9,55 ± 3,60 | 1,84 ± 0,32 |
| CoreValve <i>(Medtronic)</i> | 1 leto | 29 | | 9,20 ± 3,10 | 1,90 ± 0,40 |
| | | vse velikosti | 21,00 ± 9,00 | 11,30 ± 5,00 | 1,67 ± 0,38 |
| | | vse velikosti | 18,26 ± 7,44 | 9,43 ± 4,52 | 1,70 ± 0,77 |
| | | 26 | 13,4 ± 5,1 | 7,80 ± 3,00 | 1,83 ± 0,57 |
| Evolut™ R <i>(Medtronic)</i> | 3 mesece | 29 | 14,60 ± 6,60 | 8,50 ± 3,70 | 2,24 ± 0,79 |
| | | vse velikosti | 17,07 ± 7,93 | 9,76 ± 4,63 | 1,72 ± 0,88 |
| | | vse velikosti | | 7,70 ± 4,10 | |
| | | vse velikosti | | 9,10 ± 3,60 | 2,00 ± 0,40 |
| Portico™ <i>(St. Jude Medical)</i> | 1 leto | vse velikosti | 18,6 ± 8,90 | 10,08 ± 2,63 | 1,38 ± 0,27 |
| | | vse velikosti | | 13,60 ± 8,40 | 1,27 ± 0,31 |

| | | | | | |
|--|----------------------------------|---|---|---|---|
| Ionescu-Shiley low profile <i>Stented bioprosthesis</i> | 29 31 | 3.31 ± 0.96 2.74 ± 0.37 | 1.36 ± 0.25 1.33 ± 0.14 | 80 ± 30 79 ± 15 | |
| Labcor-Santiago pericardial <i>Stented bioprosthesis</i> | 25 27 29 | 8.7 5.6 ± 2.3 6.2 ± 2.1 | 4.5 2.8 ± 1.5 3 ± 1.3 | 97 85 ± 18 80 ± 34 | 2.2 2.12 ± 0.48 2.11 ± 0.73 |
| Lillehei- Kaster <i>Tilting disc</i> | 18 20 22 25 | | 1.7 1.7 1.56 ± 0.09 1.38 ± 0.27 | 140 67 94 ± 22 124 ± 46 | |
| Medtronic- Hall <i>Tilting disc</i> | 27 29 31 | | 1.4 1.57 ± 0.1 1.45 ± 0.12 | 78 69 ± 15 77 ± 17 | |
| Medtronic Intact Porcine <i>Stented bioprosthesis</i> | 29 31 33 35 | 3.5 ± 0.51 4.2 ± 1.44 4 ± 1.3 3.2 ± 1.77 | 1.6 ± 0.22 1.6 ± 0.26 1.4 ± 0.24 1.3 ± 0.5 | | |
| Mitroflow <i>Stented bioprosthesis</i> | 25 27 29 31 | 6.9 3.07 ± 0.91 3.5 ± 1.65 3.85 ± 0.81 | 2.0 1.5 1.43 ± 0.29 1.32 ± 0.26 | 90 90 ± 20 102 ± 21 91 ± 22 | |
| Omnarbon <i>Tilting disc</i> | 23 25 27 29 31 33 | 8.0 6.05 ± 1.81 4.89 ± 2.05 4.93 ± 2.16 4.18 ± 1.4 4 ± 2 | 1.77 ± 0.24 1.63 ± 0.36 1.56 ± 0.27 1.3 ± 0.23 | 102 ± 16 105 ± 33 120 ± 40 134 ± 31 | |
| On-X <i>Bileaflet</i> | 25 27-29 31-33 | 11.5 ± 3.2 10.3 ± 4.5 9.8 ± 3.8 | 5.3 ± 2.1 4.5 ± 1.6 4.8 ± 2.4 | | 1.9 ± 1.1 2.2 ± 0.5 2.5 ± 1.1 |
| Sorin Allcarbon <i>Tilting disc</i> | 25 27 29 31 | 15 ± 3 13 ± 2 10 ± 2 9 ± 1 | 5 ± 1 4 ± 1 4 ± 1 4 ± 1 | 2 ± 0.2 1.8 ± 0.1 1.6 ± 0.2 1.6 ± 0.1 | 105 ± 29 89 ± 14 85 ± 23 88 ± 27 |
| Sorin Bicarbon <i>Bileaflet</i> | 25 27 29 31 | 15 ± 0.25 11 ± 2.75 12 ± 3 10 ± 1.5 | 4 ± 0.5 4 ± 0.5 4 ± 1.25 4 ± 1 | 1.95 ± 0.02 1.65 ± 0.21 1.73 ± 0.22 1.66 ± 0.11 | 70 ± 1 82 ± 20 80 ± 14 83 ± 14 |
| St Jude Medical <i>Bileaflet</i> | 23 25 27 29 31 | | 4.0 2.5 ± 1 5 ± 1.82 4.15 ± 1.8 4.46 ± 2.22 | 1.5 1.34 ± 1.12 1.61 ± 0.29 1.57 ± 0.29 1.59 ± 0.33 | 1.0 1.35 ± 0.17 1.67 ± 0.17 1.75 ± 0.24 74 ± 13 |
| Starr- Edwards <i>Caged ball</i> | 26 28 30 32 34 | | 10.0 7 ± 2.75 6.99 ± 2.5 5.08 ± 2.5 5.0 | | 1.4 1.9 ± 0.57 1.65 ± 0.4 1.98 ± 0.4 2.6 |
| Stentless quadrileaflet bovine pericardial <i>Stentless bioprosthesis</i> | 26 28 30 | | 2.2 ± 1.7 1.58 ± 0.25 1.42 ± 0.32 | 103 ± 31 1.66 ± 0.17 83 ± 19 | 1.7 1.7 ± 0.6 2.3 ± 0.4 |
| Wessex <i>Stented bioprosthesis</i> | 29 31 | | 3.69 ± 0.61 3.31 ± 0.83 | 1.41 ± 0.25 | 80 ± 21 |

Algoritem za razlago visokih gradientov na umetni aortni zaklopki



*Referenčno EOA odčitamo iz tabele (poznati moramo vrsto in velikost zaklopke).

**Samo zaklopke z dvema loputkama, majhna velikost umetne zaklopke (19–21 mm).

**Če podcenimo premer LVOT in/ali VTI v LVOT, dobimo premajhno EOA (lažna stenoza).

***Ponovno izračunaj EOA z uporabo utripnega volumina v RVOT.

†Če gibanje loputk/lističev ni jasno, uporabimo diaskopijo ali CT srca.

‡Če precenimo premer LVOT in/ali VTI v LVOT, dobimo preveliko EOA (zgrešimo stenozo). Preveliko EOA dobimo tudi, če podcenimo največji gradient.

Ultrazvočna ocena stopnje stenoze umetne aortne zaklopke

| | Normalna | Možna stenoza | Pomembna stenoza |
|--|----------------------|----------------------------------|--------------------------|
| Kvalitativna merila | | | |
| Oblika in gibanje zaklopke | normalno | pogosto spremenjeno ^a | spremenjeno ^a |
| Obris curka skozi zaklopko (CW) ^b | trikoten, zgoden vrh | trikoten/vmesen vrh | simetričen, okrogel |
| Semikvantitativna merila | | | |
| AT (ms) ^b | <80 | 80-100 | >100 |
| AT/ET | <0,32 | 0,32-0,37 | >0,37 |
| Kvantitativna merila | | | |
| <i>Odvisna od pretoka</i> | | | |
| Največja hitrost (m/s) ^{c,d} | <3 | 3-3,9 | ≥4 |
| Srednji gradient (mmHg) ^{c,d} | <20 | 20-34 | ≥35 |
| Porast srednjega gradiента med stresnim UZ srca (mmHg) | <10 | 10-19 | ≥20 |
| Porast srednjega gradienta med spremljanjem | <10 | 10-19 | ≥20 |
| <i>Neodvisna od pretoka</i> | | | |
| EOA (cm ²) ^e | >1,1 | 0,8-1,1 | <0,8 |
| Razmerje EOA proti referenčni vrednosti | referenca ± 1 SD | <referenca - 1 SD | <referenca - 1 SD |
| Razlika referenčne EOA in izmerjene EOA (cm ²) | <0,25 | 0,25-0,35 | >0,35 |
| DVI (VTI _{LVOT} /VTI _{AV}) ^e | ≥0,35 | 0,25-0,34 | <0,25 |

^aSpremenjene mehanične zaklopke: loputke so negibljive ali omejeno gibljive, prisotnost tromba ali panusa; spremenjene biološke zaklopke: zadebelitve/kalcinacije, prisotnost tromba ali panusa.
^bNa merila vpliva funkcija levega prekata in srčna frekvenco.
^cVelja pri normalnem/skoraj normalnem utripnem volumnu (SV 50–90 ml) in pretoku (200–300 ml/s).
^dNa merilo vpliva pretočno stanje (nizko ali visoko) in sočasna aortna regurgitacija.
^eMerilo je odvisno od premera LVOT.

Ultrazvočna ocena stopnje regurgitacije umetne aortne zaklopke (valvularne in paravalvularne)

| | Blaga | Zmerna | Huda |
|---|-------------------------|-----------------------------------|---|
| Kvalitativna merila | | | |
| Oblika in gibanje zaklopke | običajno normalna | običajno spremenjena ^a | običajno spremenjena ^a |
| Barvni dopplerski curek ^b | ozek | vmesen | širok (>65 % širine LVOT) |
| Gostota barvnega doplerskega curka ^b | šibek/nepopoln | vmesna/gost | gost |
| Diastolični obrat toka v descendantni aorti (PW) | kratek protodiastoličen | vmesen | holodiastoličen (končna diastolična hitrost >20 cm/s) |
| Semikvalitativna merila | | | |
| PHT (ms) ^c | >500 | 200-500 | <200 |
| Obodni delež paravalvularnega puščanja (%) ^d | <10 | 10-29 | ≥30 |
| Širina VC (mm) | <3 | 3-6 | >6 |
| Kvantitativna merila | | | |
| EROA (mm ²) | <10 | 10-29 | ≥30 |
| RegV (ml/min) ^e | <30 | 30-44; 45-59 ^f | ≥60 |
| RF (%) | <30 | 30-50 | >50 |
| Posredni znaki | | | |
| Velikost LV ^g | normalna | normalna/blago povečana | znatno povečana |

^aSpremenjene mehanične zaklopke: negibljive/omejeno gibljive loputke (valvularna regurgitacija), dehiscenca ali guganje (paravalvularna regurgitacija); spremenjene biološke zaklopke: zadebeljeni lističi/kalcinacije, prolaps (valvularna regurgitacija), dehiscenca ali guganje (paravalvularna regurgitacija).

^bVelja za centralne curke, manj zanesljiv pri ekscentričnih curkih.

^cVpliv podajnosti levega prekata.

^dVelja samo za paravalvularno regurgitacijo.

^eOcenimo jo z razliko med utripnim volumnom v LVOT in RVOT (če ni >blage pulmonalne regurgitacije) ali na mitralnem obroču (če ni >blage mitralne regurgitacije).

^fZmerno regurgitacijo lahko razdelimo v blago do zmerno in zmerno do hudo.

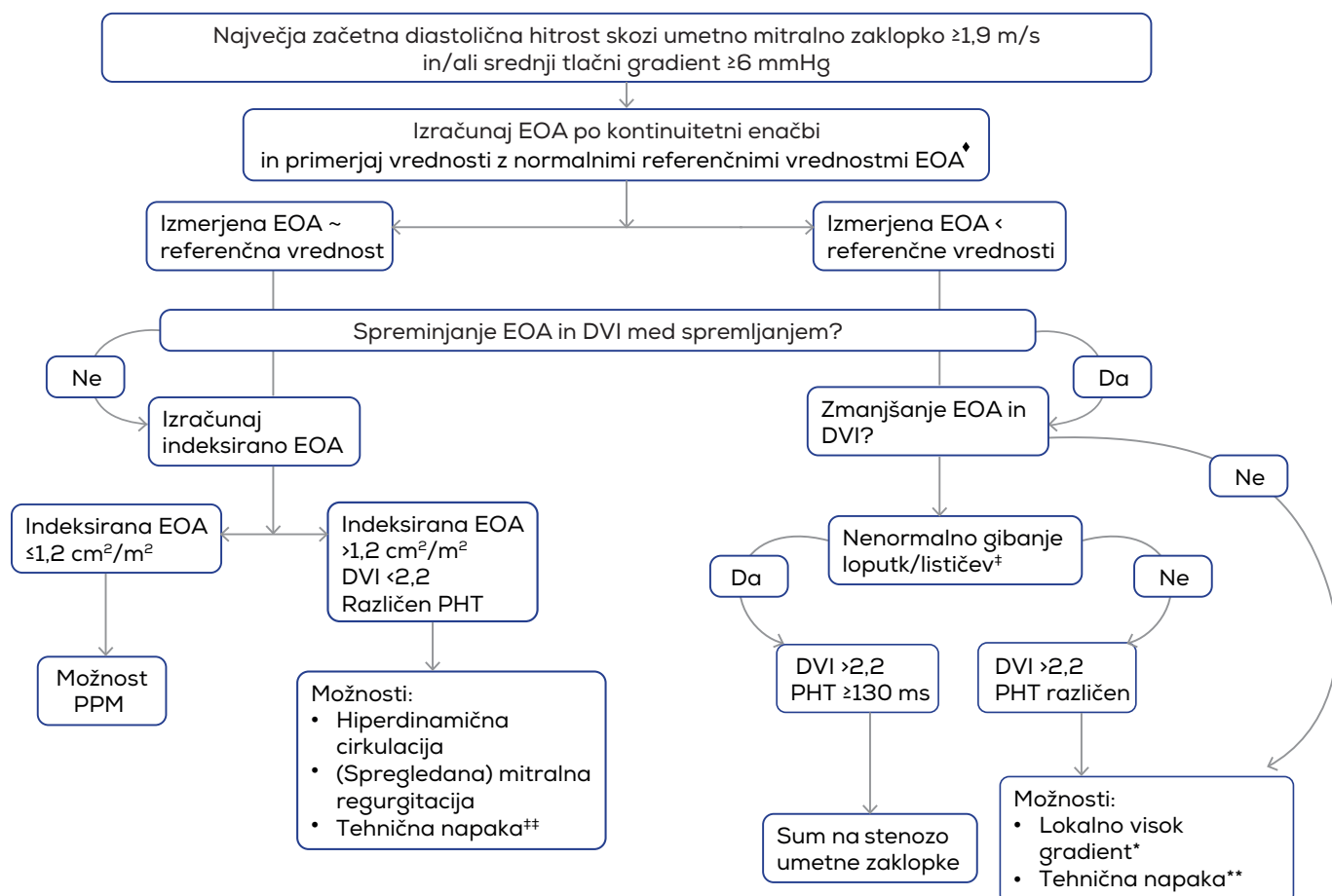
^gVelja za kronično, pozno pooperativno regurgitacijo umetne aortne zaklopke v odsotnosti drugih vzrokov.

Ultrazvočna ocena neujemanja bolnika in umetne zaklopke

| | Blago / klinično nepomembno | Zmerno | Hudo |
|--|-----------------------------|------------------|------------------|
| Aortna umetna zaklopka | | | |
| Indeksirana EOA (predvidena ali izmerjena) | | | |
| ITM <30 kg/m ² | >0,85 | 0,85–0,66 | ≤0,65 |
| ITM ≥30 kg/m ² | >0,70 | 0,70–0,56 | ≤0,55 |
| Razmerje izmerjene EOA proti referenčni vrednosti ^a | referenca ± 1SD | referenca ± 1SD | referenca ± 1SD |
| Razlika (referenčna EOA – izmerjena EOA) (cm ²) ^a | <0,25 | <0,25 | <0,25 |
| Oblika in gibanje zaklopke | normalno | normalno | normalno |
| Umetna mitralna zaklopka | | | |
| Indeksirana EOA (predvidena ali izmerjena) | | | |
| ITM <30 kg/m ² | >1,2 | 1,2–0,91 | ≤0,90 |
| ITM ≥30 kg/m ² | >1,0 | 1,0–0,76 | ≤0,75 |
| Izmerjena EOA vs. referenčni vrednosti ^a | referenca ± 1 SD | referenca ± 1 SD | referenca ± 1 SD |
| Razlika (referenčna EOA – izmerjena EOA) (cm ²) ^a | <0,25 | <0,25 | <0,25 |
| Oblika in gibanje zaklopke | normalno | normalno | normalno |

^a Velja pri normalnem/skoraj normalnem utriplnem volumnu (SV 50–90 ml).

Algoritem za razlago visokih gradientov skozi umetno mitralno zaklopko



*Referenčno EOA odčitamo iz tabele (poznati moramo vrsto in velikost zaklopke).

†Samo pri zaklopkah z dvema loputkama.

‡Če podcenimo premer LVOT in/ali VTI v LVOT, dobimo premajhno EOA (lažna stenoza).

†Če gibanje loputk/lističev ni jasno, uporabimo diaskopijo ali CT srca.

‡‡Če precenimo premer LVOT in/ali VTI v LVOT, dobimo preveliko EOA (zgrešimo stenozo).

Ultrazvočna ocena stenoze umetne mitralne zaklopke

| | Blaga | Zmerna | Huda |
|--|------------------|----------------------------------|--------------------------|
| Kvalitativna merila | | | |
| Oblika in gibanje zaklopke | normalno | pogosto spremenjeno ^a | spremenjeno ^a |
| Semikvantitativna merila | | | |
| PHT (ms) ^{b, d} | <130 | 130–200 | >200 |
| Kvantitativna merila | | | |
| <i>Odvisa od pretoka</i> | | | |
| Največja hitrost E (m/s) ^{c, d, f} | <1,9 | 1,9–2,5 | >2,5 |
| Srednji gradient (mmHg) ^{c, d, f} | ≤5 | 6–10 | >10 |
| Porast srednjega gradienata med stresnim UZ srca | <5 | 5–12 | >12 |
| Porast srednjega gradienata med spremeljanjem | <3 | 3–5 | >5 |
| <i>Neodvisa od pretoka</i> | | | |
| EOA (cm^2) ^{c, g} | ≥2 | 1–2 | |
| EOA proti referenčni vrednosti ^{c, g} | referenca ± 1 SD | referenca – 1 SD | referenca – 2 SD |
| Referenčna EOA – izmerjena EOA (cm^2) ^c | <0,25 | 0,25–0,35 | >0,35 |
| DVI ($\text{VTI}_{\text{MVR}}/\text{VTI}_{\text{LVOT}}$) ^{c, d, e, g} | <2,2 | 2,2–2,5 | >2,5 |
| Spremenjene mehanične zaklopke: loputke so negibljive ali omejeno gibljive, prisotnost tromba ali panusa; spremenjene biološke zaklopke: zadebelitve/kalcinacije, prisotnost tromba ali panusa. | | | |
| ^b Na merilo vplivajo srčna frekvenca in podajnost levega preddvora ter prekata. Ne velja pri tahikardiji, AV bloku 1. stopnje ali v okoliščinah, ki povzročijo zlitje valov E in A ali skrajšajo čas polnitve levega prekata. | | | |
| ^c Merila veljajo pri normalnem/skoraj normalnem utripnem volumnu (SV 50–90 ml) in srčni frekvenci (50–80 utripov/min). | | | |
| ^d Merila so spremenjena tudi pri pomembni regurgitaciji umetne mitralne zaklopke. | | | |
| ^e Na merilo vpliva velikost premera LVOT. Pri atrijski fibrilaciji morata biti VTI na umetni mitralni zaklopki in VTI v LVOT merjena v ciklih s podobnim R-R intervalom. | | | |
| ^f Pomemben vpliv imata pretok in srčna frekvenca. | | | |
| ^g Merila ne veljajo, če sta prisotni več kot blaga mitralna ali aortna regurgitacija. | | | |

Ultrazvočna ocena stopnje regurgitacije umetne mitralne zaklopke (valvularne in paravalvularne)

| | Blaga | Zmerna | Huda |
|--|--------------------|-----------------------------------|------------------------------------|
| Kvalitativna merila | | | |
| Oblika in gibanje zaklopke | običajno normalna | običajno spremenjena ^a | običajno spremenjena ^a |
| Semikvantitativna merila | | | |
| Pljučni venski tok (PW) | pretežno v sistoli | dušen v sistoli ^e | obrnjen tok v sistoli ^f |
| Mitralni vtok | različen | različen | E ≥1,9 m/s; sred. gr. ≥5 mmHg |
| DVI ($\text{VTI}_{\text{MVR}}/\text{VTI}_{\text{LVOT}}$) | <2,2 | 2,2–2,5 | >2,5 |
| Širina VC (mm) | <3 | 3–5,9 | ≥6 |
| Obodni delež paravalvularnega puščanja (%) ^g | <10 | 10–29 | ≥30 |
| Kvantitativna merila^h | | | |
| PISA ^d | <0,4 | 0,4–0,8 | ≥0,9 |
| EROA (mm^2) | <20 | 20–29; 30–39 | ≥40 |
| RegV (ml/utrip) ⁱ | <30 | 30–44; 45–59 | ≥60 |
| RF (%) | <30 | 30–50 | >50 |
| Posredni znaki | | | |
| Velikost LV in LA ^j | normalna | normalna/blago povečana | znatno povečana |
| Pljučna hipertenzija ^k | običajno odsotna | različno | običajno prisotna |
| Spremenjene mehanične zaklopke: negibljive/omejeno gibljive loputke (valvularna regurgitacija), dehiscenca ali guganje (paravalvularna regurgitacija); spremenjene biološke zaklopke: zadebeljeni lističi/kalcinacije (valvularna regurgitacija), dehiscenca ali guganje (paravalvularna regurgitacija). | | | |
| ^e Velja za centralne curke, manj zanesljiv pri ekscentričnih curkih. | | | |
| ^f Pri Niquistovi meji 50–60 cm/s. | | | |
| ^g Velja pri Niquistovi meji 40 cm/s in za centralne curke | | | |
| ^h Ce ni drugih razlogov za sistolično dušenje (atrijska fibrilacija, zvišan tlak v LA). | | | |
| ⁱ Obrnjen tok v pulmonalni veni v sistoli je specifičen, ne pa senzitiven za hudo MR. | | | |
| ^j Velja samo za paravalvularno regurgitacijo. | | | |
| ^k Merila manj zanesljiva in preverjena kot pri nativni MR. | | | |
| ^l Ocenimo ga lahko s PISA metodo ali z izračunom razlike med SV na mitralnem obroču in SV v LVOT (ce ni >kot blaga aortna regurgitacija). | | | |
| ^m Velja za kronično, pozno pooperativno regurgitacijo na umetni mitralni zaklopki v odsotnosti drugih vzrokov. Zmerno regurgitacijo lahko razdelimo v blago do zmerno in zmerno do hudo. | | | |
| ⁿ SPAP ≥50 mmHg v mirovanju in ≥60 mmHg med obremenitvijo. | | | |

Ultrazvočna merila za oceno stenoze umetne trikuspidalne zaklopke

| | Normalna | Možnost stenoze ^a |
|--------------------------------------|----------|----------------------------------|
| Kvalitativna merila | | |
| Oblika in gibanje zaklopke | normalno | pogosto spremenjeno ^b |
| Semikvantitativna merila | | |
| PHT (ms) | <130 | ≥130 |
| DVI (VTI_{TVR}/VTI_{LVOT}) | <2 | ≥2 |
| Kvantitativna merila | | |
| Največja hitrost (m/s) ^c | <1,9 | ≥1,9 |
| Srednji gradient (mmHg) ^c | <6 | ≥6 |

^aZaradi respiratorne variabilnosti pretoka vzamemo povprečje 3-5 ciklov v sinusnem ritmu.

^bOmejeno gibanje / zadebeljeni lističi.

^cMerilo odvisno od pretoka in lahko povečano pri pomembni trikuspidalni regurgitaciji.

Ultrazvočna merila za oceno stopnje regurgitacije umetne trikuspidalne zaklopke

| | Blaga | Zmerna | Huda |
|---|---------------------|-----------------------------------|--|
| Kvalitativna merila | | | |
| Oblika in gibanje zaklopke | običajno normalna | običajno spremenjena ^a | običajno spremenjena ^a |
| Barvni doplerski curek TR ^b | majhen | vmesen | velik centralni ali ekscentričen, ki vtiska steno RA |
| Površina stekanja ^c | odsotna/majhna | vmesna | velika ^d |
| Gostota in oblika reg. curka (CW) | nepopolen, šibak | gost, paraboličen | gost z zgodnjim vrhom |
| Semikvantitativna merila | | | |
| Pretok skozi jetrno veno (PW) | pretežno sistolični | sistolično dušenje ^e | sistolični obrat ^f |
| Širina VC | ni definirana | <0,7 | >0,7 |
| Trikuspidalni vtok | različen | različen | povišan srednji gradient |
| Kvantitativna merila^h | | | |
| EROA (mm ²) | ni definirana | ni definirana | ni definirana |
| RegV (ml) | ni definirana | ni definirana | ni definirana |
| RF (%) | ni definirana | ni definirana | ni definirana |
| Posredni znaki | | | |
| RA, RV in prekat, VCI ^g | normalno veliki | povečani | znatno povečani |

^aSpremenjene mehanične zaklopke: negibljive/oomejeno gibljive loputke (valvularna regurgitacija), dehiscenca ali guganje (paravalvularna regurgitacija); spremenjene biološke zaklopke: zadebeljeni lističi/kalcinacije (valvularna regurgitacija), dehiscenca ali guganje (paravalvularna regurgitacija).

^bVelja za centralne curke, manj zanesljivo pri ekscentričnih curkih.

^cPri Niquistovi meji 50–60 cm/s.

^dVelja pri Niquistovi meji 28 cm/s.

^eČe ni drugih razlogov za sistolično dušenje (atrijska fibrilacija, povišan CVP).

^fObrnjen tok v sistoli v jetrni veni je specifičen, ne pa senzitiven za hudo TR.

^gVelja pri kroničnih in poznih pooperativnih regurgitacijah in kadar ni drugih vzrokov za povečanje.

Ultrazvočna merila za oceno stenoze umetne pulmonalne zaklopke

| | Normalna | Možnost stenoze |
|---|--|--|
| Kvalitativna merila | | |
| Oblika in gibanje zaklopke | normalno | pogosto spremenjeno ^a |
| Obris curka skozi zaklopko | normalen | zožan |
| Semikvantitativna merila | | |
| PHT (ms) | <230 | ≥230 |
| Kvantitativna merila^b | | |
| Največja hitrost (m/s) ^{b,c} | <3,2 za biološko zaklopko ali <2,5 za homograft | ≥3,2 za biološko zaklopko ali ≥2,5 za homograft |
| Srednji gradient (mmHg) | <20 za biološko zaklopko ali <15 za homograft | ≥20 za biološko zaklopko ali ≥15 za homograft |

^a Omejeno gibanje / zadebeljeni lističi.

^b Merilo je od pretoka odvisno in velja pri normalnem utripnem volumnu (SV 50–90 ml) in pretoku (200–300 ml/s).

^c Naraščanje največje hitrosti pri spremljanju je najzanesljivejši parameter.

Ultrazvočna merila za oceno stopnje regurgitacije umetne pulmonalne zaklopke.

| | Blaga | Zmerna | Huda |
|--|---|-----------------------------------|---|
| Kvalitativna merila | | | |
| Oblika in gibanje zaklopke | običajno normalna | običajno spremenjena ^a | običajno spremenjena ^a |
| Barvni curek (centralen curek, na nivoju pulmonalnega obroča) ^{b,c} | ozek z majhnim origom; širina curka ≤25 % širine RVOT | vmesen | običajno širok z velikim origom; širina curka >50 % širine RVOT; lahko kratkotrajen |
| Gostota curka (CW) | nepopolen / šibek | gost | gost |
| Deceleracijska hitrost curka (CW) | počasna | različna | strma ^d , zgodnja prekinitev diastoličnega pretoka |
| Razmerje pulmonalnega in sistemskoga pretoka (PW) ^e | blago povečano | vmesno | močno povečano |
| Diastolični obrat pretoka v pljučni arteriji | odsoten | prisoten | prisoten |
| Semikvantitativna merila | | | |
| PHT (ms) | ni definiran | ni definiran | <100 ms |
| Posredni znaki | | | |
| velikost RV ^f | normalen | normalen ali povečan | povečan |

^aSpremenjene mehanične zaklopke: negibljive/omejeno gibljive loputke (valvularna regurgitacija), dehiscenca ali guganje (paravalvularna regurgitacija); spremenjene biološke zaklopke: zadebeljeni lističi/kalcinacije (valvularna regurgitacija), dehiscenca ali guganje (paravalvularna regurgitacija).

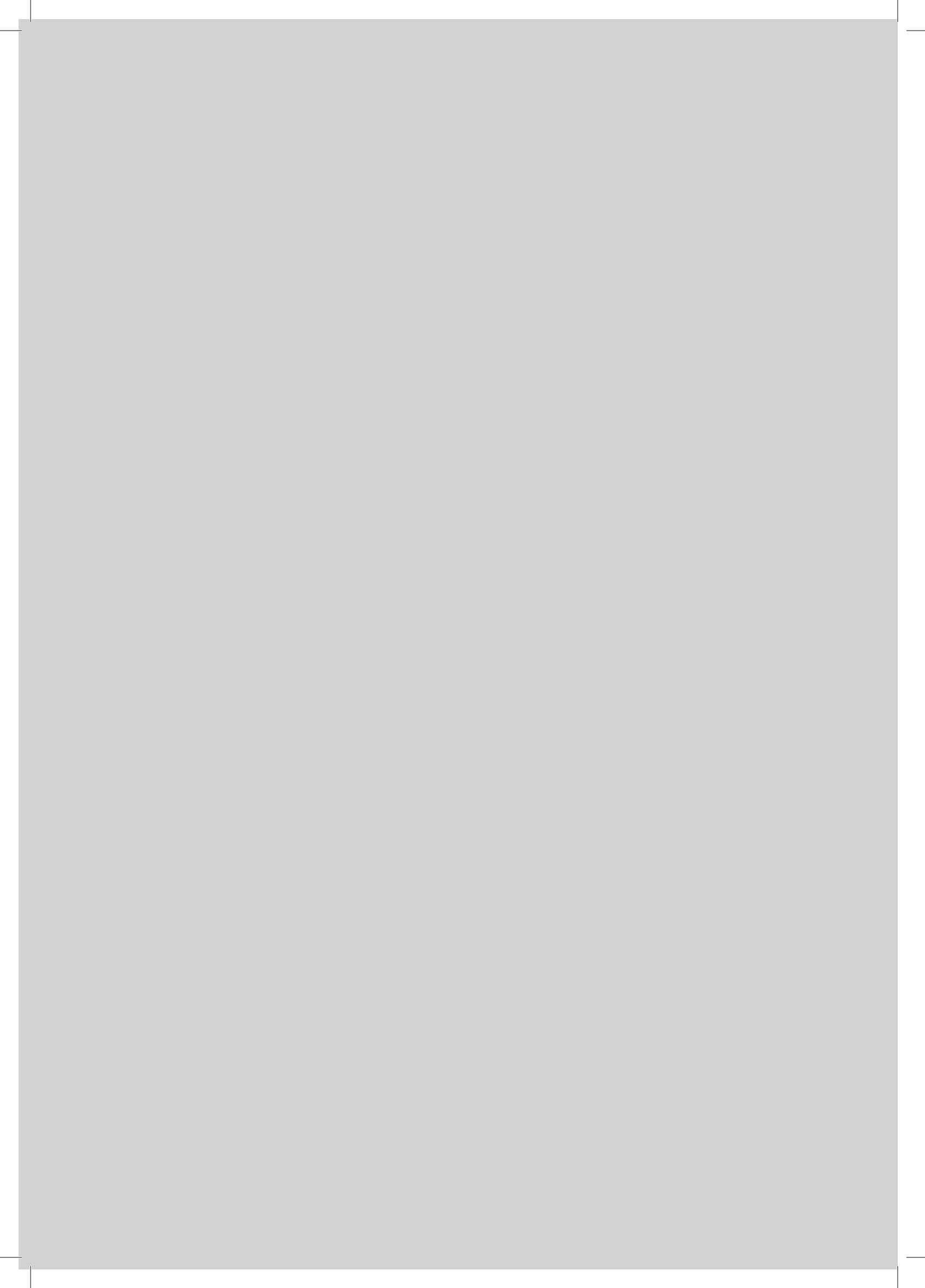
^bVelja za centralne curke, manj zanesljiv pri ekscentričnih curkih.

^cPri Niquistovi meji 50–60 cm/s; velja za centralne in ne ekscentrične curke.

^dStrma deceleracija ni specifična za hudo pulmonalno regurgitacijo.

^eMejne vrednosti za regurgitacijski volumen in frakcijo niso dobro opredeljene.

^fČe ni drugih razlogov za povečan RV, vključno s povečanjem prekata po kirurškem posegu. Akutna pulmonalna regurgitacija je izjema.



PERIKARD

PERIKARDIALNI IZLIV IN TAMPONADA

Ocena količine perikardialnega izliva je semikvantitativna in klinično ni zelo pomembna:

- majhen izliv (<100 ml): perikardialni prostor je širok do 1 cm,
- zmeren izliv (100–500 ml): perikardialni prostor je širok 1–2 cm,
- velik izliv (≥ 500 ml): perikardialni prostor je širok >2 cm.

O tamponadi srca govorimo, kadar zaradi nabiranja perikardialne tekočine tlak v osrčniku preseže najnižji tlak v srčnih votlinah. Posledično je motena polnitev srčnih votlin, zaradi česar pride do padca utripnega volumna.

Ehokardiografski znaki vtočne motnje:

- sistolični kolaps desnega preddvora za >tretjino srčnega cikla kaže na resnejšo motnjo,
- diastolični kolaps desnega prekata (v zgodnji diastoli),
- nihanje prostornine prekatov – premik IVS proti LV med vdihom in proti RV med izdihom,
- nihajoče srce,
- spremenjanje vtočnih hitrosti skozi atrioventrikularne zaklopke z dihanjem: zmanjšanje hitrosti skozi MV za 30 % v prvem utriku med vdihom in 60 % skozi TV v prvem utriku med izdihom,
- razširjena VCI ($\geq 2,5$ cm) in <50 % spremenjanje premera z dihanjem.

KONSTRIKTIVNI PERIKARDITIS

Ehokardiografski kriteriji:

- zadebeljen perikard (≥ 3 mm),
- nihanje poljenosti prekatov z dihanjem – pomik IVS v levo med vdihom in v desno med izdihom,
- nenormalno gibanje IVS: 'septal bounce' – nenaden posterioren pomik IVS v zgodnji diastoli med vdihom,
- sploščenost zadnje stene levega prekata v diastoli (ob prikazu z M-načinom),
- restriktiven vzorec polnitve prekatov (visok val E, kratek deceleracijski čas, nizek val A),
- nihanje hitrosti polnitve z dihanjem >25 % (med vdihom hitrost polnitve pada preko MV in naraste preko TV); nihanje hitrosti polnitve lahko vrednotimo le pri normalnem in spontanem dihanju,
- TDI: visok e' sept (>7 cm/s) in nizek e' lat (razmerje e' lat/e' sept <1),
- poudarjen diastolični obrat toka krvi v jetrnih venah med izdihom.

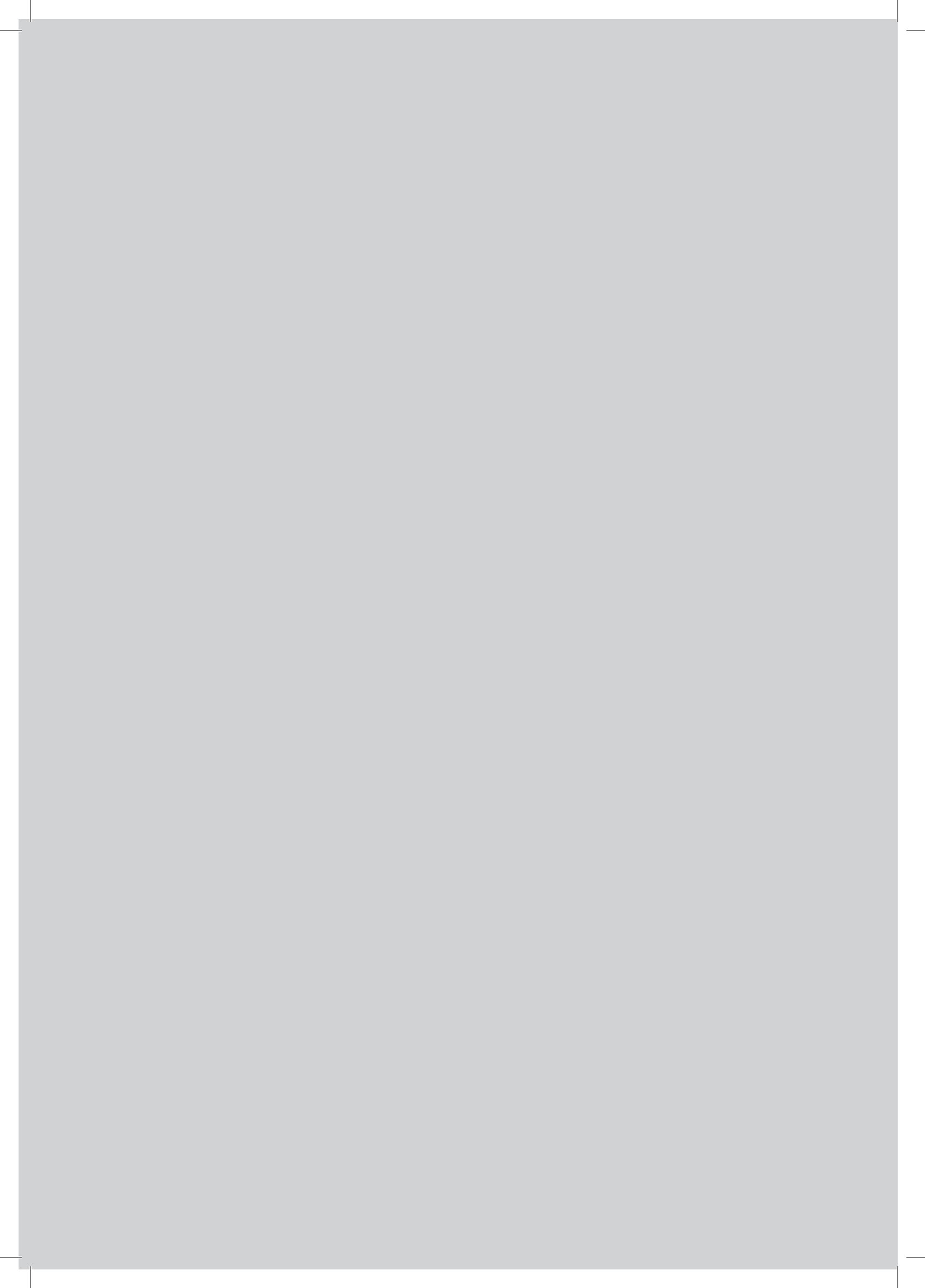
Ehokardiografske razlike med konstriktivnim perikarditisom in restriktivno kardiomiopatijo:

| | Konstriktivni perikarditis | Restriktivna kardiomiopatija |
|---|---|--|
| Videz perikarda | zadebeljen | normalen |
| Velikost preddvorov | blago ali zmerno povečana | močno povečana |
| Gibanje IVS | izrazito odvisno od dihanja 'septal bounce' | neodvisno od dihanja |
| Nihanje pretoka preko MV in TV z dihanjem | >25 % | <15 % |
| Sistolični tlak v RV | običajno <40 mmHg | običajno >60 mmHg |
| e' sept | ≥ 8 cm/s | <8 cm/s |
| Jetrne vene | poudarjen diastolični obrat toka krvi med izdihom | diastolični obrat toka krvi med vdihom |

Opomnik

Perikard bolje prikažemo s CT ali MR slikanjem.

Ocena nihanja pretokov preko zaklopk z dihanjem je pri bolnikih z AF otežena.



HEMODINAMIKA

HEMODINAMIČNE SPREMENLJIVKE

- Tlačni gradient – razlika tlakov med dvema priležnima votlinama.

Poenostavljena Bernoullijeva enačba: $PG = 4v^2$

- Volumen krvi v srčnem ciklu – utripni volumen:

$$SV \text{ (mL)} = CSA \text{ (cm}^2\text{)} \times VTI \text{ (cm)} = \pi r^2 \times VTI = \pi \left(\frac{D}{2}\right)^2 \times VTI = 0,785 \times D^2 \times VTI$$

D – premer

HEMODINAMIČNE IZPELJANKE

- ^a Kontinuitetna enačba: $SV_1 = SV_2$

$$CSA_1 \times VTI_1 = CSA_2 \times VTI_2$$

- ^b Metoda PISA: $PISA = 2\pi r^2$

$$PISA \times v_a = EROA \times v_{max reg}$$

$$EROA \text{ (cm}^2\text{)} = \frac{2\pi r^2 \times v_a}{V_{max reg}} \quad RegV \text{ (mL)} = EROA \times VTI_{reg}$$

- ^c Volumetrična metoda: $RegV \text{ (mL)} = SV_{skozi reg zaklopko} - SV_{skozi N zaklopko}$

$$RF (\%) = \frac{RegV}{SV_{skozi reg zaklopko}} \times 100$$

Primeri:

^a Aortna stenoza

$$AVA \times VTI_{AV} = CSA_{LVOT} \times VTI_{LVOT}$$

$$AVA = \frac{CSA_{LVOT} \times VTI_{LVOT}}{VTI_{AV}} = \frac{\pi r^2 \times VTI_{LVOT}}{VTI_{AV}}$$

r – polmer LVOT

^a Mitralna stenoza

$$MVA \times VTI_{MV} = CSA_{LVOT} \times VTI_{LVOT}$$

$$MVA = \frac{CSA_{LVOT} \times VTI_{LVOT}}{VTI_{MV}} = \frac{\pi r^2 \times VTI_{LVOT}}{VTI_{MV}}$$

r – polmer LVOT

^b Aortna regurgitacija

$$EROA = \frac{2\pi r^2 \times v_a}{V_{maxAR}} \quad RegV = EROA \times VTI_{AR}$$

r – polmer PISA

^b Mitralna regurgitacija

$$EROA = \frac{2\pi r^2 \times v_a}{V_{maxMR}} \quad RegV = EROA \times VTI_{MR}$$

r – polmer PISA

^b Mitralna stenoza

$$EOA = \frac{2\pi r^2 \times v_a \times \left(\frac{\alpha}{180}\right)}{V_{maxMV}} \quad \alpha – odpiralni kot med lističema MV$$

^c Aortna regurgitacija

$$RegV = SV_{LVOT} - SV_{MV} = \pi r^2_{LVOT} \times VTI_{LVOT} - \pi r^2_{MV} \times VTI_{MV}$$

$$RF_{AR} = \frac{RegV}{SV_{LVOT}} \times 100 = \frac{SV_{LVOT} - SV_{MV}}{SV_{LVOT}} \times 100$$

^c Mitralna regurgitacija

$$RegV = SV_{MV} - SV_{LVOT} = \pi r^2_{MV} \times VTI_{MV} - \pi r^2_{LVOT} \times VTI_{LVOT}$$

$$RF_{MR} = \frac{RegV}{SV_{MV}} \times 100 = \frac{SV_{MV} - SV_{LVOT}}{SV_{MV}} \times 100$$

Ocena hemodinamičnega stanja s pomočjo dopplerske ultrazvočne preiskave srca

11. Spodnja votla vena in ocena CVP

- VCI \leq 2,1 cm in $>$ 50 % kolaps \rightarrow povprečni 3 (0-5 mmHg)
 VCI \leq 2,1 cm in $<$ 50 % kolaps
 ali \rightarrow povprečni 8 (5-10 mmHg)
 VCI $>$ 2,1 cm in $>$ 50 % kolaps
 VCI $>$ 2,1 cm in $<$ 50 % kolaps \rightarrow povprečni 15 (10-20 mmHg)

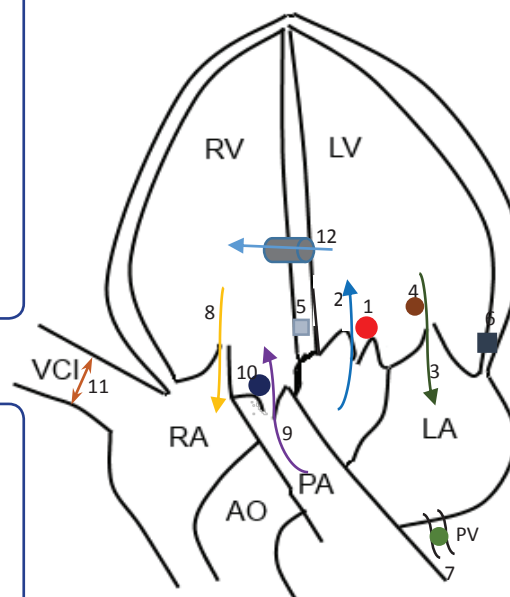
1. Utrijeni volumen levega prekata

$$SV = VTI_{LVOT} \times \pi r^2$$

$$CO = SV \times HR \quad CI = CO/BSA$$

10. Antegradni tok v RVOT (PW)

Norm PAP PH
 $mPAP = 79 - (0,45 \times AT)$
 $PVR = (v_{maxTR}/VTI_{RVOT}) \times 10 + 0,16$



9. Pulmonalna regurgitacija

$$dPAP = 4(v_{edPR})^2 + CVP$$

$$mPAP = 4(v_{maxPR})^2 + CVP$$

8. Trikuspidalna regurgitacija

$$RVSP = 4(v_{maxTR})^2 + RAP (=CVP)$$

V odsotnosti pulmonalne stenoze: $RVSP = sPAP$

2. Aortna regurgitacija

$$LVEDP = DBP - 4(v_{edAR})^2$$

3. Mitralna regurgitacija

$$LAP = SBP - 4(v_{maxMR})^2$$

4. in 5. PW MV in TDI septalno

$$LAP^* = E/e' \text{ sept} + 4$$

4. in 6. PW MV in TDI lateralno

$$LAP^* = 1,24 (E/e' lat) + 1,9$$

12. VSD

$$RVSP = SBP - 4(VSD v_{max})^2$$

Legenda:

- CW
- PW
- TDI

*Navedene metode za oceno LAP so pridobljene empirično in so relativno dobro povezane z invazivno merjenimi tlaki, imajo pa številne omejitve. Bolj zanesljiva je kvalitativna ocena s pomočjo algoritmov na naslednji strani.

Vrednosti tlakov v srčnih votlinah in velikih žilah

| | Normalno | Patološko |
|------------|------------|-----------|
| RAP | 1–8 mmHg | |
| RVSP | 15–30 mmHg | |
| sPAP | 15–30 mmHg | >35 mmHg |
| mPAP | <20 mmHg | >25 mmHg |
| dPAP | 4–12 mmHg | |
| PAWP = LAP | 4–12 mmHg | >15 mmHg |
| LVEDP | 4–12 mmHg | |
| PVR | <1,5 WU | >3 WU |

PLJUČNA HIPERTENZIJA

V smernicah za obravnavo in zdravljenje pljučne hipertenzije je ta definirana z vrednostjo mPAP >25 mmHg.

Ehokardiografska ocena verjetnosti pljučne hipertenzije pri simptomatskih bolnikih

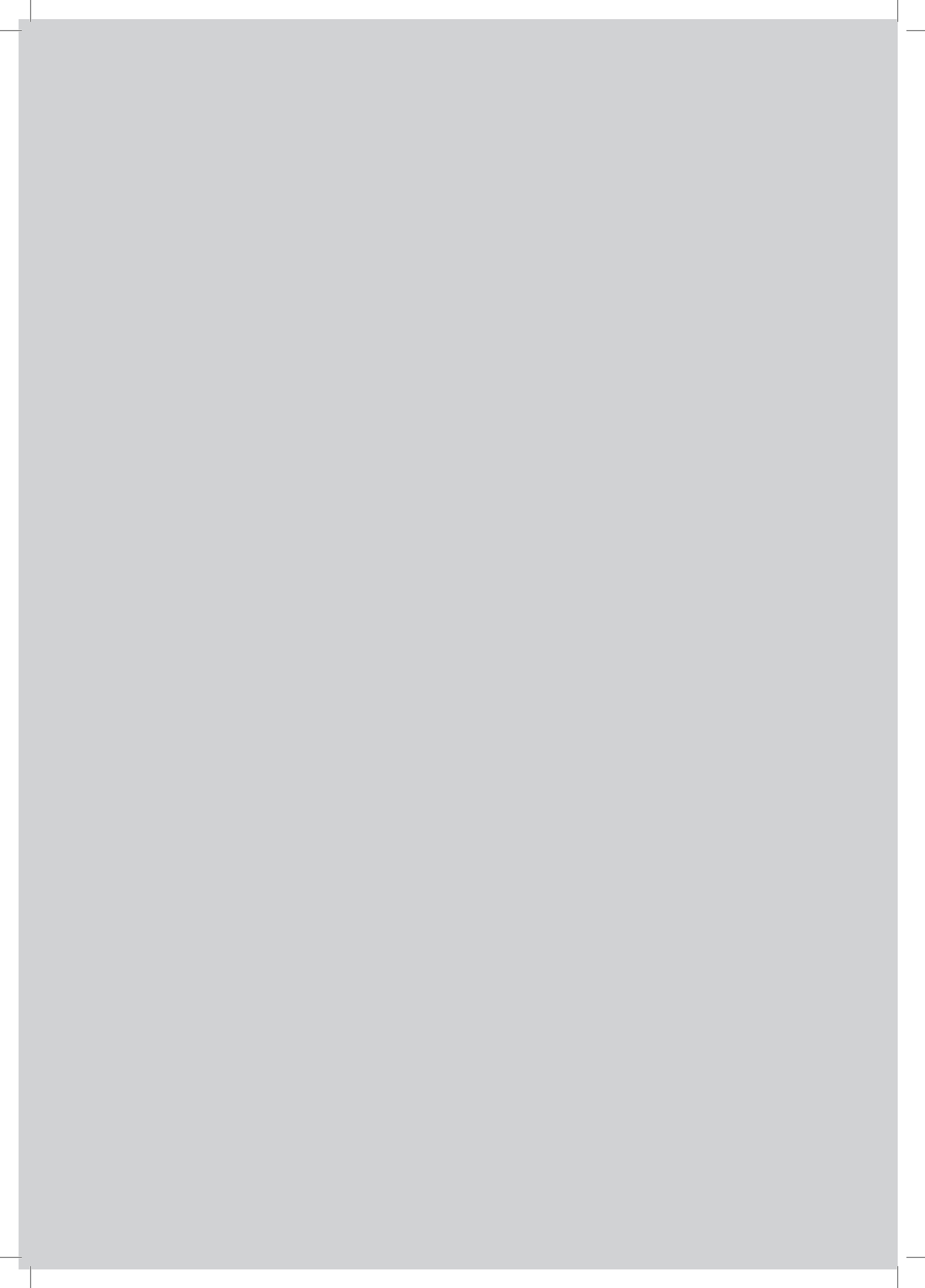
| Hitrost TR (m/s) | Prisotnost posrednih UZ znakov za PH (gl. spodnjo tabelo) | Verjetnost PH |
|---------------------|---|---------------|
| ≤2,8 ali nemerljivo | ne | nizka |
| ≤2,8 ali nemerljivo | da | |
| 2,9–3,4 | ne | srednja |
| 2,9–3,4 | da | |
| >3,4 | niso potrebni | visoka |

Posredni znaki za pljučno hipertenzijo

| Prekata | Pljučna arterija | Spodnja votla vena in desni predvor |
|-----------------------------------|---|-------------------------------------|
| RV/LV bazalno >1,0 | RVOT AT <105 ms in/ali 'zareza' v sredini sistole | VCI >21 mm in <50 % kolaps |
| Sploščenost medprekatnega pretina | zgodnja diastolična hitrost PR >2,2 m/s premer PA >25 mm | površina RA >18 cm ² |

Ehokardiografska razdelitev pljučne hipertenzije

| Blaga | Zmerna | Huda |
|-----------------|-----------------|---------------|
| sPAP 35–45 mmHg | sPAP 45–60 mmHg | sPAP >60 mmHg |



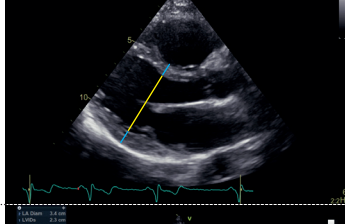
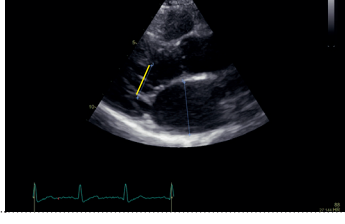
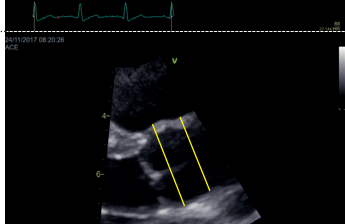
CELOSTNA TRANSTORAKALNA EHOKARDIOGRAFSKA PREISKAVA

NABOR STANDARDNIH PRESEKOV IN MERITEV

Spodnja tabela zaobjema standardne preseke rutinske ehokardiografske preiskave. Meritve, ki so pisane krepko, je potrebno opraviti pri vsaki celosti preiskavi. Bolezenske najdbe med preiskavo zahtevajo tudi dodatne meritve (pri okvarah zaklopk so obvezne meritve označene z zvezdico) in prilagojene prikaze struktur, ki v tabeli niso opisane.

Tabela naj služi tudi kot vodilo najmanjšega obsega shranjevanja posnetkov ehokardiografske preiskave (bodisi v obliki posnetka ali slike), kar nam bo omogočilo dobro ponovljivost in primerljivost med ustanovami in med zdravniki, ki preiskave opravljo.

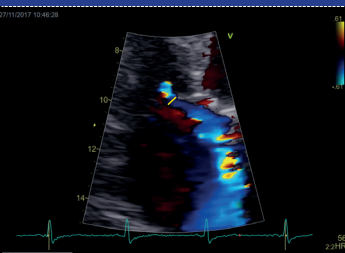
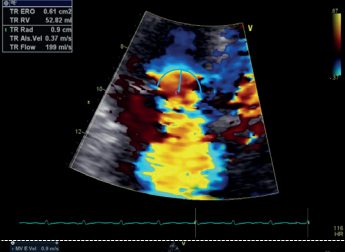
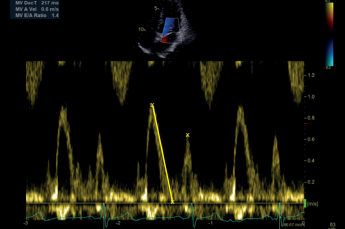
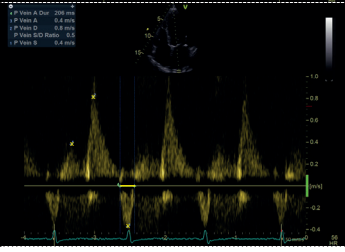
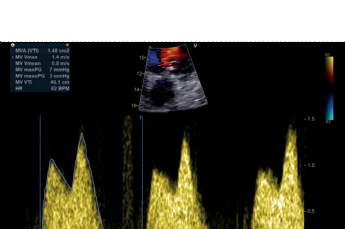
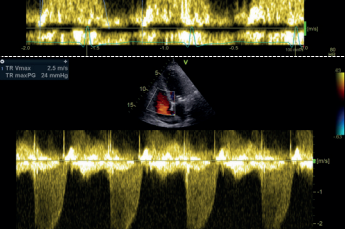
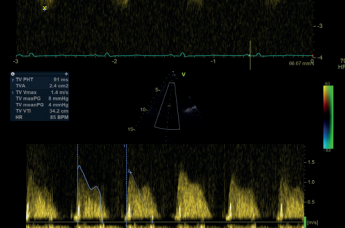
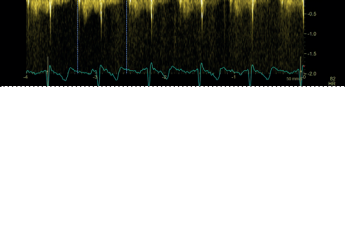
Na koncu poglavja so meritve in priporočeni način shranjevanja preiskave povzeti še v posebnih tabelah.

| Presek | Posnetek/slika | Meritve | Pojasnila | Slika |
|---|----------------|--|---|---|
| Parasternalni vzdolžni presek (PLAX) | | | | |
| PLAX 2D | posnetek | | morfologija in funkcija srčnih votlin morfologija in funkcija zaklopk (zadebelitev, kalcinacije, gibljivost) |  |
| | slika | LV EDD, IVS, LV INF LAT | meritev iz 2D slike ali v M-prikazu ob koncu diastole |  |
| | slika | LV ESD, IVS, LV INF LAT | meritev iz 2D slike ali v M-prikazu ob koncu sistole |  |
| | | | izračun RWT, LVMI | |
| | slika | LA premer | meritev iz 2D slike ali v M-prikazu ob koncu sistole |  |
| | slika | Aorta - bulbus, sinotubularni stik, začetni del ascendente aorte | meritev iz 2D slike ali v M-prikazu ob koncu diastole |  |

| Presek | Posnetek/slika | Meritve | Pojasnila | Slika |
|---|---|---------|---|-------|
| | slika LVOT premer | | meritev v LVOT, največ 1 cm od aortnega obroča v sredini sistole, ob povečavi | |
| PLAX barvni dopler | posnetek | | barvni dopler nad AV in MV Nyquistova meja 50–60 cm/s | |
| Parasternalni prečni presek (PSAX) | | | | |
| PSAX na nivoju AZ in RVOT | | | | |
| PSAX 2D | posnetek | | morfologija in funkcija srčnih votlin morfologija in funkcija zaklopk (zadebelitev, kalcinacije, gibljivost) | |
| | RVOT premer dist, RVOT premer prox, premer PA | | meritev ob koncu diastole | |
| PSAX barvni dopler | posnetek | | barvni dopler nad zaklopkami (AV, MV, TV) in IAS Nyquistova meja 50–60 cm/s | |
| PSAX PW v RVOT | RVOT VTI* | | meritev v RVOT neposredno pod PV | |

| Presek | Posnetek/slika | Meritve | Pojasnila | Slika |
|--|----------------|----------|---|-------|
| PSAX CW preko PV | | PV V max | | |
| | | PR V max | izračun PR max PG – ocena srednjega tlaka v PA | |
| | | PR V end | izračun PR end PG – ocena diastoličnega tlaka v PA | |
| PSAX na nivoju MV | | | | |
| PSAX 2D | posnetek | | morfologija in funkcija LV (globalna, segmentna) | |
| | | | morfologija in funkcija MV (zadebelitev, kalcinacije, gibljivost) | |
| PSAX barvni dopler | | posnetek | | |
| | | | barvni dopler nad MV Nyquistova meja 50–60 cm/s | |
| PSAX na nivoju papilarnih mišic | | | | |
| PSAX 2D | posnetek | | morfologija in funkcija LV (globalna, segmentna) | |
| Parasternalni prikaz RV vtočno | | | | |
| RV vtočno 2D | posnetek | | morfologija in funkcija RV (spodnja in sprednja stena) | |
| | | | morfologija in funkcija TV | |
| RV vtočno barvni dopler | | posnetek | | |
| | | | barvni dopler nad TV Nyquistova meja 50–60 cm/s | |

| Presek | Posnetek/slika | Meritve | Pojasnila | Slika |
|--|----------------|---------------------------|--|-------|
| Apikalni presek štirih votlin (A4C) | | | | |
| A4C 2D | posnetek | | morfologija srčnih votlin in funkcija LV (inferiorni IVS, anterolateralna stena) | |
| A4C 2D | slika LV EDV | | morfologija in funkcija zaklopk (zadebelitev, kalcinacije, gibljivost) | |
| | | meritev ob koncu diastole | | |
| | | LV ESV | meritev ob koncu sistole | |
| | | LAV RAA RAV | meritev ob koncu sistole | |
| | | obroč MV, obroč TV* | meritev v diastoli | |
| A4C barvni dopler | posnetek | | barvni dopler nad MV, TV Nyquistova meja 50–60 cm/s | |
| A4C barvni dopler MV | MR VC* | | Nyquistova meja 50–60 cm/s | |
| | | | | |
| | | MR PISA* | Nyquistova meja 15–40 cm/s, meritev v sistoli | |
| | | | izračun MR EROA, MR vol | |

| Presek | Posnetek/slika | Meritve | Pojasnila | Slika |
|----------------------|------------------------------|---------|---|---|
| A4C barvni dopler TV | TR VC* | | Nyquistova meja 50–60 cm/s |  |
| | TR PISA* | | Nyquistova meja 28 cm/s, meritev v sistoli |  |
| A4C PW MV | slika val E, val A, E/A, DT, | | meritev v višini vrhov lističev MV |  |
| | A dur | | meritev v ravniini obroča MV |  |
| A4C PW pljučna vena | S, D, Ar, Ar dur | | meritev v desni spodnji pljučni veni |  |
| | | | izračun A dur – Ar dur | |
| A4C CW preko MV | PHT*, MV mean PG* | | |  |
| A4C CW preko TV | slika TR V max | | izračun sPAP |  |
| | | | TV mean PG* |  |

A4C usmerjeno za RV

A4C 2D

morfologija in funkcija desnih votlin

slika RVID bazalni
RVID srednji

meritev ob koncu diastole

A4C 2D

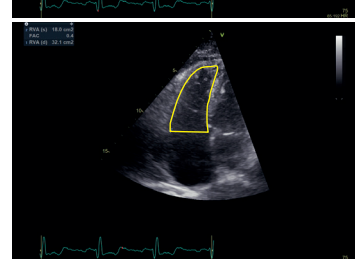
RV EDA

meritev površine RV na koncu diastole

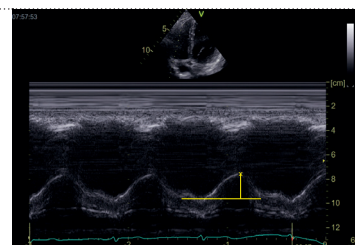


RV ESA

meritev površine RV na koncu na koncu sistole



izračun FAC

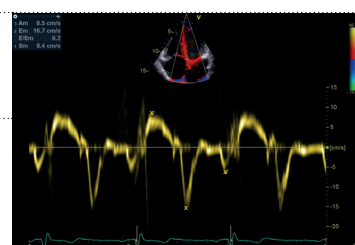
A4C M-prikaz na obroču
TVTAPSE
slika

A4C TDI

TDI PW na septalnem
robu mitralnega obroča

TDI s', e' sept, a' sept,

slika

TDI PW na lateralnem
robu mitralnega obroča

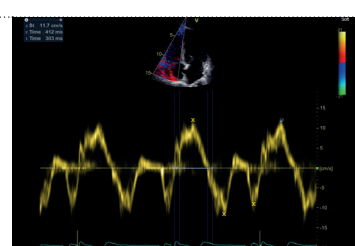
TDI e' lat

slika

izračun E/e' sept in E/e' povpr

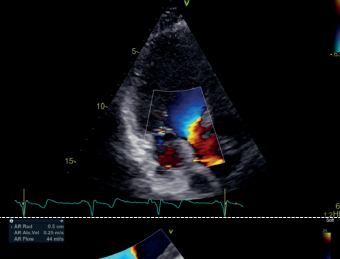
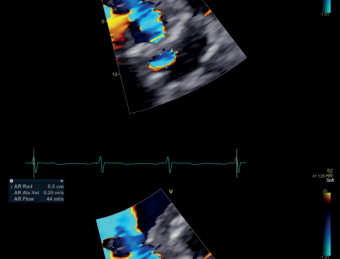
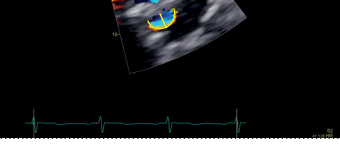
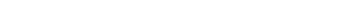
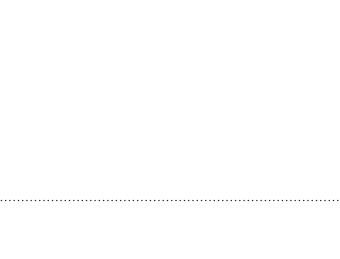
TDI PW na lateralnem
robu trikuspidalnega
obroča

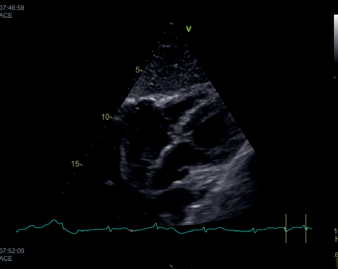
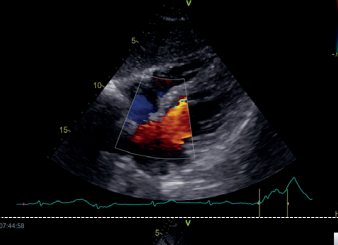
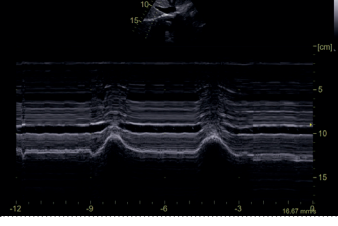
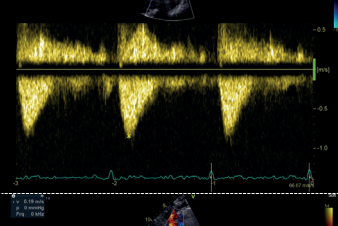
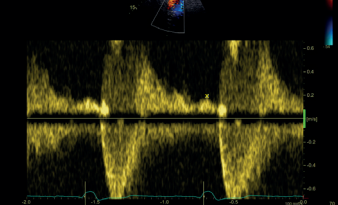
TDI RV s', ET, TCO



izračun MPI

| Presek | Posnetek/slika | Meritve | Pojasnila | Slika |
|---|---|---------|---|-------|
| Apikalni presek petih votlin (A5C) | | | | |
| A5C 2D | posnetek | | morfologija in funkcija zaklopk (zadebelitev, kalcinacije, gibljivost) | |
| A5C barvni dopler | posnetek | | barvni dopler nad AV, MV Nyquistova meja 50–60 cm/s | |
| A5C PW v LVOT | slika LVOT VTI | | meritev v LVOT, na mestu meritev premora LVOT | |
| A5C CW preko AV | slika AV V max AV PG max* AV PG mean* AT | | izračun LV SV, LV SVi in LV CO dopler | |
| izračun DVI, AVA dopler | | | | |
| AR PHT* | | | | |
| Apikalni presek dveh votlin (A2C) | | | | |
| A2C 2D | posnetek | | morfologija srčnih votlin in funkcija LV (anteriorna, inferiorna stena) | |
| | | | morfologija in funkcija zaklopk (zadebelitev, kalcinacije, gibljivost) | |
| | slika LV EDV | | meritev ob koncu diastole | |

| Presek | Posnetek/slika | Meritve | Pojasnila | Slika |
|--|---------------------------------------|---------|---|---|
| A2C 2D | slika LV ESV LAV | | meritev ob koncu sistole |  |
| A2C barvni dopler posnetek | | | izračun indeksiranih volumnov LV, SV in EF v dveh ravneh |  |
| Apikalni vzdolžni presek (ALAX) | | | | |
| ALAX 2D | posnetek | | morfologija srčnih votlin in funkcija LV (anteriorni IVS, inferolateralna stena) |  |
| ALAX barvni dopler posnetek | | | morfologija in funkcija zaklopk (zadebelitev, kalcinacije, gibljivost) |  |
| AR VC* | | | barvni dopler nad AV, MV Nyquistova meja 50–60 cm/s |  |
| AR PISA | | | meritev v diastoli Nyquistova meja nastavljena na najbolj optimalno vidno PISA |  |
| ALAX PW v LVOT | VTI LVOT* | | izračun AR EROA |  |
| ALAX CW preko AZ | AV V max, AV PG max*, AV PG mean*, AT | | meritev v LVOT, na mestu meritve premora LVOT ali na mestu, kjer je bil izmerjen premer LVOT, če iz A5C ni zanesljiva |  |
| | | | izračun LV SV dopler | |
| | | | izračun DVI, AVA dopler | |

| Presek | Posnetek/slika | Meritve | Pojasnila | Slika |
|---|----------------|---|--|--|
| Subkostalni presek | | | | |
| Presek štirih votlin 2D posnetek | | | morfologija vseh srčnih votlin, IAS, perikard |  |
| Presek štirih votlin barvni dopler posnetek | | | Dopler nad medpreddvornim pretinom znižanje Nyquistove meje za zaznavanje pretokov z nizko hitrostjo |  |
| Prikaz spodnje votle vene VCI v vdihu in izdihu posnetek | | | meritev premera VCI nekoliko proksimalno od jetrne veze in pravokotno na potek VCI (meritev iz 2D slike ali v M-prikazu) |  ocena CVP |
| Suprasternalni presek | | | | |
| Aortni lok 2D | slika | premer aortnega loka in začetne descendantne aorte | |  |
| Aortni lok barvni dopler posnetek | | | pretok v descendantni aorti |  |
| CW v descendantni aorti | | V max v descendantni aorti* | |  |
| PW v začetnem delu descendantne aorte | | končna diastolična retrogradna hitrost v descendantni aorti | zbiralno okence v začetku descendantne aorte |  |

3D zajem in dodatne meritve na 2D in 3D posnetkih

Longitudinalna
deformacija LV

GLS

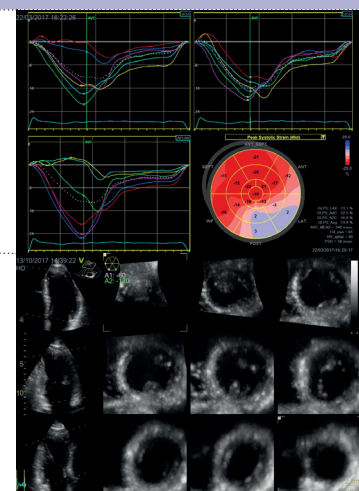
3D volumni LV

LV EDV 3D

meritev ob koncu diastole

LV ESV 3D

meritev ob koncu sistole



3D volumni RV

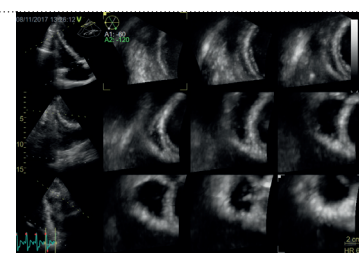
RV EDV 3D

meritev ob koncu diastole

RV ESV 3D

meritev ob koncu sistole

Izračun LV EF 3D



Izračun RV EF 3D

OBVEZNE IN OPCIJSKE MERITVE, KI NAJ JIH VSEBUJE IZVID UZ SRCA

Ime in priimek bolnika, datum rojstva in starost

Indikacija

Ritem: sinusni/AF/elektrosistolični/drugi

Srčna frekvence (utripov/minuto), teža, višina, BSA, krvni tlak

UZ aparat: GE Vivid 95/9/60, Philips Epic/i33 ...

Kvaliteta slike: optimalna/dobra/suboptimalna/slaba

| Levi prekat | | Diastolična funkcija | | Aortna zaklopka | |
|------------------|----------------------|-----------------------------------|-------------------|------------------------|-----------------|
| LV EDD | cm | E | m/s | AV V max | m/s |
| LV ESD | cm | DT | ms | *AV max PG | mmHg |
| IVS | cm | E/A | | *AV mean PG | mmHg |
| INF LAT | cm | A | m/s | *AVA dopler | cm ² |
| RWT | | e' sept | cm/s | AVA planim | cm ² |
| LVMI | g/m ² | e' lat | cm/s | AT | ms |
| LV EDV | ml | E/e' povpr | | DVI | |
| LV EDVI | ml/m ² | Ar | cm/s | *AR PHT | ms |
| LV ESV | ml | Adur –Ardur | ms | *AR VC | cm |
| LV SV 2D | ml | Adur, Ardur | ms | *AR EROA | cm ² |
| LV EF 2D | % | S, D | m/s | Mitralna zaklopka | |
| LV EDV 3D | ml | LAP normalen / zvišan / nedoločen | | *MR VC | cm |
| LV ESV 3D | ml | Desni prekat | | *MR EROA | cm ² |
| LV EF 3D | % | RVID bazalni | cm | *MR vol | ml |
| LVOT premer | cm | RVID srednji | cm | *MV PHT | ms |
| LVOT VTI | cm | RV EDV 3D | ml | *MV mean PG | mmHg |
| LV SV dopler | ml | RV ESV 3D | ml | *MVA (planim) | cm ² |
| LV SVI dopler | ml/m ² | RV EF 3D | % | *MVA (dopler) | cm ² |
| LV CO | l/min | FAC | % | MV obroč | cm |
| LV CI | l/min/m ² | TAPSE | cm | Pulmonalna zaklopka | |
| LV s' | cm/s | RV s' | cm/s | *RVOT VTI | cm |
| GLS | % | RV MPI | | RVOT premer dist. | cm |
| MAPSE | cm | RV GLS | % | RVOT premer prox. | cm |
| Levi preddvor | | Desni preddvor | | PA premer | cm |
| LA premer (PLAX) | cm | RAA | cm ² | PR max PG | mmHg |
| LAVI | ml/m ² | RAVI | ml/m ² | PR end PG | mmHg |
| Aorta | | Vena cava | | Trikuspidalna zaklopka | |
| Ao bulbus | cm | VClE | cm | *TR PISA r | cm |
| Ao asc | cm | CVP | mmHg | *TR VC | cm |
| Ao obroč | cm | Tlk v pljučnem obtoku | | *TV obroč | cm |
| Ao STJ | cm | TR V max | m/s | *TV mean PG | mmHg |
| Ao lok | cm | sPAP | mmHg | | |
| Ao desc V max | | m/s | | | |

Poudarjene meritve so obvezne pri vseh izvidih, nepoudarjene so opcijske in se uporabljajo pri različnih patologijah, povezane pa so tudi z možnostmi UZ aparata in z izkušenostjo izvajalca preiskave. Pri okvarah posameznih zaklopk so obvezne meritve označene z *.

MINIMALEN NABOR POSNETKOV PRI TRANSTORAKALNI EHOKARDIOGRAFIJI

| Presek | UZ metoda | Način shranjevanja |
|---|---------------|--------------------|
| PLAX | 2D | posnetek |
| PLAX (meritev LV) | 2D/M prikaz | slika |
| PLAX (meritev aorte, LA) | 2D/M prikaz | slika |
| PLAX (meritev LVOT) | 2D (povečava) | slika |
| PLAX | barvni dopler | posnetek |
| PSAX na nivoju AV in RVOT | 2D | posnetek |
| PSAX na nivoju AV in RVOT | barvni dopler | posnetek |
| PSAX na nivoju MV | 2D | posnetek |
| PSAX na nivoju MV | barvni dopler | posnetek |
| PSAX na nivoju papilarnih mišic | 2D | posnetek |
| Parasternalni prikaz RV vtočno | 2D | posnetek |
| Parasternalni prikaz RV vtočno | barvni dopler | posnetek |
| A4C | 2D | posnetek |
| A4C | barvni dopler | posnetek |
| A4C (meritev LVEDV) | 2D | slika |
| A4C (meritev LVESV) | 2D | slika |
| A4C (meritev LA in RA) | 2D | slika |
| A4C (pretok skozi MV) | PW | slika |
| A4C (hitrost TR) | CW | slika |
| A4C (TDI mitralnega obroča (septalna, lateralna hitrost)) | TDI PW | slika |
| A4C, usmerjeno za RV (TAPSE) | M prikaz | slika |
| A4C, usmerjeno za RV (RVID) | 2D | slika |
| A5C | 2D | posnetek |
| A5C | barvni dopler | posnetek |
| A5C (pretok skozi AV) | CW | slika |
| A5C (LVOT VTI) | PW | slika |
| A2C | 2D | posnetek |
| A2C | barvni dopler | posnetek |
| A2C (meritev LVEDV) | 2D | slika |
| ALAX | 2D | posnetek |
| ALAX | barvni dopler | posnetek |
| Subkostalni presek 4C | 2D | posnetek |
| Subkostalni presek 4C (IAS) | barvni dopler | posnetek |
| Subkostalni presek (IVC med vdihom in izdihom) | 2D | posnetek |
| Suprasternalni vzdolžni prikaz aortnega loka | barvni dopler | posnetek |
| Suprasternalni vzdolžni prikaz aortnega loka | 2D | slika |

PRIMER NORMALNEGA IZVIDA

Ime in priimek bolnika, datum rojstva in starost

Indikacija

Ritem: sinusni/AF/elektrosistolični/drugi

Srčna frekvence (utripov/minuto), teža, višina, BSA, krvni tlak

UZ aparat: GE Vivid 95/9/60, Philips Epic/i33 ...

Kvaliteta slike: optimalna/dobra/suboptimalna/slaba

| Levi prekat | | Diastolična funkcija | | Desni prekat | |
|---------------|-------------------|-----------------------------------|-------------------|------------------------|-------------------|
| LV EDD | cm | E | m/s | RVID bazalni | cm |
| LV ESD | cm | DT | ms | TAPSE | cm |
| IVS | cm | E/A | | Desni preddvor | |
| INF LAT | cm | e' sept | cm/s | RAA | cm ² |
| RWT | | e' lat | cm/s | RAVI | ml/m ² |
| LVMI | g/m ² | E/e' povpr | | Tlak v pljučnem obtoku | |
| LV EDV | ml | LAP normalen / zvišan / nedoločen | | TR V max | m/s |
| LV EDVI | ml/m ² | Levi preddvor | | sPAP | mmHg |
| LV ESV | ml | LA premer (PLAX) | cm | Vena cava | |
| LV SV 2D | ml | LAVI | ml/m ² | VClе | cm |
| LV EF 2D | % | Aorta | | CVP | mmHg |
| LVOT premer | cm | Ao bulbus | cm | Aortna zaklopka | |
| LVOT VTI | cm | Ao asc | cm | AV V max | m/s |
| LV SV dopler | ml | | | | |
| LV SVI dopler | ml/m ² | | | | |
| LV s' | cm/s | | | | |

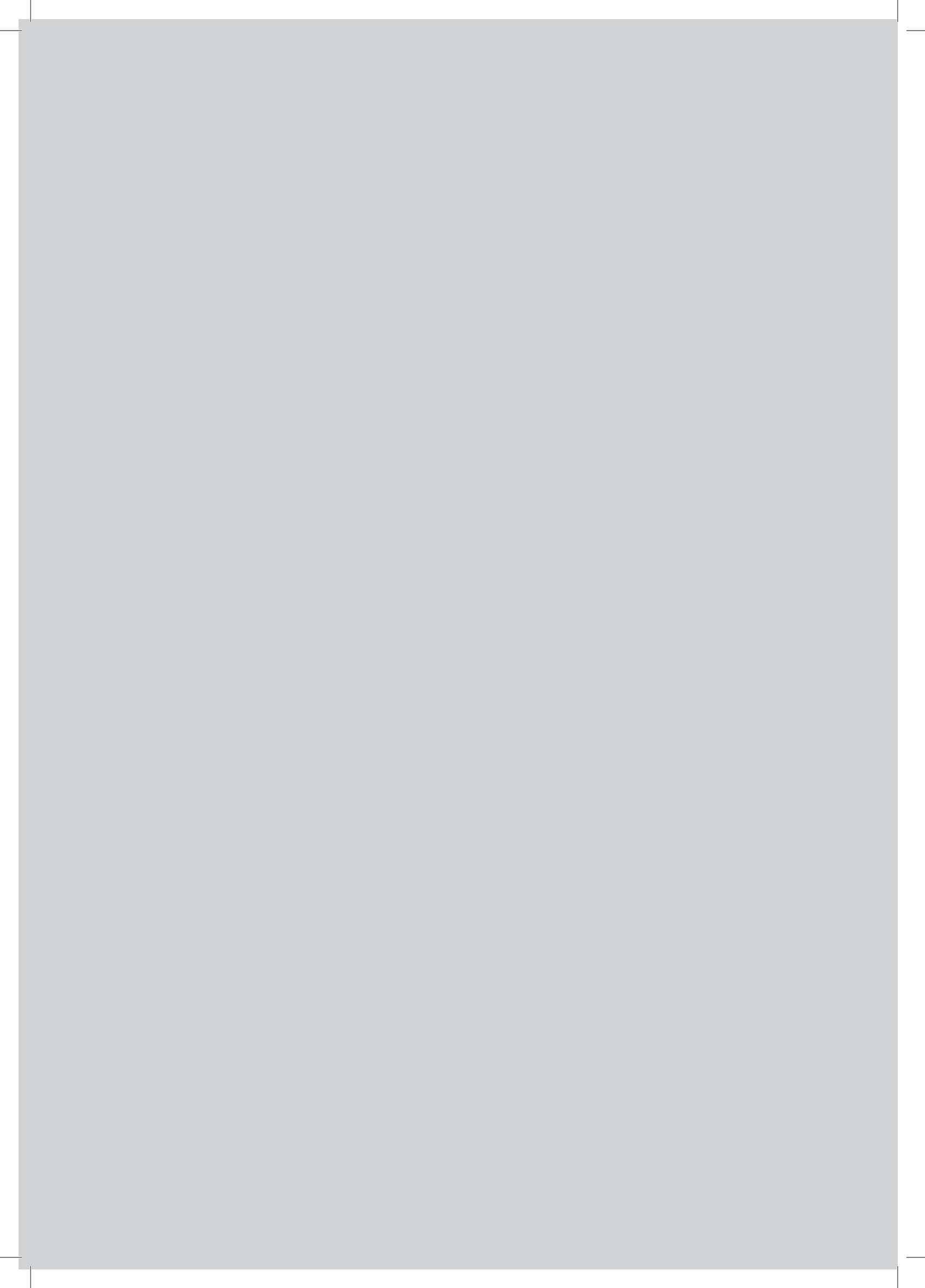
OPIS

Levi prekat je normalno velik, stene niso zadebeljene. Iztisni delež je normalen, segmentnih motenj krčenja ni. Utripni volumen je normalen. Diastolična funkcija je normalna. Levi preddvor je normalno velik. Desni prekat je normalno velik, se normalno krči in ima normalen polnilni tlak. Desni preddvor je normalno velik. Zaklopke so morfološko in funkcionalno normalne. Tlak v pljučnem obtoku je normalen. Aorta je v preglednem poteku normalno široka. Perikardnega izliva ni.

MNENJE

Normalen ehokardiografski izvid.

PRIPRAVIL: dr.med. AVTORIZIRAL: dr.med.



PRIPOROČENA LITERATURA

SRČNE VOTLINE

- Lang RM, Badano LP, Mor-Avi V, Afilalo J, Armstrong A, Ernande L, et al. Recommendations for Cardiac Chamber Quantification by Echocardiography in Adults: An Update from the American Society of Echocardiography and the European Association of Cardiovascular Imaging. *J Am Soc Echocardiogr* 2015; 28: 1-39.
- Lang RM, Badano LP, Tsang W, Adams DH, Agricola E, Buck T, et al. EAE/ASE recommendations for image acquisition and display using three-dimensional echocardiography. *Eur Heart J Cardiovasc Imaging* 2012; 13: 1-46.
- Rumberger JA, Ryan T, Verani MS. Standardized myocardial segmentation and nomenclature for tomographic imaging of the heart. A statement for healthcare professionals from the Cardiac Imaging Committee of the Council on Clinical Cardiology of the American Heart Association. *Circulation* 2002; 105: 539-42.
- Voigt JU, Pedrizzetti G, Lysyansky P, Marwick TH, Houle H, Baumann R, et al. Definitions for a common standard for 2D speckle tracking echocardiography: consensus document of the EACVI/ASE/Industry Task Force to standardize deformation imaging. *Eur Heart J Cardiovasc Imaging* 2015; 16: 1-11.
- Gorcsan J, Abraham T, Agler DA, Bax JJ, Derumeaux G, Grimm RA, et al. Echocardiography for Cardiac Resynchronization Therapy: Recommendations for Performance and Reporting. *J Am Soc Echocardiogr* 2008; 21: 191-213.
- Rudski LG¹, Lai WW, Afilalo J, Hua L, Handschumacher MD, Chandrasekaran K, et al. Guidelines for the echocardiographic assessment of the right heart in adults: a report from the American Society of Echocardiography endorsed by the European Association of Echocardiography, a registered branch of the European Society of Cardiology, and the Canadian Society of Echocardiography. *J Am Soc Echocardiogr* 2010; 23: 685-713.
- Nagueh SF, Smiseth OA, Appleton CP, Byrd BF 3rd, Dokainish H, Edvardsen T, et al. Recommendations for the Evaluation of Left Ventricular Diastolic Function by Echocardiography: An Update from the American Society of Echocardiography and the European Association of Cardiovascular Imaging. *Eur Heart J Cardiovasc Imaging* 2016; 17: 1321-60.
- Marwick TH, Gillebert TC, Aurigemma G, Chirinos J, Derumeaux G, Galderisi M, et al. Recommendations on the use of echocardiography in adult hypertension: A report from the European Association of Cardiovascular Imaging (EACVI) and the American Society of Echocardiography (ASE). *Eur Heart J Cardiovasc Imaging* 2015; 16: 577-605.
- Plana JC, Galderisi M, Barac A, Ewer MS, Ky B, Scherrer-Crosbie M, et al. Expert consensus for multimodality imaging evaluation of adult patients during and after cancer therapy: A report from the American Society of Echocardiography and the European Association of Cardiovascular Imaging. *Eur Heart J Cardiovasc Imaging* 2014; 15: 1063-93.

AORTA

- Evangelista A, Flachskampf FA, Erbel R, Antonini-Canterin F, Vlachopoulos C, Rocchi G, et al. Echocardiography in aortic diseases: EAE recommendations for clinical practice. *Eur Heart J Cardiovasc Imaging* 2010; 11: 645-58.
- Roman MJ, Devereux RB, Kramer-Fox R, O'Loghlin J. Two-dimensional echocardiographic aortic root dimensions in normal children and adults. *Am J Cardiol* 1989; 64: 507-12.
- Saura D, Dulgheru R, Caballero L, Bernard A, Kou S, Gonjilashvili N, et al. Two-dimensional transthoracic echocardiographic normal reference ranges for proximal aorta dimensions: results from the EACVI NORRE study. *Eur Heart J Cardiovasc Imaging* 2017; 18: 167-79.
- Lang RM, Badano LP, Mor-Avi V, Afilalo J, Armstrong A, Ernande L, et al. Recommendations for Cardiac Chamber Quantification by Echocardiography in Adults: An Update from the American Society of Echocardiography and the European Association of Cardiovascular Imaging. *J Am Soc Echocardiogr* 2015; 28: 1-39.

ZAKLOPKA

- Baumgartner H, Falk V, Bax JJ, De Bonis M, Hamm C, Holm PJ, et al. 2017 ESC/EACTS Guidelines for the management of valvular heart disease. *Eur Heart J* 2017; 33: 2739–86.
- Baumgartner H, Hung J, Bermejo J, Chambers JB, Edvardsen T, Goldstein S, et al. Recommendations on the echocardiographic assessment of aortic valve stenosis: A focused update from the European Association of Cardiovascular Imaging and the American Society of Echocardiography. *Eur Heart J Cardiovasc Imaging* 2017; 18: 254–275.
- Baumgartner H, Hung J, Bermejo J, Chambers JB, Evangelista A, Griffin BP, et al. Echocardiographic assessment of valve stenosis: EAE/ASE recommendations for clinical practice. *European Journal of Echocardiography* 2009; 10: 1–25.
- Lancellotti P, Tribouilloy C, Hagendorff A, Popescu BA, Edvardsen T, Pierard LA, et al. Recommendations for the echocardiographic assessment of native valvular regurgitation: an executive summary from the European Association of Cardiovascular Imaging. *Eur Heart J Cardiovasc Imaging* 2013; 14: 611–44.
- Lancellotti P, Tribouilloy C, Hagendorff A, Moura L, Popescu BA, Agricola E, et al. European Association of Echocardiography recommendations for the assessment of valvular regurgitation. Part 1: aortic and pulmonary regurgitation (native valve disease). *Eur J Echocardiogr* 2010; 11: 223–44.
- Lancellotti P, Moura L, Pierard LA, Agricola E, Popescu BA, Tribouilloy C, et al. European Association of Echocardiography recommendations for the assessment of valvular regurgitation. Part 2: mitral and tricuspid regurgitation (native valve disease). *Eur J Echocardiogr* 2010; 11: 307–32.
- Vahanian A, Alfieri O, Andreotti F, Antunes MJ, Barón-Esquivias G, Baumgartner H, et al. Guidelines on the management of valvular heart disease (version 2012). *Eur Heart J* 2012; 33: 2451–96.
- Unger P, Rosenhek R, Dedobbeleer C, Berrebi A, Lancellotti P. Management of multiple valve disease. *Heart* 2011; 97: 272–7.
- Clavel M-A, Magne J, Pibarot P. Low-gradient aortic stenosis. *Eur Heart J* 2016; 37: 2645–57.
- Winter MP, Zbiral M, Kietabl A, Sulzgruber P, Kastner J, Rosenhek R, et al. Normal values for Doppler echocardiographic assessment of prosthetic valve function after transcatheter aortic valve replacement: a systematic review and meta-analysis. *Eur Heart J Cardiovasc Imaging* 2017. doi: 10.1093/ehjci/jex212
- Boekstegers P, Hausleiter J, Baldus S, et al. Percutaneous interventional mitral regurgitation treatment using the Mitra-Clip system. *Clin Res Cardiol* 2014; 103: 85–96.
- Hahn RT. Transcathether Valve Replacement and Valve Repair: Review of Procedures and Intraprocedural Echocardiographic Imaging. *Circ Res* 2016; 119:341–356.

UMETNE ZAKLOPKA

- Zoghbi WA, Chambers JB, Dumesnil JG, Foster E, Gottdiener JS, Grayburn PA, et al. Recommendations for Evaluation of Prosthetic Valves With Echocardiography and Doppler Ultrasound. *J Am Soc Echocardiography* 2009; 22: 975–1014.
- Pibarot P, Dumesnil JG. Doppler echocardiographic evaluation of prosthetic valve function. *Heart* 2012; 98: 69–78.
- Lancellotti P, Pibarot P, Chambers J, Edvardsen T, Delgado V, Dulgheru R, et al. Recommendations for the imaging assessment of prosthetic heart valves: a report from the European Association of Cardiovascular Imaging endorsed by the Chinese Society of Echocardiography, the Inter-American Society of Echocardiography and the Brazilian Department of Cardiovascular Imaging. *Eur Heart J Cardiovasc Imaging* 2017. doi: 10.1093/ehjci/jew025.

PERIKARD

Klein LA, Abbara S, Agler DA, Appleton CP, Asher CR, Hoit B, et al. American society of echocardiography Recommendations for multimodality Cardiovascular imaging of patients with pericardial disease. *J Am Soc Echocardiogr* 2013; 26: 965–1012.

Hancock EW. Differential diagnosis of restrictive cardiomyopathy and constrictive pericarditis. *Heart* 2001; 86: 343–9.

Adler Y, Charron P, Imazio M, Badano L, Baron-Esquivias G, Bogaert J, et al. 2015 ESC Guidelines for the diagnosis and management of pericardial diseases. *Eur Heart J* 2015; 36: 2921–64.

HEMODINAMIKA

Rudski LG, Lai WW, Afilalo J, Hua L, Handschumacher MD, Chandrasekaran K, et al. Guidelines for the Echocardiographic Assessment of the Right Heart in Adults: A Report from the American Society of Echocardiography. *J Am Soc Echocardiogr* 2010; 23: 685–713.

Nagueh SF, Middleton KJ, Kopelen HA, Zoghbi WA, Quinones MA. Doppler Tissue Imaging: A Noninvasive Technique for Evaluation of Left Ventricular Relaxation and Estimation of Filling Pressures. *J Am Coll Cardiol* 1997; 30: 1527–33.

Nagueh SF, Smiseth OA, Appleton CP, Byrd BF 3rd, Dokainish H, Edvardsen T, et al. Recommendations for the Evaluation of Left Ventricular Diastolic Function by Echocardiography: An Update from the American Society of Echocardiography and the European Association of Cardiovascular Imaging. *Eur Heart J Cardiovasc Imaging* 2016; 17: 1321–60.

Galie N, Humbert M, Vachiery JL, Gibbs S, Lang I, Torbicki A, et al. 2015 ESC/ERS Guidelines for the diagnosis and treatment of pulmonary hypertension. *Eur Heart J* 2015; 37: 67–119.

CELOSTNA EHOKARDIOGRAFSKA PREISKAVA

Wharton G, Steeds R, Allen J, Phillips H, Jones R, Kanagala P, et al. A minimum dataset for a standard adult transthoracic echocardiogram: a guideline protocol from the British Society of Echocardiography. *Echo Res Pract* 2015; 2: G9–G24.

Galderisi M, Cosyns B, Edvardsen T, Cardim N, Delgado V, Di Salvo G, et al. Standardization of adult transthoracic echocardiography reporting in agreement with recent chamber quantification, diastolic function, and heart valve disease recommendations: an expert consensus document of the European Association of Cardiovascular Imaging. *Eur Heart J Cardiovasc Imaging* 2017; 18: 1301–10.

UČBENIKI

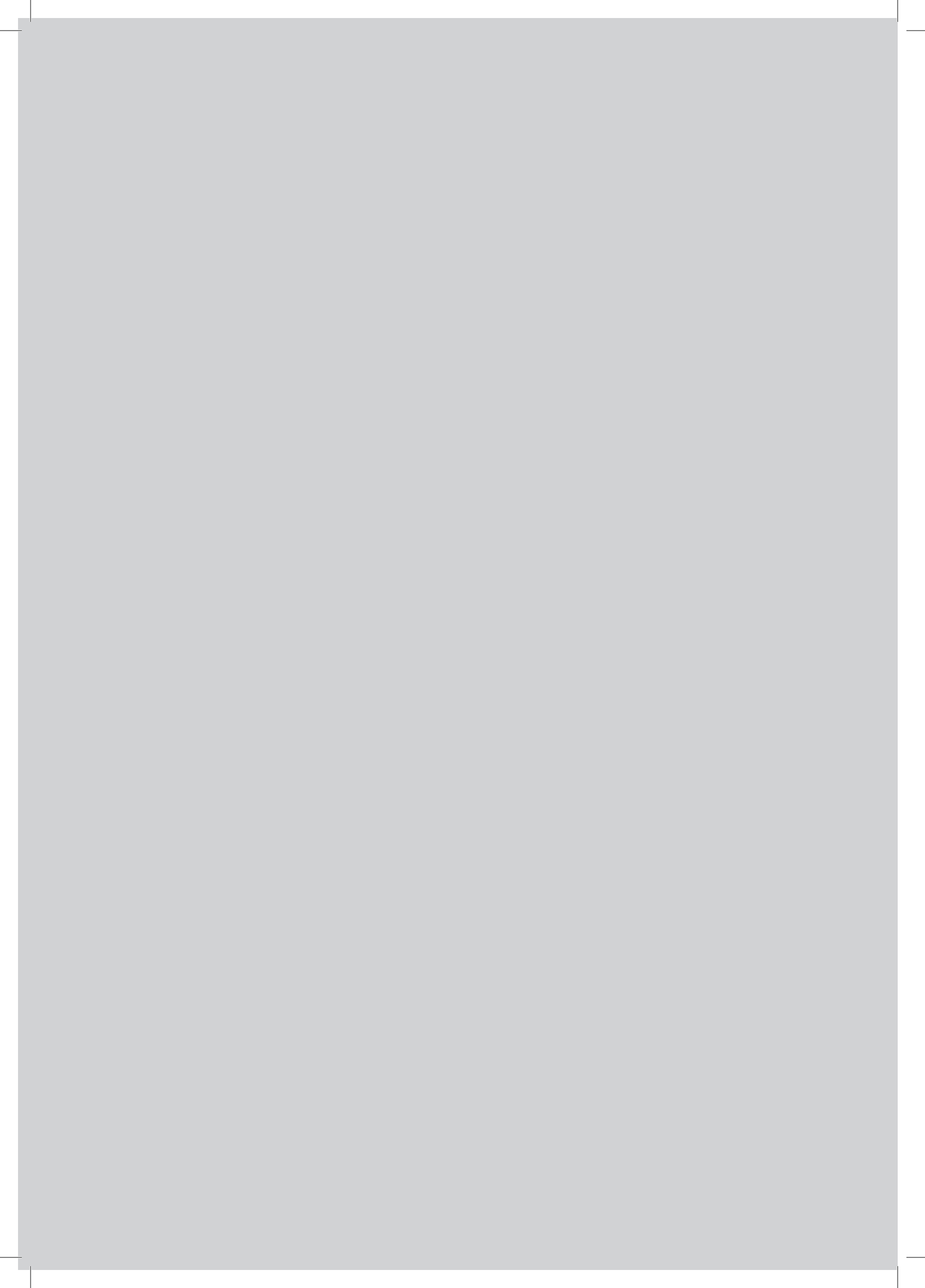
Lancellotti, P., Zamorano, J., Habib, G., & Badano, L. P. The EACVI textbook of echocardiography (2 ed.). Oxford: Oxford University Press; 2017.

Armstrong WF, Ryan T, Feigenbaum H. Feigenbaum's Echocardiography, 7th ed. Philadelphia: Lippincott Williams and Wilkins; 2010.

Otto CM. Practice of Clinical Echocardiography, 4th ed. Philadelphia: Elsevier Saunders; 2012.

Otto CM. Textbook of Clinical Echocardiography, 5th ed. Philadelphia: Elsevier Saunders; 2013.

Koželj M, Štajer D. Ehokardiografija. Ljubljana: Slovensko medicinsko društvo; 2008.



GE Healthcare



Vivid™ iq The power to take you places.

GE Healthcare's new compact directly addresses your changing needs with a combination of portability and power that makes it a great companion – wherever your journey takes you.

Cath Lab ... Interventional ... ER ... Pediatrics ... Even a tented exam room in a remote locale*

Learn more at gehealthcare.com/vividiq



* The device has been verified for limited use outside of professional healthcare facilities and has not been evaluated for use during transport.
Use is restricted to environmental properties described in the user manual; please contact your GE Healthcare sales representative for detailed information.



SONAR
zastopanje, prodaja in servis
medicinske opreme, d.o.o.

www.sonar.si

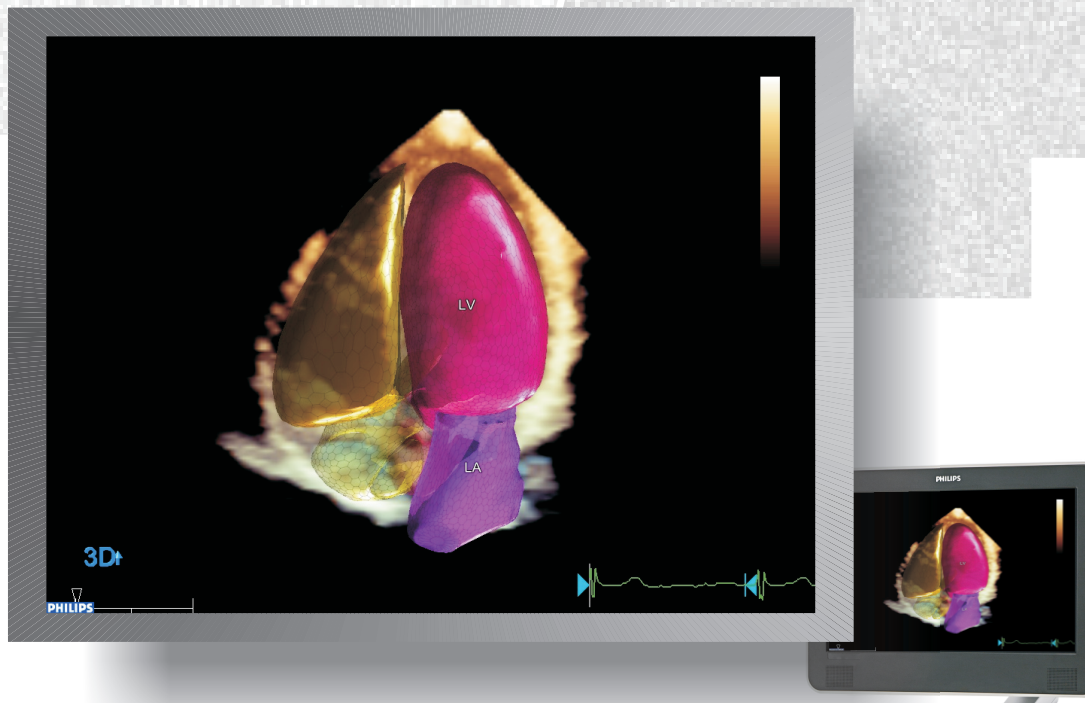

Distributor
GE Healthcare



SERVIS MEDICINSKE OPREME IN ZASTOPANJE

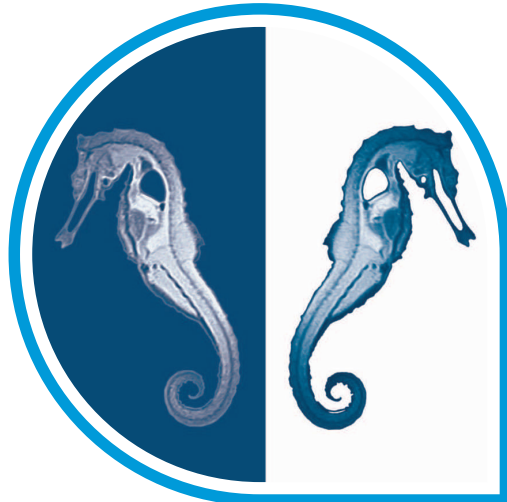
ELMED s.p.
Aleš Gospodarič
Poljska cesta 18
2241 Spodnji Duplek
tel: 02 684 07 01
fax: 02 684 07 02
e-pošta: info@elmed.org

PHILIPS
ULTRASOUND

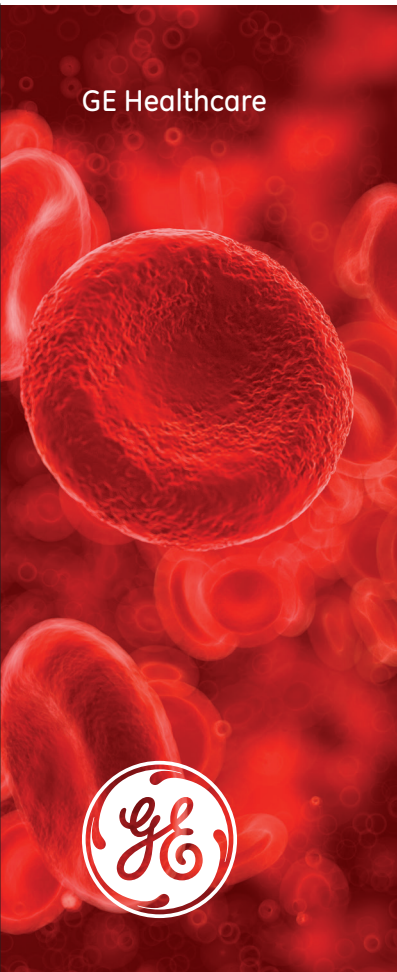


HeartModel^{A.I.}





multihance
gadobenate dimeglumine



gehealthcare.com

© 2012 General Electric Company.
GE, monogram GE and Visipaque are trademarks or registered trademarks of General Electric Company.
GE Healthcare Limited, Amersham Place, Little Chalfont, Buckinghamshire, England HP7 9NA
www.gehealthcare.com
11-2012 MB002530DS SLOVENIA

APTA MEDICA

Distribucija in marketing za Slovenijo:
Apta medica International d.o.o., Likerjarjeva ulica 6, 1000 Ljubljana
13-2012 | Samo za ustrezeni javni i privatni zdravstveni zanesljivosti
Zunanji jezik v spletni strani: www.chca.si

